

50.165



# *Magyar* **HÍRADÁSTECHNIKA**

**4**

## Felelős szerkesztő:

Balogh Pál  
VI., Eötvös u. 11/a  
Telefon: 420-536

## Szerkesztő:

Boglár Gyula  
XI., Fehérvári út 70.  
Telefon: 268-940

A Híradástechnikai  
Tudományos Egyesület  
Titkársága:

V., Szabadság tér 17.  
Telefon: 113-027

## Előfizetési ár

egész évre 30 Ft  
Egyes szám ára 5 Ft

Megjelenik kéthavonként

## TARTALOM:

<i>Frischmann Gábor</i> : Vezetékes híradástechnikai létesítmények földelési és érintésvédelmi problémák .....	121
<i>Lajkó Sándor</i> : BO-12 típusú tizenkétsatornás légvezetékes vivőáramú távbeszélő berendezés .....	128
<i>Orgovány László—Gáti Józsefné</i> : Alumínium ezüstözés és ezüstözött alumínium híradástechnikai felhasználhatósága .....	137
<i>Kemény Ádám—Saufert János</i> : Tránzisztoros feszültségstabilizátorok .....	144
<i>Csurgay Árpád</i> : Mozgó pontok jelátviteli problémájáról .....	151
Summaries in English .....	160
Zusammenfassungen in deutscher Sprache .....	160
Résumés des articles en langue française .....	B/3

## Обобщение на русском языке

*Г. Фришман*: Проблемы защиты против прикосновения и заземления оборудования проводной связи

Статья рассматривает основные проблемы заземления и защиты против прикосновения оборудования и аппаратуры проводной связи, главным образом промежуточных станций. Описывается роль заземления, допускаемые величины сопротивления распространения с точки зрения техники связи и защиты против прикосновения, дальше принципы проектирования, трактуются точки зрения соединения заземлений эксплуатации, защиты и против ударов молнии и т. д., возможности соединения кабелей к сети заземления, вопросы помех и способ применения нулевой сети. Показываются преимущества осуществления единой системы заземления и защиты против прикосновения. Описываются величины сопротивления заземления, измеренные до сих пор низкой частотой в диапазоне телефонной связи в ч. Автор наконец установит, что стандарты электротехники по заземлению и защите можно применять только после модификации и дополнения по специальным точкам зрения и требованиям в области техники связи. Поэтому такие новые стандарты для техники связи необходимы.

*Ш. Лайко*: 12-канальное высокочастотное телефонное оборудование БО-12 для воздушных линий

После осведомления основных показателей и возможностей применения нового 12-канального оборудования для воздушных линий, принадлежащего семейству многоканальных изделий завода им. Белоярских, статья описывает действие оконечных и промежуточных станций. Затрагивается более подробно регуляция пилот, снабжения несущих частот, промежуточная станция преобразования частоты и разные дополнительные оборудования. Наконец следует описание конструкции оборудования.

*Л. Орговань — Й. Гати*: Серебрение алюминия и применение серебряного алюминия в технике связи

Климатическая устойчивость серебряного алюминия и алюминиевых сплавов зависит от условий маляжного цинкования, от качества и толщины защитных слоев. Тщательным выбором техни-

ческих условий можно создать такое серебряное покрытие, которое соответствует международным требованиям с точки зрения климатической устойчивости. Алюминий, покрытый серебром, применяемый в некоторых областях техники связи и приборостроительной промышленности, имеет технические, технологические и экономические превосходства.

*Кемь А. и Сауферт Й.*: Стабилизаторы напряжения с транзисторами

В статьях, состоящих из трех частей, изложен принцип действия и точка зрения расчета последовательно регулирующих стабилизаторов с транзисторами. В первой части авторами изложены употребляемые решения действия контуров и их анализ. Целью теоретического анализа является выражение двух основных параметра одинаково важных для качества, именно выходного сопротивления и добротность регулирования. В литературе и настоящее время известен только метод выражения выходного сопротивления. Авторы успели решить проблему выражения добротности регулирования и так, разработали полноценный анализ для стабилизаторов с транзисторами.

В второй части обсуждается два регулирующих параметра, которые можно преобразовать в идеальные с помощью искусственной схемы и из анализа авторы получают формулы для расчета. Третья часть содержит критическое сравнение разных референтных источников напряжения, исследование их схем и обсуждает проблемы расчета и проектирования.

*А. Чургау*: О проблеме передачи сигналов движущихся точек

Статья испытывает вообще проблему передачи сигналов движущихся точек в рамках специальной теории относительности, без ограничения величины по относительным скоростям точек, связанных с каналами передачи сигналов. Определяются диаграммы направленности по амплитуде и частоте движущихся антенн и передаваемая информация (временная зависимость). В окончании показываются проблемы возникающие при передаче сигналов высокой скорости, на примерах в некоторых специальных случаях.

# Vezetékes híradástechnikai létesítmények földelési és érintésvédelmi problémái

FRISCHMANN GÁBOR

Magyar Posta

A cikk áttekintést ad a vezetékes híradástechnikai berendezések és létesítmények — főként az erősítő-állomások — jobb földelési és érintésvédelmi problémáiról. Ismerteti a földelések szerepét, a szélterjedési ellenállás megengedett értékeit híradástechnikai és érintésvédelmi szempontból és a méretezési elveket. Tárgyalja az üzemi, védő, villámhárító stb. földelések egyesítésének szempontjait, a kábelek földelhálózathoz való csatlakoztatásának lehetőségeit, a zavartatások kérdéseit és a nullázás alkalmazhatóságát. Rámutat az egységes földelési és érintésvédelmi rendszer kialakításának előnyeire. Ismerteti az eddig kísérlettel megállapított mért földelési ellenállások alakulását a vívőfrekvenciás tartományban. A szerző végül megállapítja, hogy az erősáramú biztonsági és földelési szabványok a híradástechnika területén csak a különleges szempontok és követelmények alapján módosítva és kiegészítve alkalmazhatók, ezért ilyen vonatkozású új híradástechnikai szabványok szükségesek.

## 1. Bevezetés

Közismert, hogy a villamos berendezéseket — az erősáramúakat éppúgy, mint a helytelenül „gyengeáramú”-nak nevezett híradástechnikaikat — az azokat használó és karbantartó személyek veszélyes érintési feszültséggel szembeni védelme és a zavartatások elkerülése érdekében földelni kell.

A földelések és az érintésvédelem tervezésére és kivitelezésére az MSZ 172 szabvány ad előírásokat. E szabvány azonban egyrészt csak általános irányelveket ad, kifejezetten csak az erősáramú berendezések számára, másrészt alkalmazása a híradástechnikai létesítményeken a különleges szempontokat figyelembe véve nagy körültekintést igényel.

A földelések helyes tervezése és kivitelezése, az áramkörök zavartatásának elkerülése, a megfelelő érintés elleni védelem biztosítása és mindezek mellett a gazdaságossági szempontok együttesen azt jelentik, hogy a földelésekkel összefüggő problémák sokkal több figyelmet érdemelnek, mint amennyit általában rájuk fordítanak.

A Magyar Posta 1956 óta behatóbban foglalkozik e kérdésekkel és egy új földelési rendszert a gyakorlatban is kipróbált.

E közlemény célja vázlatos áttekintést adni a híradástechnikai szakemberek előtt viszonylag kevésbé ismert földelési és érintésvédelmi problémákról és felhívni a figyelmet azok sokrétűségére, valamint további ezirányú vizsgálatok szükségességére és fontosságára.

Elsősorban az erősítőállomásokon alkalmazott megoldásokkal foglalkozunk, de a távbeszélő és távíró berendezések kapcsolódó problémáira is kitérünk.

## 2. Híradástechnikai berendezések üzemi földelése

A földelés egy vezetőnek a földdel való vezetői összekötését jelenti. A földelés magában foglalja a földelőt (földelő-elektrodát), amely a földhöz való áram-átmenetet közvetíti és a földelő vezetőket, amely a földelt vezetőt és a földelőt összeköti. Ha egy üzemszerűen feszültség alatt álló vezetőrendszer valamely erre alkalmas pontját összekötjük a földdel, üzemi földelésről beszélünk.

### 2.1 Erősítőállomások üzemi földelése

Erősítőállomások hangfrekvenciás és vívőáramú berendezései anódáramforrásának negatív (és a régebbi típusú egyenáramú fűtésű berendezések fűtőáramforrásának pozitív) sarkát földeljük, lényegében csak a szerelvények potenciáljának rögzítése és csatolásmentesítés céljából. Az üzemi tapasztalatok szerint az átviteltechnikai berendezések zavarfeszültsége a földelés révén jelentősen csökkenthető.

Erősítőállomások átviteltechnikai berendezéseinek üzemi földjén át egyenáram nem folyik. (Kivételt képeznek a földvisszavezetéses aszimmetrikus távtáplálású vívőáramú erősítők, de ezzel az üzemmóddal nem foglalkozunk, mert alkalmazásukra a nagyfeszültségű távvezetékek távolbhatása miatt nálunk alig kerülhet sor.)

Az üzemi földelő vezeték az akkumulátortelemek megfelelő sarkától szigetelten van tovább vezetve, végig a vasszerkezeten és leágaztatva minden keretsor, majd minden kerethely, végül berendezésegység részére. Végeredményben tehát az üzemi földelhálózat csillagrendszer szerint létesült.

### 2.2 Távbeszélő központok üzemi földelése

Közös telep rendszerű távbeszélő központok akkumulátortelepének pozitív sarkát földeljük, ami által a nagyszámú elágazó áramkör egy közös villamos potenciált kap, az áramvezetés, hibakeresés egyszerűsödik, az előfizetői áramkörök között áthallás nem lép fel a vonal-szimmetria hibája esetén sem, lehetővé válik a hívott állomás foglaltságának egyszerű módon való vizsgálata, az egy vezetékágon való jelzés-átvitel, alközponti teleptáplálás stb.

Az üzemi földön át egyes esetekben (pl. alközpontok táphidas vonalai, ikerállomások hívása, pénzbedobó készülékes állomások esetén) üzemi egyenáram folyik, amelynek nagysága pl. 3—5000 előfizetőt befogadó központban a forgalmas órában átlagban 4—8 amperra tehető. Távbeszélő központok földelt tápsínje általában a vasszerkezetre szigetelés nélkül van felszerelve.

### 2.3 Táviró berendezések üzemi földelése

Táviró berendezések áramforrásának — az üzem adottságai szerint — pozitív vagy negatív sarkát, vagy a telep középpontját földeljük, hasonló megfontolások alapján, mint a távbeszélő központoknál. Távkábelben üzemeltetett egyenáramú kábeltáviró rendszerek áramforrása földeletlen a szomszédos távbeszélő áramkörök zavartatásának elkerülése érdekében.

Egyes esetekben (pl. távolsági előfizetői csatlakozó vonalnál, egyes Morse-üzemmódoknál, előfizetői vagy kisforgalmú táviróhivatal légkivételéhez csatlakozó vonalnál, simplex üzemben) a táviróföldön át is folyik üzemi egyenáram. Értéke nagyobb táviró gócpontokban a forgalmas időszakban 0,2—0,5 A nagyságrendű.

### 3. Híradástechnikai berendezések védő(keret) földelése

Védőföldelés a feszültség alatt álló vezető környezetében levő olyan vezető földelése, amely üzemszerűen nem áll feszültség alatt és csak rendellenességek vagy hibák következtében kerülhet feszültség alá.

Az üzemszerűen ily módon a fémrész és a föld között fellépő legnagyobb feszültséget nevezzük *érintési feszültségnek*. A veszélyes érintési feszültség általában 65 V (kedvezőtlen körülmények között 42, illetve 24 V), azaz ennél nagyobb feszültségnek nem szabad tartósan fellépnie, illetve biztosítani kell, hogy a zárlatos berendezés biztosítója 5 mp (2 mp) alatt leoldjon.

Az erősítőállomások, távbeszélő és táviró központok vasszerkezetét, minden keretet és minden egységet e megfontolások alapján védő földeléssel kell ellátni.

Korábban a vasszerkezet földelésére az üzemi földtől független védőföldet alkalmaztunk és ezt a földet használtuk a különböző villámvédő biztosítók földsíneinek földelésére is.

A védőföldelés — az üzemi földeléshez hasonlóan — lényegében szintén csillagrendszer szerinti épült ki.

### 4. Erősítőállomások csillagrendszerű földelése

Az üzemi és védőföld csillagrendszer szerinti vezetése azt eredményezte, hogy a berendezés minden földelendő pontját és az állomás belső kábelezésének árnyékolását csak egyszer földeltük. E földelési rendszer eredeti célja a berendezések külső eredetű zavarófrekvenciák-

kal szembeni védelme volt azáltal, hogy a berendezésen belüli úgynevezett földhurok létrejöttét megakadályozta.

A régebbi típusú átviteltechnikai berendezések szerelvényeit részben szigetelten helyezték a szerelőlapra, hogy a két földelés egymással ne jusson kapcsolatba és a csillagrendszerű földelési elv érvényesülhessen. Idővel azonban megbizonyosodott, hogy ennek az elvnek betartása több szempontból hátrányos.

A nagyteljesítményű közép- és hosszuhullámú rádióadóállomások a közelükben elhelyezett azonos frekvenciafekvésben működő vivőáramú berendezéseket zavarhatják. A zavartatást lényegesen csökkenteni lehet az erősítőállomás belső kábelezése árnyékolásának mindkét végén való földelésével.

Mérések azt mutatták, hogy az üzemi és védőföld szétválasztott vezetése a nagyfrekvenciás zavarófeszültségek (pl. kapcsológépek zörejei) közel veszteségmentes terjedését és ezáltal a hírközlő rendszerek zavartatását lehetővé teszi. E zavarok csak úgy mérsékelhetőek, ha a berendezések közötti nagyfrekvenciás potenciálkülönbségeket az üzemi és védőföld összekötésével csökkentjük.

Méréstechnikai szempontból sem előnyös az üzemi és védőföld szétválasztott vezetése, mivel közöttük potenciálkülönbség állhat elő és aszerint, hogy a mérőberendezést az üzemi vagy védőföldelésre kötjük, eltérő eredmény adódik.

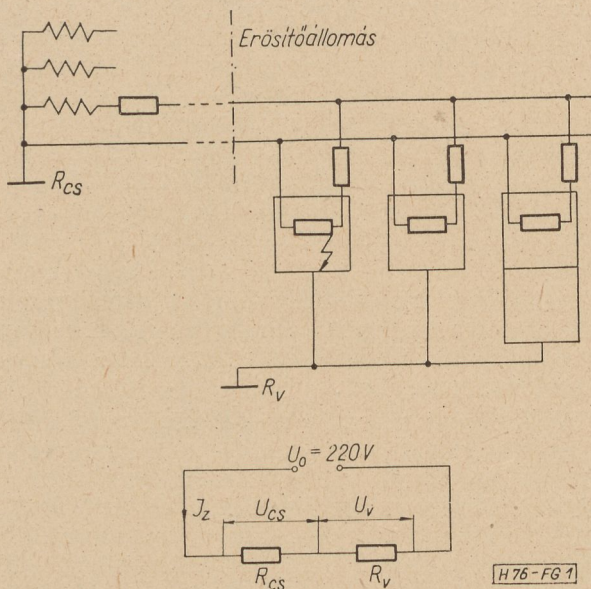
Sok szempont tehát a csillagrendszerű földelési megoldás felhagyását és éppen ellenkezőleg, minden földelő vezeték belső hurkolását indokolja. Így elérhető, hogy a berendezés egész felületére kiterjedő földelővezeték-hálózatot nyerjünk és a különböző földelési pontok között zavaró potenciálkülönbségek többé nem léphetnek fel.

Az újabb típusú berendezések megváltozott szerelési módja következtében az üzemi és védőföld magában a berendezésegységben fémek kapcsolatba jutott egymással — bár az üzemi földet a vasszerkezettől továbbra is elszigetelve vezettük és a kétféle földelést egymástól független földelővel létesítettük.

### 5. Erősítőállomás egységes földelési és érintésvédelmi rendszere

Egy híradástechnikai létesítmény tervezése és építése során nemcsak a szorosan vett távbeszélő, táviró vagy erősítő berendezések üzemi és védőföldeléséről kell gondoskodni, hanem az MSZ 172 szabvány szerint minden villamos berendezés előírt érintésvédelmét is biztosítani kell.

Érintésvédelemmel kell ellátni az összes erősáramú berendezést (egyenirányító rendszerek, villamos motorok, erősáramú kapcsolótáblák, szükségáramfejlesztők, kézi szerszámok stb.), gondoskodni kell az épület villámvédelméről, a szükségáramfejlesztő üzemanyagtarolójának és csővezetékének statikus villamosság levezetése céljából való földeléséről stb.



1. ábra. A védőföldelés elvi vázlata

A következőkben röviden áttekintjük az alkalmazható érintésvédelmi módokat és megállapítjuk a híradástechnikai és erősáramú szempontból egyaránt legkedvezőbb megoldást.

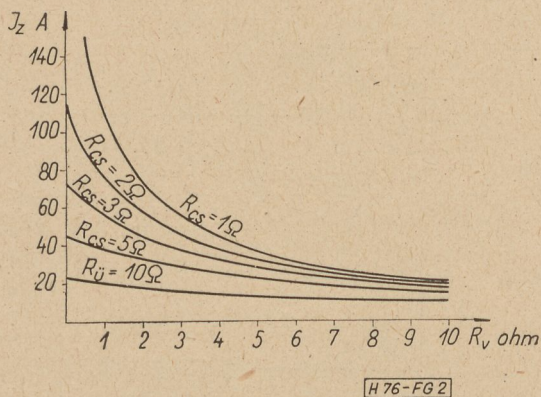
### 5.1 Védőföldelés alkalmazása

A védőföldelés alkalmazhatóságát közvetlenül földelt csillagpontú  $3 \times 380/220$  V feszültségű hálózat esetén az 1. ábra alapján (kisebb elhanyagolásokkal) vizsgáljuk meg.

Az 5 mp-en belüli leoldás érdekében az  $I_z$  zárlati áramerősségnek nagyobbak kell lennie az 5 másodperc alatti kioldást biztosító áramerősségnél ( $kI_b$ ), azaz

$$\frac{U_0}{R_{cs} + R_v} = I_z \geq kI_b$$

ahol  $I_b$  a védendő berendezés biztosítójának névleges áramerőssége,  $k$  az 5 másodperces kioldás szorzótényezője (a szokásos lomha típusú biztosítókra kb. 4).

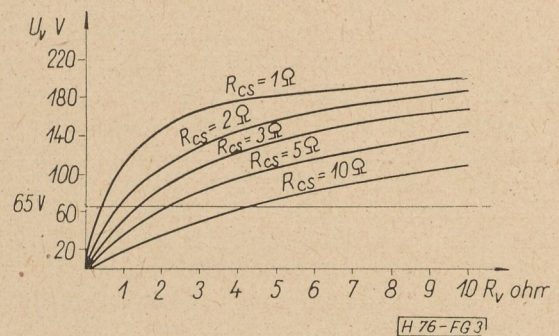


2. ábra. A zárlati áramerősség változása a csillagponti és védőföldelési ellenállás függvényében

A zárlati áram ( $I_z$ ) nagyságát  $R_{cs}$  és  $R_v$  függvényében a 2. ábra mutatja, míg a védőföldelésen fellépő érintési feszültség ( $U_v$ ) nagyságát a 3. ábráról olvashatjuk le.

A földelők szétterjedési ellenállása jó esetben 5–10 ohm és csak igen kedvező körülmények között vagy nagy beruházással lehet egyetlen földelővel 2 ohmos ellenállást elérni. A csillagponti föld ellenállásának megengedett felső határa 5 ohm.

A diagramok és a fenti képlet alapján kiadódik, hogy az egyetlen földelővel megoldott védőföldelés általános esetben kb. 5–8 A névleges biztosító áramerősségig (3 fázis esetén kb. 3–4 kW névleges teljesítményig) nyújt a szabvány előírásainak megfelelő érintésvédelmet.



3. ábra. A védőföldelésen fellépő érintési feszültség változása a csillagponti és védőföldelési ellenállás függvényében

Megjegyzés: Ha az üzemi földelés értéke nem ismeretes, a védőföldelés biztonságos méretezésére az

$$R_v = \frac{65}{kI_b}$$

képletet alkalmazzuk, amely biztosítja, hogy ha a kis zárlati áram miatt 5 másodpercen belül leoldás nem is jön létre, akkor sem lép fel 65 V-nál nagyobb érintési feszültség a védőföldelésen. E képlet alkalmazása általában az előzőekben számítottnál is kisebb földelési ellenállásértéket eredményez.

### 5.2 Védőhálózat

A híradástechnikai létesítmények erősáramú berendezéseinek jelentős része nagyobb teljesítményű, mint amilyen határig a védőföldelés hatásos. A védelem javításának — a földelési ellenállás csökkentésének — kézenfekvő módja a földelők számának növelése és azok párhuzamos kapcsolása.

Egy erősítőállomás vagy távbeszélő központ, de a kettő együtt is viszonylag kis alapterületet foglal el. Az üzemi és védőföldelések, valamint a villámvédő berendezések földelői egymástól legalább 20 m távolságban alig helyezhetők el, ezenkívül a sok fémburkolatú kábel, a víz- és gázcsővezetékek, a központi fűtőberendezés csőhálózata, a föld alatti üzemanagató csővezeték a földelők potenciáltöltéseit kisebb-nagyobb mértékben összekötik és határozatlan,

de feltétlenül meglévő kapcsolat áll elő az egymástól függetlennek létesített földelő rendszerek között.

Ezek figyelembevételével célszerűnek látszik, hogy egy állomás összes fémrészeinek (beleértve a teljes létraszerkezetet is), a cső-és kábelhálózatnak stb. összekötésével védőhálózatot alakítsunk ki, mert ezáltal igen kis (0,5 ohmnál is kisebb) eredő szétterjedési ellenállást biztosíthatunk.

A védőhálózat az egész létesítmény részére egységes földpotenciált biztosít. (Az erősáramú transzformátor csillagponti földelése azonban még továbbra is teljesen függetlenül létesül a védőhálózattól.)

Az egységes földelő hálózatba bekötött villámvédő berendezés és kábelhálózat különleges problémáival még később foglalkozunk.

Vizsgáljuk meg, hogy a kb. 0,5 ohmos szétterjedési ellenállású védőhálózat érintésvédelmi szempontból milyen védelmet biztosít.

A 2. ábra szerint  $R_v = 0,5$  ohm esetén az 5 másodperces leoldás alapulvételével ( $k = 4$ ) alkalmazható legnagyobb kioldadó biztosító 10 A, ill. 35 A névértékű, ha a csillagponti földelés értéke 5, ill. 1 ohm. A védőföldeléshez képest tehát a védőhálózat akkor jelent lényeges javulást, ha  $R_{cs}$  értéke kicsi. Pl. a 35 A-es lomha biztosítóhoz kb. 19 kW teljesítményű berendezés tartozik. Ha 5 mp-en belül nem is következik be leoldás, a 3. ábra szerint  $R_{cs} > 1$  ohm és  $R_v < 0,4$  ohm esetén a védőhálózaton fellépő érintési feszültség 65 V-nál kisebb, azaz a védelem megfelelő.

A szabvány szerint azonban a csillagponti földelésen sem léphet fel tartósan 65 V-nál nagyobb feszültség, holott — az  $R_{cs}$  ellenállás nagyságától függően — a potenciálemelkedés a csillagponton 200 V-ot is elérhet, mégpedig tartósan. Ezért a földelések méretezésekor erre is figyelemmel kell lenni és legalább a csillagponti tartós potenciálemelkedésének akusztikus és vizuális jelzéséről kell gondoskodni.

### 5.3 Nullázás. Nullázott védőhálózat

A védelem hatásosságát jelentősen fokozhatjuk azáltal, ha a zárlati áramkört a földelések

helyett végig fémes úton zárjuk, azaz ha a védendő berendezés testét és a tápláló transzformátor csillagpontját vezetőileg összekötjük (4a ábra). A nullázás tehát testzárlat esetén rövidzárt hoz létre, a zárlati kör impedanciája tized ohm körüli értékű, míg a zárlati áram 1000 A nagyságrendűre nőhet, vagyis megfelelő méretezéssel még 150 kW teljesítményű gépegység 5 másodpercen belüli lekapcsolása is biztosítható nullázással.

A nullázás híradástechnikai létesítményeinkben ezideig nem került alkalmazásra, főképpen az erősáramú hálózatból származó zavarhatások elkerülése érdekében.

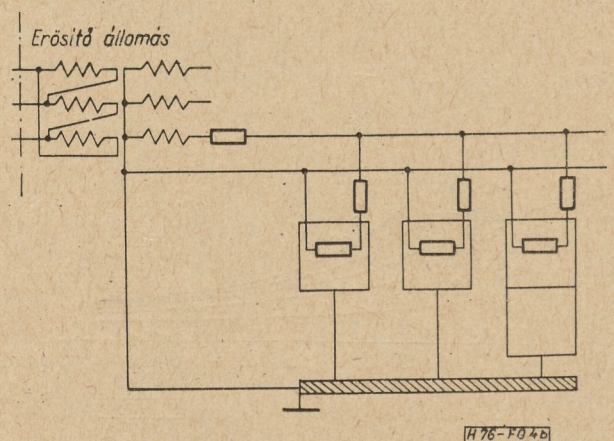
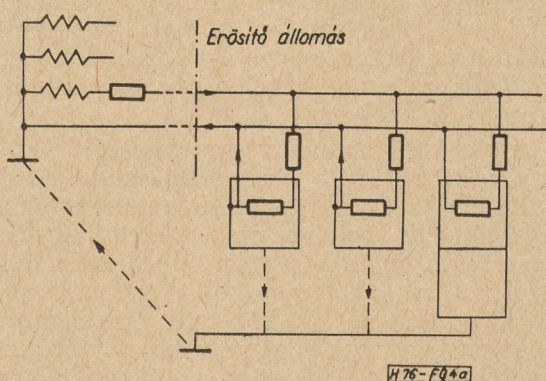
Nullázásnál ugyanis a földelt berendezések fémrészei kapcsolatban vannak a nullavezetővel és így az üzemi váltakozóáram egy része a testen, a berendezés földelésén és az állomás földelőrendszerén át záródhat a transzformátor csillagpontja felé. A földelési rendszerbe bejutó zavaró áramok főként a nagyfokú áthallásmentesség miatt két végén földelt aszimmetrikus koaxiális vezetőkben, de kisebb mértékben a nem tökéletesen szimmetrikus egyéb összeköttetésekben is számottevő zavarokat okozhatnak.

A nullázás okozta zavarhatások elkerülésére két lehetőség kínálkozik:

a) a védőhálózatot egy nullázó jelfogóval csak a tartósan 65 V-nál nagyobb érintési feszültséget okozó zárlat esetén nullázzuk.

Ez a megoldás előnyösen alkalmazható akkor is, ha egy kivitelezett védőhálózat a mérések szerint az előírtnál nagyobb szétterjedési ellenállású lett, de költségmegtakarítás céljából további földelők létesítését el akarjuk kerülni.

b) Ha az állomást saját erősáramú transzformátor táplálja, ún. árammentes nullázás alkalmazható. A megoldás lényege az, hogy a nullázáshoz külön áramot üzemszerűen nem vezető nullázóvezetőket építünk ki a transzformátor csillagpontjától a fogyasztókig és a berendezések fémrészeit ehhez kötjük, míg a transzformátor csillagpontját az állomás védőhálózatához csatlakoztatjuk. Még egyszerűbbé válik a megoldás és a külön nullázó vezeték sem szükséges, ha



4. ábra. A nullázás és árammentes nullázás elvi vázlata

az érintésvédelemmel ellátandó összes berendezést a védőhálózathoz csatlakoztatjuk és a földgyűjtő sínrendszert egyszerűen összekötjük a transzformátor csillagpontjával (4b ábra).

Az árammentes nullázás (esetleg a nullázó jelfogó) alkalmazásával az állomás erősáramú hálózatából származó zavartatás elkerülhető. Sok esetben azonban a nullázott erősáramú városi hálózatból származó, vagy szomszédos villamos vasútvonal által indukált technikai váltakozó áramok a távbeszélőkábeleken, vagy az állomásra bevezetett csővezetéken át az erősítőállomás földelő rendszerébe jutva okozhatnak zavartatást. Ezeknek az áramoknak erőssége sok esetben a 0,1–5 A-t is eléri.

A kábelköpenyeken folyó zavaró áramokat lényegesen lehet csökkenteni azért, ha a kábeleket, víz- gázcsöveket, az épületszerkezet vashuzalait és a központifűtési rendszert nem közvetlenül az erősítőberendezések üzemi földjéhez, hanem az épület pincéjében egy körvezetékhez csatlakoztatjuk, amint ezt az 5. ábra mutatja. A kábelköpenyen és csővezetéseken bejövő zavaró áramok így már az állomás pincéjében más kábelre átléphetnek, a zavaró potenciálkülönbségek kiegyenlítődhetnek úgy, hogy a berendezések földvezetékére zavaró áram már alig jut.

Ez a földelő körvezeték képezi az állomás nulla potenciálját mind híradástechnikai, mind az erősáramú berendezések számára és az így kialakított — állandóan vagy időszakosan — nullázott védőhálózat tekinthető a legmegfelelőbb földelési és érintésvédelmi megoldásnak.

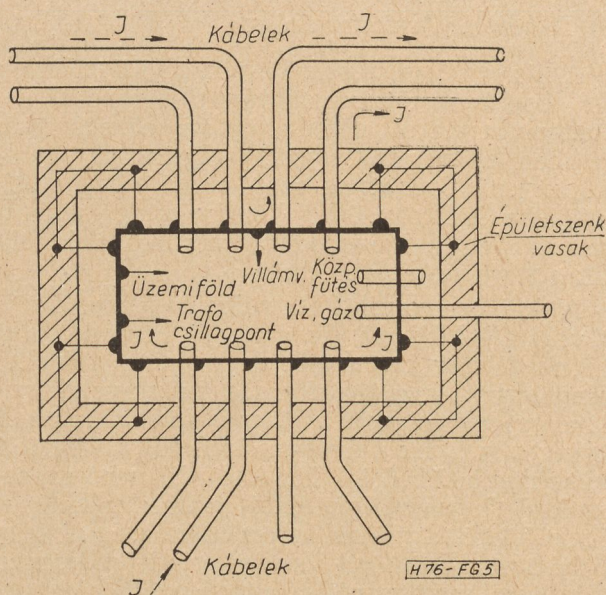
Ha a védőhálózat nullázása valamely ok miatt nem lehetséges (pl. meglévő létesítményen nincs saját transzformátor, vagy az áramszolgáltató a nullázáshoz nem járul hozzá), a nagyobb teljesítményű fogyasztók védelmére a feszültségvédő-, még inkább az áramvédőkapcsoló használata lép előtérbe.

#### 5.4 A villámvédelemmel kapcsolatos kérdések

A híradástechnikai létesítményeket az MSZ 247 szabvány szerinti villámvédelemmel látjuk el. A szabvány szerint a villámvédő rendszert a híradástechnikai, valamint a védőföldeléssel összekötni nem szabad. Ennek ellenére azonban az alábbi megfontolások és a külföldi tapasztalatok alapján is célszerű a két rendszert egyeíteni.

Villámcsapáskor 10 kA nagyságrendű áramerősséggel kell számolni, így pl. a 15 ohmos villámvédő földelőn 150 kV feszültségesés lép fel és az állomás földelő rendszere valamint a villámvédő földelő rendszer közötti nagy potenciálkülönbségek a berendezéseket átütéssel veszélyeztetik.

Az állomás szerteágazó földelő hálózatát figyelembe véve, a kétféle földelő rendszer következetes, átütésbiztos szétválasztása gyakorlatilag alig keresztülvihető, a kétféle földelő rendszerhez tartozó fémrészek egyidejű érintése is jelentős veszéllyel jár, ezért inkább a két



5. Földelő körvezetékrendszer elvi vázlata

rendszer egyesítése kívánatos. A védőhálózattól függetlenül azonban a villámvédő berendezés részére minden levezető alatt külön földelőt is kell készíteni és ezeket a védőhálózattal össze kell kötni.

A villámáramok legnagyobb részét azon a földön át folynak le, amelynek ellenállása a legkisebb, azaz erősítőállomás és távbeszélő központ esetén az igen kis szétterjedési ellenállású kábelföldelőkön át, ami kedvezőtlen esetben a kábel átütésére vezethet.

Jó és közepes vezetőképességű talajban gyakorlatilag nincs veszélyeztetve a kábel, ha minden kötési helyen a páncélzat összes huzalát gondosan átkötjük és az ólomköpenyhez csatlakoztatjuk.

Rossz talajvezetőképesség és különlegesen veszélyeztetett épületek esetén (pl. mikrohullámú tornyokhoz csatlakozó kábelek építések) a kábel tehermentesítésére vagy külön szalagföldelőt is kell építeni (esetleg zóróvasban fektetni a kábelt), vagy különleges fegyverzetű kábelt kell alkalmazni.

Városokban a behúzókábelek veszélyeztetése kevésbé áll fenn, mert a földben elhelyezett sok cső, vezeték, kábel és villamos sínhálózat potenciálkiegyenlítődést hoz létre.

#### 5.6 A kábelek földelőként való alkalmazásának problémái

A helyi és távkábelek együttes szétterjedési ellenállása általában igen kicsi (néhány tized ohm), ezért az állomás egységes földelő hálózatába való bekapcsolásuk igen kívánatos. A kábelek földelőként való alkalmazásakor azonban néhány szempontot figyelembe kell venni.

## a) A kábelek korrózióveszélye

A közös teleprendszerű távbeszélő központok (és kisebb mértékben a távíró berendezések) földön keresztül záródó üzemi egyenáramai részben a kis szétterjedési ellenállású ólomköpenyen haladhatnak, majd onnan kiléphetnek a földbe és kedvezőtlen körülmények esetén a kilépés helyén idővel káros mértékű elektrolitikus korrózió keletkezhet.

A korrózióveszély elkerülhető lenne, ha a távbeszélő központ (és a távíró berendezések) üzemi földjét kivonnánk az egységes földelési rendszerből és a földelőhálózattól távol készítenénk egy független üzemi földet szigetelt bevezetéssel. Ezenkívül az épületbe bevezetett kábeleket a kábelistolyban a továbbmenő szakaszoktól és vasszerkezetektől szigetelni kellene. E megoldás tényleges keresztülvitele igen nagy nehézségekbe ütközik és gyakorlati értéke igen vitatható, mert magának a távbeszélő központnak a berendezéseit és a vasszerkezetet tartósan aligha lehet teljesen szétválasztani a vele kapcsolatban álló erősítőberendezésektől, erősáramú rendszerektől és vezetésektől, védőcsövezéstől, azaz a védőhálózattól. Az erősítőberendezésekkel együtt felszerelt távíróberendezések elkülönítése egyáltalában nem is lenne elvégezhető.

Ehelyett inkább a kábelek eddigi határozatlan kapcsolatát célszerű megjavítani, minden kábelköpenyt fémesen egymáshoz és a földelő rendszerhez kötni, mert így a kábeleken átfolyó egyenáram egyenletes eloszlása jobban biztosítható és a korrózióveszély csökkenthető.

Még kedvezőbb lenne a helyzet, ha a jelenleg földvisszavezetéses üzemműködő távbeszélő szerelvények (alközpontok, ikerállomások stb.) áramait a föld helyett magán a kábelköpenyen át vezetnénk vissza és így a földelőn át záródó áramerősséget lényegesen lecsökkentenénk.

Ugyancsak a kábelek védelme érdekében a réz földelők helyett — a réz—ólom közötti elektrolitikus korrózió elkerülése céljából — ólom vagy (ólmozott) vas földelő alkalmazása előnyös.

## b) A kábelköpeny és az érpárok közti csatolás okozta zavarítás

A kábelköpeny impedanciája az 1000 Hz-nél nagyobb frekvenciájú áramokra általában nem nagy, ezért az állomás földelésén megjelenő zavaró áramok legnagyobb része a kábel útján a föld felé kiterjed. Mivel a kábelköpeny és az érpárok között komplex csatolások állnak fenn (kapacitív és valós ellenállás), eme ellenállásnak megfelelő zavaróáram a kábel érpárjain is megjelenik. A gyártással együttjáró kapacitás-

egyenlőtlenségnek ( $\Delta C$ ) megfelelő  $\frac{1}{\omega \Delta C}$  látszó-

lagos ellenállás növekvő frekvenciákkal csökken,

ami a zavar növekedését eredményezi. Nagyobb távbeszélő központok által okozott zavarítás egy vivőáramú távkábelben a 100 kHz körüli frekvenciatartományban mérve a forgalmas órában 10—20 mV-ot is, az éjszakai órákban mV nagyságrendű értéket érhet el.

Ilyen zavarítás általában akkor lép fel, ha magának a földelőnek szétterjedési ellenállása lényegesen nagyobb, mint a távkábelé. (Pl. a fent megadott zavaróértékek esetében 19 ohm a 0,7 ohmmal szemben.)

A zavarítások elkerülése érdekében tehát az állomáskábelek nélküli eredő földelési ellenállásának kb. azonos értékűnek kell lennie, mint a kábelek szétterjedési ellenállása. Új kábelépítésnél célszerű az állomásra bevezető kábelszakaszok kapacitás-egyenlőtlenségeit nagymértékben kiegyenlíteni és a kábelt nagy induktivitású vezeték útján csatlakoztatni a földelő rendszerhez.

## 6. Földelések tervezésének egyes kérdései

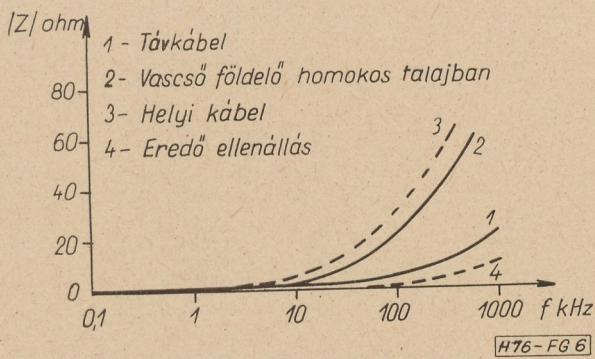
## 6.1. Megkívánt földelési ellenállások

A vezetékes híradástechnikai berendezések megkívánt üzemi és védőföld ellenállásait általában az alábbi 1. táblázatban foglaljuk össze. A létesítmény erősáramú berendezései részére érintésvédelmi szempontból természetesen gyakran ennél kisebb védőföld ellenállást kell biztosítani, ezért egy létesítmény földelő rendszerének megkívánt eredő földelési ellenállását a tervezés alkalmával esetenként kell megállapítani.

1. táblázat

Vezetékes híradástechnikai berendezések legnagyobb üzemi- és védőföld értékei

Berendezés	Legnagyobb földelési ellenállás, ohm
<b>Erősítőállomás</b>	
Hangfrekvenciás vagy vivőáramú erősítő-állomás .....	1
<b>Távbeszélőközpont</b>	
LB központ .....	10
CB manuális vagy gépkapcsolású fő vagy alközpont:	
500 állomásig .....	7
2000 állomásig .....	2
2000 állomás felett .....	1
Helyközi távbeszélő központok .....	1
<b>Távíró berendezések</b>	
Távíró berendezés (egyedülálló) .....	15
Távíró üzem 10 egyidejűleg működő vonalig	8
Távíró üzem 40 egyidejűleg működő vonalig	2
Távíró üzem 40 vonal felett .....	1
Villámvédő berendezés (általában) .....	15 ohm
(Igen kedvezőtlen talajviszonyoknál) .....	30 — 50 ohm



6. Földelő berendezés látszólagos ellenállásának változása a frekvencia függvényében (6)

### 6.2. Földelők ellenállása a vivőfrekvenciás tartományban

Az eddig megadott földelési ellenállások 50—100 Hz körüli frekvenciákkal mérve értendők, de gyakorlatilag 1 kHz-ig számolhatunk azokkal.

A földelő berendezések kialakítása ezideig tisztán az egyenáramú (ipari frekvenciás) terjedési viszonyok figyelembevételével történt, ami kifejezésre jut a jelenleg alkalmazott mérési eljárásokban is.

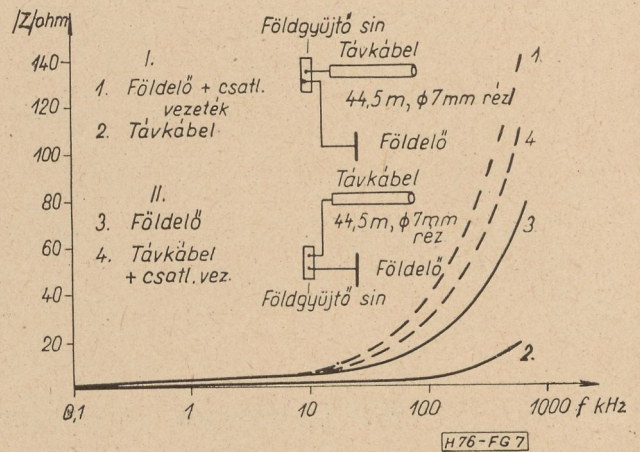
A vivőáramú berendezések azonban több száz kHz-ig terjedő frekvenciatartományban működnek, ezért a zavartalan üzem érdekében a földelőnek a legnagyobb hasznos frekvenciáig is kis látszólagos ellenállásúnak kell lennie.

Néhány ezzel kapcsolatos adatot tüntetnek fel a következő ábrák.

A 6. ábra egy nagyobb állomás földelőjének, valamint helyi és távkábeleinek látszólagos ellenállását mutatja a frekvencia függvényében. A helyi kábelek impedanciája a legnagyobb, a homokos talajban elhelyezett vascső földelőé ennél kisebb, míg a távkábelnek van a legkisebb impedanciája. Az állomás eredő földelési ellenállása — elsősorban a távkábel kedvező hatása folytán — még 100 kHz-nél is igen kicsi marad.

A távkábel, a földelő és a földgyűjtősin viszonylagos elhelyezése és az alkalmazott kapcsolatot jelentősen befolyásolják a földelés látszólagos ellenállásának alakulását, amint ezt a 7. ábra mutatja.

Ha csak egyenáramú szempontokat veszünk figyelembe, az I. elrendezés a legkedvezőbb, mert a távkábel nagy frekvenciákon is igen kis szétterjedési ellenállást biztosít, ha azonban a gyakran jelenlevő zavaró váltakozó áramok terjedésére is tekintettel akarunk lenni, akkor a II. elrendezést célszerű választanunk, amelynél a távkábel kis látszólagos ellenállását a bekötő vezetékkel megnöveljük, hogy a földelőnél nagyobb legyen. E megoldás egyenáramra változást nem jelent, viszont a zavaró váltakozó áramok kiterjedését megakadályozza.



7. Földelők bekötési módjának befolyása a látszólagos ellenállásra (6)

### 7. Összefoglalás

A vezetékes híradástechnikai létesítményeken részben a berendezés konstrukciója és a szerelési megoldások változása, részben az érintésvédelmi, de jelentős mértékben műszaki és gazdaságossági szempontok előtérbe jutása következtében a korábban alkalmazott földelési rendszerek korszerűsítésére, védőhálózat, vagy nullázott védőhálózat, esetleg más érintésvédelmi megoldás alkalmazására van szükség.

A korábbi gyakorlattal szemben csak egyetlen jó minőségű üzemi földelő kiépítését igénylő egységes földelési rendszer azonos potenciált, zavartalan üzemű és egyben fokozott élet- és vagyonvédelmet is biztosít, ugyanakkor azonban több szempontból ellentétben van az érvényben levő MSZ 172 földelési és érintésvédelmi szabvány előírásaival.

Az új szempontok következetes alkalmazása, valamint a tervezés, kivitelezés és üzemeltetés során követendő egységes eljárás érdekében szükséges, hogy a híradástechnikai létesítmények (beleértve a légvezetékes és kábelhálózatot, valamint a rádió és mikrohullámú üzemeket is) földelésére és érintésvédelmére új szabvány készüljön. Ennek kidolgozásával párhuzamosan még több probléma mérések és helyszíni kísérletsorozatokat útján való tisztázása is szükséges ahhoz, hogy a részletes tervezési és kivitelezési előírások létrejöhessenek.

### IRODALOM

1. Earth-Electrode Systems (P.O. Engineering Dept. Protection General S. 3901).
2. Endrényi—Dévény: Érintésvédelem (Műszaki Könyvkiadó 1956.)
3. Erdungsanlagen in der Fernmeldetechnik (Unterrichtsblätter, 1951. május).
4. Frischmann—Borsos: Távkábelerősítőállomások áramellátásának és épületeinek tervezése (Közlekedési Dokumentációs Vállalat, 1957.)
5. Greisinger, Popp, Schulz: Über die Verteilung der Blitzströme in der Erdungsanlage eines Funkturmes (ETZ-A, 1958. aug.).
6. Hackbart: Über das Verhalten von Erden bei Spannungen mit Frequenzen zwischen 0 und 600 kHz (Fernmelde Praxis 1958. 7. és 9. szám).

7. *Linde*: Erdung und Nullung bei Fernsprechnebenstellenanlagen (Fernmelde Praxis, 1956. 7. sz.).
8. *Meister*: Blitzschutz an Telephonanlagen (Technische Mitteilungen PTT 1958. január).
9. MSZ 172—50 Földelés és érintésvédelem erősáramú villamos berendezésekben.
10. Posta Kísérleti Intézet földelésekre és korrózióra vonatkozó beszámolója.
11. *Rasch*: Eine neue Methode zur Unterdrückung von niederfrequenten Störsignalen auf Fernseekabeln (NTZ 1959. aug.).
12. *Say*: Electrical Earthing and Accident Prevention (London 1954.).
13. *Schulz, Vogl*: Die Beeinflussung von Fernmeldeanlagen durch technischen Wechselstrom (ETZ-B, 1959. május).
14. *Sunde*: Earth Conduction Effects (New York 1949.).
15. *Vogl, Ziegler*: Das Nebensprechen bei geschirmten Amtsverdrahtungsleitungen (NTZ 1959. november).
16. *Warmers, Ziegler*: Die Flächenerdung in Fernmeldeanlagen (NTZ 1959. október).

## BO-12 típusú tizenkétsatornás légvezetékes vivőáramú távbeszélő berendezés

LAJKÓ SÁNDOR, BHG

*A BHG sokcsatornás gyártmánycsaládjába tartozó új 12 csatornás légvezetékes berendezés jó jellemző adatainak és alkalmazási lehetőségeinek ismertetése után a cikk tömbvázlat alapján leírja a vég- és erősítő berendezések működését. Kitér részletesebben a pilotszabályozásra, a vivőellátásra, a frekvenciaerősítő erősítő állomásra és a különféle kiegészítő berendezésekre. Végül a berendezés konstrukciójának ismertetése következik.*

### Bevezetés

Sok ország híradástechnikai hálózatának alapját még ma is a *légvezetékek* alkotják. A nemzetközi forgalomban is fontos szerepet játszanak még a híradástechnika ezen alapáramkör típusai. Természetesen a vezetékek szerkezete a korszerű igényekhez igazodva a mai napig sokat fejlődött, különösen a megfelelő keresztelési rendszerek kialakítása, valamint a berendezések és a bevezető kábelek közötti jó illesztés megvalósítása által.

A légvezetékek hangfrekvenciás (leginkább csak postaszolgálati célokra történő) kihasználása mellett 15 jó minőségű (0,3—3,4 kHz terjedelmű) beszédcsatornával terhelhetők kb. 150 kHz felső frekvencia határig. Ennél nagyobb frekvenciákon a hosszú hullámú műsorszóró rádióadók zavaró hatása nem volna elkerülhető.

A BHG *sokcsatornás átviteltechnikai gyártmánycsaládjában* (1) két berendezés-típus teszi lehetővé a 15 csatorna megvalósítását. Ezek a BTO—3/4 típusú *3-csatornás* (4 távirócsatornával kombinált) berendezés és a jelen közlemény tárgyát képező BO—12 típusú *12-csatornás* berendezés. Az első 3,18—31,11 kHz között, a második 36—143 kHz között használja ki a légvezetéken átvihető frekvenciasávot.

### Alkalmazás

A 3- és 12-csatornás légvezetékes berendezések vonalon 2-huzalos üzemmódban működnek, hangfrekvenciás csatornáik azonban szükség szerint 2- vagy 4-huzalos módon használhatók. A kétféle berendezés ugyanazon lég-

vezeték érpáron egyidejűleg üzemeltethető. A két csatornacsoport szétválasztásáról a BO-12 berendezésbe beépített *vonalváltó* gondoskodik. A fizikai beszédsáv leválasztása a BTO—3/4 berendezésen történik.

Ugyanazon oszlopsoron több légvezeték-érpár lehet kiépítve. A jó kihasználás kedvéért mindkét berendezés többféle frekvencia fekvésben üzemeltethető, amelyek fordítás és viszonylagos frekvenciasáv eltolás által biztosítják a rendszerek közötti érthető áthallás kiküszöbölését. A BTO—3/4 berendezés négyféle, a BO—12 berendezés a CCITT vonatkozó ajánlásainak megfelelő négyféle fő- és kétféle mellék- (összesen tehát hat) frekvencia fekvéssel készül. A 3-csatornás rendszert egy korábbi közleményünkben (2) már ismertettük.

Két 12-csatornás *végberendezés* által áthidalható vezetékcsakasz csillapítása 4 N az átvitt legnagyobb frekvencián mérve. Ez — a vezetéktípustól függően — 80—140 km távolságnak felel meg. Nagyobb távolság áthidalásához közbeiktatott *erősítőberendezésekre* van szükség. Ezek normális erősítése szintén 4 N a legnagyobb frekvencián (143 kHz-en). Ezenfelül elegendő tartalék erősítés áll rendelkezésre mind az erősítő-, mind a végberendezésekben az esős időjárás, valamint a zúzmaras és jégképződés által megnövekedő frekvencia függő többletcsillapítás *önműködő kiegyenlítésére*. Az elérhető maximális erősítés 143 kHz-en 8,5 N. Olyan területeken, ahol sohasem kell számolni rendkívüli időjárási viszonyokkal, ezt az erősítési tartalékot természetesen számításba lehet venni a berendezések telepítésénél az erősítő szakaszok meghosszabbítására. A legnagyobb frekvencián haladó csatornán pl. — 3 N normális vételi szintet lehet megengedni olyan helyeken, ahol egyáltalán nem fordulhat elő zúzmaraképződés a vezetékeken.

Lehetséges, hogy az erősítőállomásokon nem mindegyik légvezeték érpárban van erősítő. A csak fizikai beszédsáv és 3-csatornás frekvenciasáv átvitelével terhelt vezetékek pl. csak

minden második-harmadik állomáson kapnak erősítést. Így a 12-csatornás pontokon átfutó, nem erősített vezetékek az erősítő kimenete és bemenete között közvetített áthallást idézhetnek elő, ami az állomás begerjedését okozhatja. Ennek megakadályozására két lehetőség van: a vivőfrekvenciás sávot *elnyomó szűrők* beiktatása valamennyi nem erősített átmenő vezetékbe, vagy — ha sok ilyen átmenő vezeték van — az erősítő állomásban *frekvenciasáv cserét (frequency frogging)* hajtunk végre, ami lehetetlenné teszi az azonos frekvencián való körerősítést.

A berendezés modulációs rendszere lehetővé teszi a 60-tól 108 kHz-ig terjedő CCI-alapcsoport átkapcsolását más sokcsatornás rendszerre.

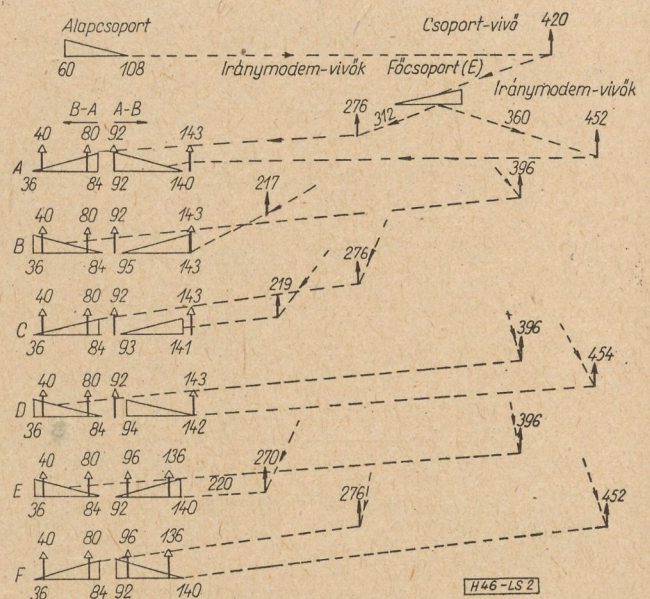
**Frekvenciaterv**

A vonalon átvitt frekvenciasávokba a 12 csatornát összesen négy modulációs lépésben tesszük át.

A CCITT-alapcsoportot (12 csatorna a 60—108 kHz frekvenciasávban, fordított fekvéssel) megvalósítása a BHG gyártmánycsalád egységes módszerével történik.

Az alapcsoport négy 3-csatornás előcsoportból áll az 1. ábrán feltüntetett modulációs terv szerint. A 0,3—3,4 kHz-es beszédcsatornák egyenként 12, 16, ill. 20 kHz csatornavivőfrekvenciákkal modulálva, majd a felső oldalsávokat felhasználva képezzük a 12—24 kHz előcsoportot. Ezután négy előcsoportot egyenként 84, 96, 108, ill. 120 kHz előcsoportvivőkkel modulálva és ismét az alsó oldalsávokat hasznosítva hozzuk létre az alapcsoportot.

A vonalon átviendő hatféle frekvenciafekvés A—B és B—A irányú egyenes vagy fordított állású átviteli sávjainak megvalósításához a 12-csatornás csoportot előbb a 312—360 kHz főcsoportba helyezük át 420 kHz csoport-vivő segítségével. Ugyanilyen modulációs rendszer nyer alkalmazást a BHG BK—60 típusú 60-csatornás berendezésében. A 420 kHz vivőfrekvencia, valamint a 312—360 kHz főcsoport megfelel a CCITT 60-csatornás rendszerre vonatkozó ajánlásának is. A felső csoportot a 2. ábrán feltüntetett módon a két átviteli



2. ábra

iránynak és különböző frekvenciafekvéseknek megfelelően *iránymodulációval* helyezük a vonalra átviendő frekvenciasávokba. A 2. ábra feltünteti a pilótfrekvenciákat is.

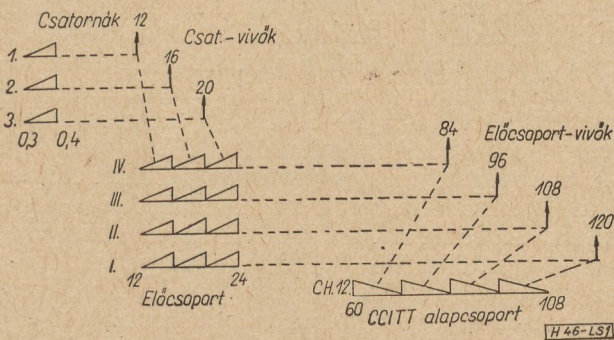
**Végberendezés**

**Beszédáramkör**

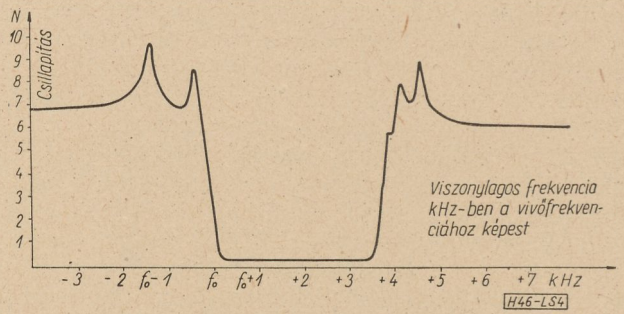
A 3. ábrán bemutatott tömbvázlat alapján követhetők adási és vételi irányban a csatornák és csatornacsoportok modulációs fokozatai és a fontosabb kiegészítő áramkörök. A rajz csak egyetlen csatorna 2/4-huzalos végződő áramkörét és csatornamodem áramkörét, valamint csak az egyik előcsoport-modem áramkört tünteti fel, de jelzi a többi hasonló áramkör párhuzamos kapcsolásának helyét és módját is.

A *végződő-egység* lehetőséget nyújt 2- vagy 4-huzalos csatorna-csatlakozásra a központ felé a megadott (vagy a csillapító tagokkal beállítható más) szint adatokkal. Mód van a beépített egyezményes művonal helyett kívülről tetszőleges művonal bekötésére is a villa-áramkör pontos kiegyenlítése végett. A kapcsolás alkalmas a 2- vagy 4-huzalos (az elsőnél 16—50 Hz váltóáramú, a másodiknál egyenáramú) jelzésátvitel tetszés szerinti csatlakoztatására is a központ felé.

Adási irányban a csatorna-modulátor bemenete előtt diódákból kiképzett és tetszés szerint (pl. VT átvitel esetén) kikapcsolható *amplitúdókorlátozó* található. A modulációs termékek közül a felső oldalsávot továbbengedi és az alsó oldalsávot kellő mértékben elnyomja a *csatornasávszűrő*, melynek csillapítás-jelleggörbéjét a 4. ábra mutatja be. Az elnyomott alsó oldalsávból — normális beszédteljesítményt és spektrumeloszlást véve számításba — az alsó szom-



1. ábra



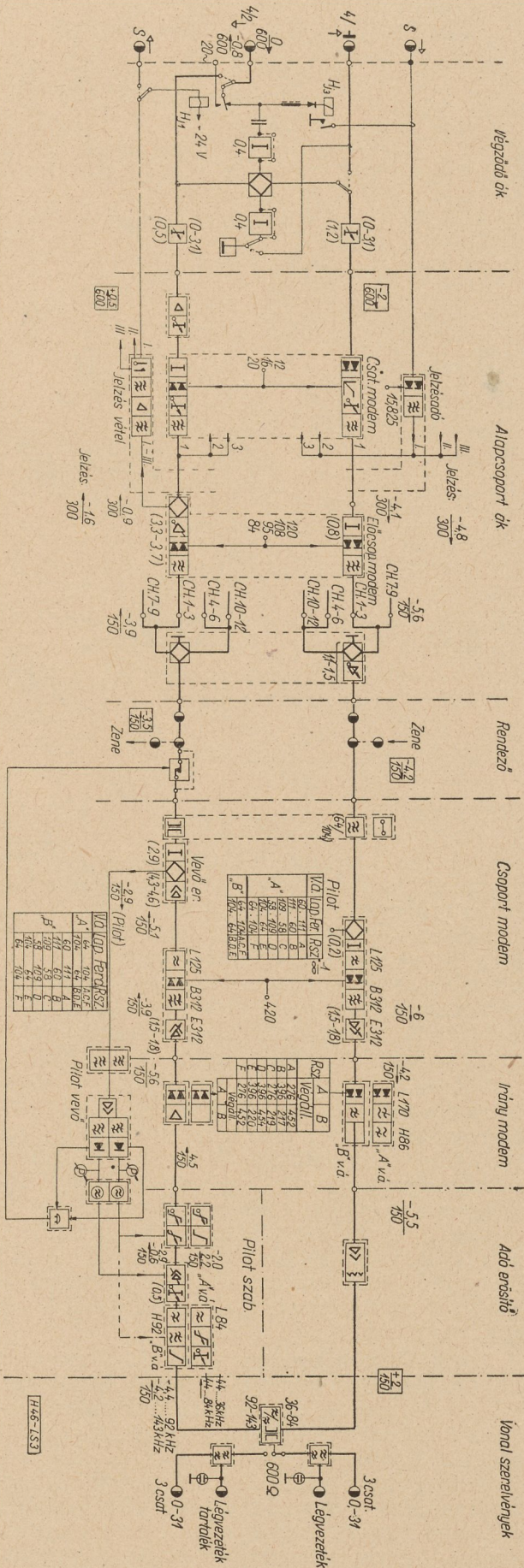
4. ábra

szedős csatornában kevesebb mint 50 pW pszofometrikusan értékelt zajteljesítmény keletkezik. Ez, valamint a későbbiekben még megemlítendő további áramköröknek jó felhang csillapítási tulajdonságai kis zajszinthez vezetnek. A csatornasávsvűrő 8 ferrit-fazékmagú tekercset és 11 polisztirol kondenzátort tartalmaz. Az átviteli sáv kifogástalan kiegyenesítése érdekében a 600 ohm hullámimpedanciára méretezett szűrők parallel kapcsolt közös kimenetén „aláillesztett” lezárás (300 ohm) van. A keletkező illesztetlenségi többletcsillapítás kiegyenlítőleg hat az üzemi csillapítás menetére.

Az *előcsoport-modulátort* ismét sávsvűrő követi, amely három csatorna együttes sávját engedi tovább. A négy előcsoportot hibrid transzformátor útján egyesítjük. A keletkezett 60—108 kHz alcsoport szintjét *alapszoport-erősítő* emeli fel a megadott — 4,2 N szintre. Ezen a helyen lehet kívülről becsatlakoztatni a 4., 5., 6. csatornák helyett, vagyis a 84—96 kHz sávba, a zene csatornát.

Adó irányban az *alapszoport-erősítőtől* a jel közvetlenül vagy sávzáró szűrőn át villatranszformátorba jut. Ezen tápláljuk be a pilotfrekvenciákat is. A sávzáró szűrő nagy csillapítást visz be az áramkörbe 64 és 104 kHz-en és ezzel megakadályozza, hogy az ugyanilyen frekvenciájú vívóáram kiszivárgások a pilot jel szintjét befolyásolják. Ha az állomáson nem 64 és 104 kHz pilotfrekvenciákat táplálunk be, a sávzáró szűrőt nem kell beiktatni az áramkörbe.

A villaáramkörből a pilotfrekvenciával kiegészített jel csillapító tagon és a zajcsökkentés végett beiktatott aluláteresztő szűrőn (L—125) át a *csoportmodulátorba* jut. A csoportmodulátor kimenetén megjelenő modulációs termékek közül a 312—360 kHz hasznos sávot („E” főcsoport) sávsvűrő (B312) választja ki és továbbítja a csoporterősítő bemenetéhez. Ennek kimenete az *iránymodulátorhoz* csatlakozik. A vonalra küldendő hasznos oldalsávot aluláteresztő szűrő (L 170) választja ki, mely az irányváltó csillapítását is növeli. Az A végállomásokon egy felületáteresztő szűrő (H 86) is alkalmazást nyer, mely az irányváltó csillapítás görbáját egyenlíti ki.



3. ábra

Az *adóerősítő* háromfokozatú, erősen negatív visszacsatolt erősítő végfokozatában három párhuzamosan kapcsolt teljesítménycsővel. A kb. 4 N-nyi negatív visszacsatolás és a három paralel csöves végfok a megkövetelt igen nagy linearitás és túlterhelési határ követelmények teljesítése miatt szükségesek. Az erősítő második felhangcsillapítása 9,2 N, harmadik felhangcsillapítása 9,6 N a normális +2N kiadott teljesítményszint esetén. Az erősítő túlterhelési szintje +4,3 N. Mindezen adatok lényegesen túlteljesítik a CCITT ajánlásait.

Következik az *irányváltó*, amely a 84 kHz alatti és a 92 kHz feletti átviteli frekvenciasávokat választja szét egymástól. Kimenetéhez csatlakozik vagy közvetlenül, vagy egyes esetekben hosszabb bevezető kábel után a *vonalváltó*, amely a fizikai és 3-csatornás sávot (0—31 kHz) választja szét a 36 kHz fölötti frekvenciasávra. E váltóból üzemi és tartalék példányokat találhatunk a végberendezésben az üzemi és tartalék légvezeték érpár megfelelő lezárására.

A berendezést a vonalon esetleg fellépő káros feszültségek ellen gyors működésű gáz-töltésű villámvédő csövek védik.

Mindkét váltó a legkorszerűbb méretezési elvek alapján készült és teljesíti az előírt igen szigorú (3 N-nél nagyobb) reflexiós-csillapítási és (14 N-nél nagyobb) felhangcsillapítási előírásokat. A méretek csökkentése érdekében itt is ferrit fazékmagokat alkalmaztunk megfelelően kis hiszterézis-tényezőjű anyagból és viszonylag nagy légréssel készítve.

*Vételi irányban* a vonalról érkező fekvenciasávokból a vonal- és irányváltók választják ki a venni kívánt sávot. Az A és B végállomás vételi ágai kissé különböznek egymástól, amint a tömbvázlaton is látható, részint a különböző frekvenciatartomány, részint a kissé eltérő pilotszabályozási mód miatt.

Az A végállomáson beállítható csillapító taggal, az irányváltó csillapítását növelő L 84 aluláteresztő szűrővel és az *önműködő pilotszabályozás* termisztoros ferde kiegyenlítőjével kezdődik a vételi áramkör. Ezt követi az egyenes szabályozást végző termisztoros *szabályozó erősítő*. Utána fix és kézzel beállítható *vonalalapkielegyenlítő* fejezi be a szabályzó szakaszt.

A B végállomáson is megtanuljuk mindezen elemeket, de más sorrendben és elől még egy *rádiózavarást elnyomó* magas határfrekvenciájú aluláteresztő szűrőt is iktattunk az áramkörbe az irányváltót kipótló H 92 feluláteresztő szűrőn kívül. Itt sorrendbe nézve az önműködő szabályozó szervek közül előbb az egyenes szabályozó erősítőt, majd a ferdekiegyenlítőt találjuk. A szabályozó szakasz vége ezen az állomáson is a forrasztással beállítható *vonalalapkielegyenlítő*.

A pilot-szabályozó áramkör kimenetén a jel szintje minden frekvencián — 4,5 N. Ezután

következik (B állomáson egy impedancia illesztő *segéderősítő* közbeiktatásával) az *irány-demodulátor*. Utána a lecsökkent szint felemelésére (az adási irányban levőhöz hasonló) *erősítő* következik (E 312), majd a *csoporthemodulátor* sávszűrő és aluláteresztő szűrő közé iktatva. A kimenő jelet *vevőerősítő* emeli fel a szükséges szintre. Ezen erősítő kimenetéről hibrid-transzformátor segítségével választjuk le a pilot-frekvenciákat. A szakasz befejezésekképpen szimmetrizáló transzformátor, vagy — ehelyett külön kívánságra (alapsoporthemodulátor egyes eseteiben) — 60 kHz-es pilot-elnyomó kristálysűrő van az áramkörben. Ezután történik — ha van — a már említett zenecsatorna levétele.

Az alapsoporthemodulátor felbontása a 12 beszédcsatorna és a demoduláció az adási irányhoz hasonló áramkörben történik. A különbség annyi, hogy mind az *előcsoporthemodulátor*, mind pedig a *csatornahemodulátor* után erősítő van. Az *előcsoporthemodulátor* megfelelő szintet ad a csatornahemodulátor fokozatokra és emellett biztosítja a jelzészvétel szintjét is, kimenetében levő hibrid-transzformátorral tápláljuk ui. a jelzészvétel berendezést.

A *csatornahemodulátor* fokozatkapcsolóval 0 és +1 N közötti kimenő szintekre állítható be. Szabványos üzemben a fokozatkapcsoló középállása mellett +0,5 N a vételi szint.

### Jelzészvétel

A berendezésben a gyártmánycsaládban általában alkalmazott *beszédcsatorna kívüli* — *jelzészvétel* valósítottuk meg (3825 Hz frekvenciával). A beszédcsatornák természetesen minden további nélkül (egyszerűen a beépített jelzés-adó-vevő fiók kihagyása után) alkalmasak bármely szokásos sávon belüli jelzőfrekvencia átvételére is.

*Jelzésadásra* a csatornának megfelelő (15, 825, 19,825 vagy 23,825 kHz) jelző frekvenciát egyenáramú impulzusokkal moduláljuk száraz egyenirányítókkal működő sztatikus modulátorok útján. A moduláló egyenáram vagy közvetlenül a központból érkezik (4-huzalos üzemmód), vagy *jelzés-áttevő* jelfogó szerelvényen keresztül, a központból 2-huzalos áramkörön érkező 16—50 Hz csengető áram hatására.

A jelzésadó áramkörök a csatornák párhuzamosan kapcsolt kimenetéhez csatlakoznak.

Vételi irányban a *jelzőáramokat* hibrid-transzformátor útján ágaztatjuk le az előcsoporthemodulátor közös jelzészvétel egységéhez. A három jelzőfrekvenciát kombinált sávszűrő választja ki és közös erősítő erősíti, majd a sávszűrőkkel szétválasztott jelző frekvenciákat egyenirányítás után sarkított jelfogók vezérlésére használjuk fel. A jelfogó a vett jelzőimpulzusok hatására egyenáramú impulzusokat továbbít a központ felé 4-huzalos üzemmód esetén, vagy

pedig jelfogó közvetítésével 16—50 Hz csengetőáramot küld a központ felé 2-huzalos kapcsolásban.

A beszédsávon kívüli jelzőáramkör alkalmas mind jelzés (csengetés) átvitelére, mind pedig választóimpulzusok átvitelére. Mivel a csatornán átvitt beszédfrekvencia komponensei nem zavarhatják a jelzőcsatornát, ezért beszélgetés alatt is lehet jelzéseket, például szám-lálóimpulzusokat közvetíteni, ami egyes táv-választó hálózatokban megkövetelt szolgáltatás.

### Pilotszabályozás

Az átviteli irányonként két-két végighaladó pilotfrekvencia segítségével vezéreljük a vég-és középállomások önműködő szintszabályozó berendezéseit. A vevőerősítő (végállomáson), vagy vonalerősítő (erősítőállomáson) kimenetéről nagy impedanciájú kristálysűrőkkel választjuk le a két pilotfrekvenciát, majd közös erősítés és újbóli szétválasztás után egyen-áramú jelekké alakítjuk át őket. E feszültségekkel egy-egy segédoszillátor kimenő teljesítményét szabályozzuk meredek karakterisztika szerint. Az oszcillátorok kimenő teljesítményét közvetett fűtésű termisztorok fűtésére használjuk fel. Három termisztort alkalmazunk, részben a szabályozó erősítő, részben pedig a passzív kiegyenlítő vezérlésére. Az előbbi a frekvencia függvényében konstans (*lapos*), az utóbbi a frekvencia függvényében változó csillapításkarakterisztika (*ferde*) szerint végzi a szabályozást.

A ferde karakterisztikájú szabályozó a mindenkori vezetékcsillapításhoz annyi, a frekvencia függvényében változó többletcillapítást ad hozzá, hogy a különböző frekvenciájú jelek azonos szintre kerüljenek. Az egyenes szabályozást végző erősítő változása oly mértékű, hogy a jelek szintje előirt konstans értékre álljon be. A különböző vezetékhozsaktól és a változó időjárástól függő vezetékcsillapítás egyenesre való kiegyenlítése a várható legrosszabb időjárási viszonyok mellett is önműködően bekövetkezik. A szabályzásban fenn-

maradó hiba 0,1 N-nél kisebb. Magának az önműködő szabályozásnak mértéke  $A-B$  átviteli irányban 5 N egyenes és 2,5 N ferde szabályozás,  $B-A$  irányban pedig 5 N egyenes és 3,2 N ferde szabályozás (5. ábra).

A pilotszintek értékét egy-egy középállású műszer indikálja. Az egyenirányított pilotjelek ezenkívül egy-egy középállású sarkított jelfogót is gerjesztenek. Ha a pilotjel szintje a beállított normál értékhez képest 0,3 N-rel növekszik, vagy 1 N-rel csökken, akkor a hozzátartozó jelfogó kb. 4 mp késleltetés után akusztikus és vizuális alarmjelzést ad.

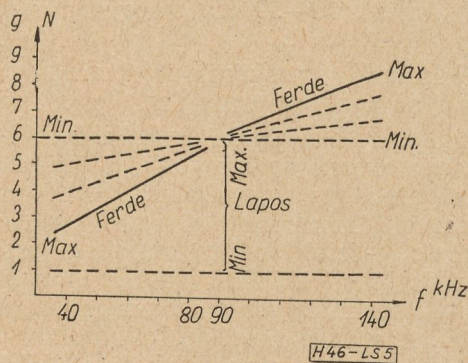
Abban az esetben, ha 0,3 N-nél nagyobb szintnövekedés áll elő, „nem sürgős” alarm keletkezik. Az 1 N-es szintcsökkenés azonban, ami rendszerint a pilotfrekvencia kimaradása miatt következik be, „sürgős” alarmjelzést ad és egyidejűleg működteti az átváltóáramkört. Ez az áramkör a berendezés üzembehelyezésekor tetszőlegesen kiválasztandó kétféle üzemmód valamelyikét működteti. Az egyik esetben az önműködő pilotszabályozást átkapcsolja *kéziszabályozásba*. Kéziszabályozásra egyébként is átkapcsolható az áramkör kulcs segítségével. Erre a berendezés üzembehelyezésekor és rendszeres vizsgálatokor van szükség. E vizsgálatok alkalmával mind az egyenes, mind a ferde szabályozást a kézisabályozókkal — melyek ilyenkor beállítható ellenállásokkal helyettesítik a termisztort — úgy kell beállítani, hogy a pilotindikátor műszerek normál szintet mutassanak. Ha tehát automatikus üzem közben az említett szintcsökkenés miatt az átváltó áramkör kézisabályozásra vált át, ott már egy közelítőleg jól beállított szabályzási helyzetet talál, tehát a csatornák üzemét csupán valamelyik pilotjel kimaradása nem teszi lehetetlenné.

A másik üzemmód szerint az önműködő átkapcsoló az állomás átviteli áramkörét megszakítja és ezzel megakadályozza, hogy az állomás az automatikus pilotvezérlés útján beállított nagy erősítés miatt begerjedjen, ha a normális szint hirtelen visszaállna. Ha az automatikus megszakítás után a normális pilot-szint visszaáll, a berendezés önműködően automatikus szabályozásra vált vissza és kiszabályoz. Ha rövid ideig tart a pilotjel kiesése, akkor a késleltető áramkörök megakadályozzák a riasztást és az átkapcsolást.

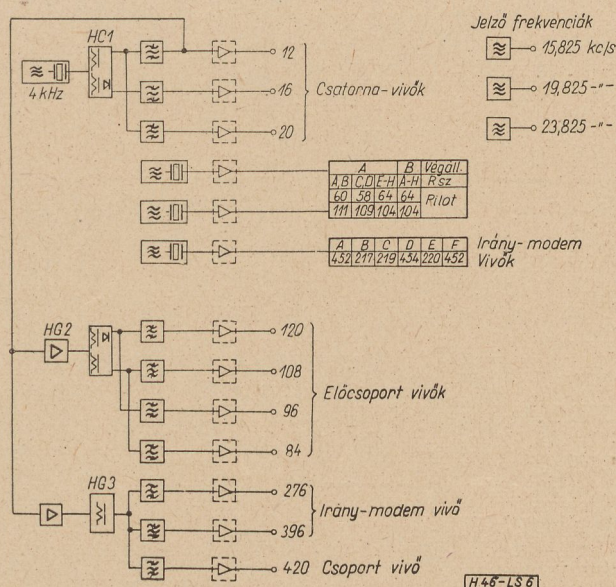
Fenti módszerek alkalmazásával még több ezer km hosszúságú összeköttetéseknel is el lehet kerülni a felesleges átvitelmegszakítást, vagy szabályzási lengések végigfutását.

### Vivőfrekvencia ellátás

A végállomás szerves része a vivő-, jelző-és pilotfrekvenciákat szolgáltató szekrény. E berendezés szolgáltatója mindazokat a frekvenciákat, amelyek a 3- és 12-csatornás berendezések működtetéséhez szükségesek és teljesítménye elegendő maximum 240 csatorna táplálására.



5. ábra



6. ábra

A vivóellátó szekrény két komplett készletét tartalmazza a frekvencia szolgáltató áramköröknek. Az egyik készlet az üzemi, a másik a készenléti tartalék. Ha az üzemi készletben valamely frekvencia kiesik, vagy szintje 0,3 N-nél nagyobb mértékben lecsökken, akkor egy önműködő átkapcsoló áramkör lép üzembe és átkapcsolja a meghibásodott frekvenciaforrást, és vele együtt még néhány azzal egy csoportba sorolt frekvencia ellátó áramkört az említett tartalék áramkörbe. Ily módon a vivőfrekvencia szolgáltatásban a folyamatosság biztosított; a csatornákon működtetett váltóáramú távirócsatornák átvitelében nem áll be zavart okozó megszakítás.

Mindkét vivóellátó készlet alapját egy-egy nagystabilitású, kristályvezérelt, 4 kHz frekvenciájú alaposzcillátor képezi (6. ábra).

Az alaposzcillátort a  $HG_1$  jelű harmonikus generátor követi, amelyben telített vasmagú tekercs állítja elő a 4 kHz páratlan harmonikusait. A harmonikus generátor egyik kimenetéről sávszűrőkkel választják ki ezen harmonikusok közül a 12 és 20 kHz csatornavivőket. A harmonikus generátor második kimenő áramkörében egyenirányító áramkör van, mely páros harmonikusokat állít elő. Erről a kimenetről választjuk le a sávszűrő útján a 16 kHz vivőfrekvenciát.

A 84, 96, 108 és 120 kHz előcsoport vivőfrekvenciákat a 12 kHz-cel táplált  $HG_2$  jelű második harmonikus generátor állítja elő.  $HG_3$  jelű, hasonló 12 kHz-es harmonikus generátor által termelt harmonikusok közül szűrjük ki a 420 kHz csoportvivő frekvenciát is, valamint az irány-vivőfrekvenciák közül a 12 kHz többszöröseiként keletkező 276 és 396 kHz-et. A többi irány-vivőfrekvenciát, az állomás típusa szerint, egyéni kristályvezérelt oszcillátorok szolgáltatják. Kristályvezérelt oszcillátorok

állítják elő a pilotfrekvenciákat is. Ezek nagyfokú stabilizálásáról külön szintstabilizátorok gondoskodnak.

A kristályvezérelt oszcillátorok frekvencia stabilitásának biztosítása végett a kvarc kristályok termosztátokban vannak elhelyezve, melyek belső hőmérséklete  $60 \pm 0,3$  C°. A termosztátok a fűtőáramkör önműködő szabályzó elemein kívül riasztó elemekkel is rendelkeznek, melyek az előírt hőmérsékleti értéktől való durvább eltérés esetén riasztójelzést (akusztikus jelzést és lámpajelzést) adnak.

A jelzőfrekvenciák előállítására (15, 825; 19, 825 és 23, 825 kHz) szintén kristályvezérelt egyéni oszcillátorokkal történik. Ezen oszcillátorok kristályai azonban nincsenek termosztátban.

Valamennyi felsorolt frekvencia teljesítményének erősítésére megfelelő erősítőket alkalmaz a vevőellátó berendezés.

A frekvenciák elosztása a szekrény tetején levő forrcsústvokról történik, de nagy csatornaszámú állomás esetén külön vivőelosztó keret is felszerelhető.

Itt említjük meg, hogy az egész berendezésben alkalmazott egységes csőtípus, mellett a vivóellátó berendezés már tranzisztorizált áramköröket is tartalmaz (pl. a jelzőfrekvenciás oszcillátorok és a szintellenőrző áramkör).

#### Erősítő berendezés

Az erősítő berendezés tömbvázlatát a 7. ábra mutatja. Az A—B és B—A irányok szétválasztását, valamint a 3- és 12-csatornás sávok szétválasztását a végberendezésben alkalmazott irány- és vonalváltókkal azonos típusú váltók végzik. Mindkét átviteli irányban megtalálhatók az ugyancsak a végberendezésben levővel azonos pilotszabályozó áramkörök és vonalerősítők.

A pilotszabályozó áramköröket a végberendezéshez hasonló módon kétfrekvenciás pilotvevő vezérli, mely a vonalerősítő magas szintű kimenetéhez csatlakozik kristályszűrőn át. A pilotfrekvenciák értéke 40 és 80 kHz az A—B irányban és 92 és 143 kHz a B—A irányban. Kivételt képeznek az E és F rendszerek, melyek középállomásain az A—B irányban a pilotfrekvencia 136 és 96 kHz.

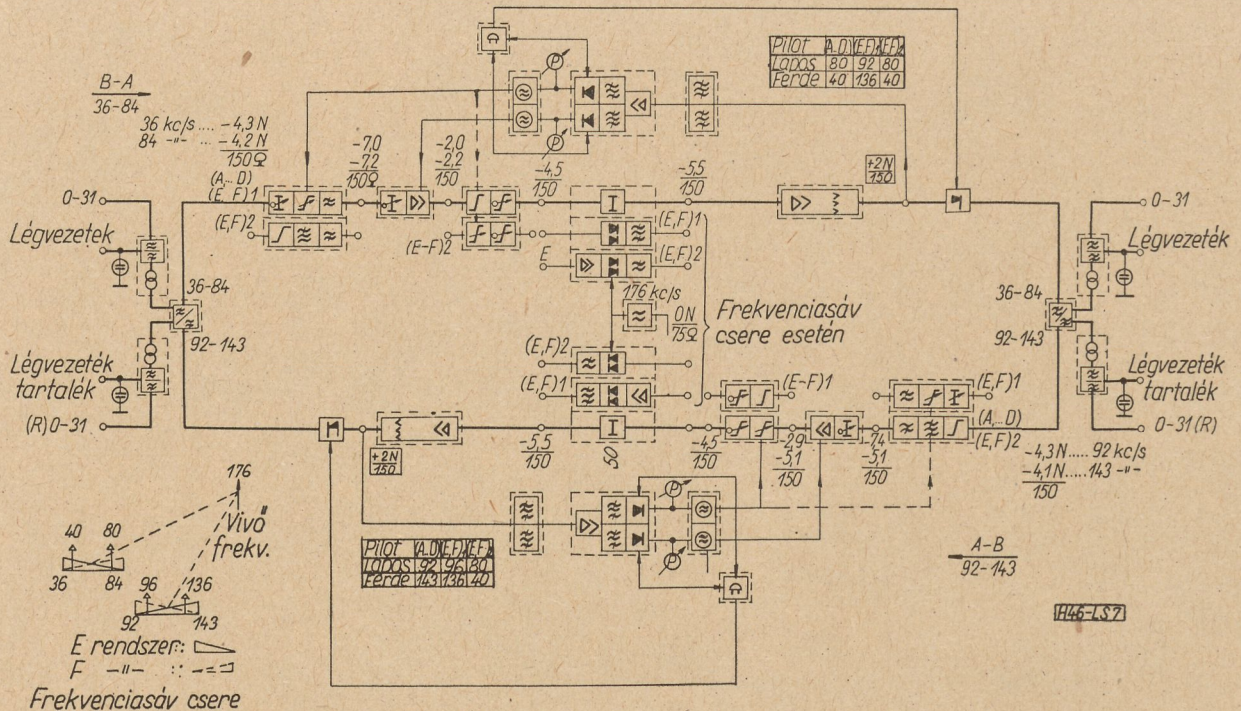
Az E és F rendszerek középállomásain frekvenciacserélő modulátor áramkört is alkalmazunk, melyeket 176 kHz frekvenciát szolgáltató kristályvezérelt oszcillátor táplál.

#### Kiegészítő áramkörök

A berendezésekben sokféle kiegészítő és segédáramkört is alkalmazunk.

#### Hálózati tápáramkörök

A szekrények tápárammal való ellátása történhet telepekről (24 V és 206 V), illetve központi tápegyenirányító berendezésről, vagy pedig hálózatról. Minden szekrényben bedugaszolható tápegység van, amely a hálózati üzemet teszi lehetővé. Ebben találjuk a fűtő-



7. ábra

transzformátorokat, az anód és jelfogó egyenfeszültségek egyenirányítóit, továbbá kiolvadó biztosítókat, riasztó jelfogókat, jelzőlámpákat és a feszültségek ellenőrzését lehetővé tevő mérő csatlakozó hüvelyeket. A tápegységet automatikus átkapcsoló egység egészíti ki, amelyben jelfogórendszer gondoskodik hálózat kiesése esetén az anód, fűtő és jelfogó tápfeszültségeknek gyors átkapcsolására a készenléti tartalék telepekre. Ezzel biztosítjuk a kiesés nélküli folyamatos táplálását a berendezésnek hálózati üzemzavar esetén.

**Riasztó áramkörök**

A berendezések üzembiztonságának növelése és a fenntartási munka tökéletesítése céljára különféle figyelő és riasztó áramkörök szolgálnak. A jelzések akusztikusak (csengő) és vizuálisak (lámpák). Megkülönböztetünk „sürgős” és „nem sürgős” alarmot. Az első arra utal, hogy a bekövetkezett hiba mind a 12 csatorna üzemét veszélyezteti, a másik csoport az egyes csatornákat vagy áramköri részleteket érintő hibákat jelzi. A jelzéseket előállítják a tápfeszültségeket és az egyes csövek emissziós áramát figyelő jelfogók, a biztosítók kiolvadását jelző áramkörök, a pilot szabályzó áramkörben levő riasztó jelfogók, a vivőfrekvenciák szintjét figyelő jelfogók stb.

**Átvitelt mérő műszer**

A szekrényekben bedugaszolt átvitelmérő műszer szolgál arra a célra, hogy néhány fontosabb szintadatot ellenőrizni lehessen és az ellenőrző mérésekhez mérőfrekvenciát szolgáltatson. A műszer a végállomásra 800 Hz frekvenciájú mérőjelet tud kiadni kapcsolóval be-

állítható különféle, a berendezés vizsgálatához szükséges szinttel. A középállomás műszere átkapcsolhatóan 60 és 120 kHz frekvenciájú jeleket adhat ki a két átviteli irány vizsgálatára. Mindkét műszerben szintmérő is van, amelynek kapcsolóval beállítható mérési határai +3 N-től -1 N-ig terjednek. A műszer mérési határai és pontossága korlátozott, tehát csak egyszerűbb, gyorsan végrehajtandó ellenőrző mérésekre szolgál. A vivőfrekvencia ellátó szekrény a frekvenciáknak standard frekvenciával való összeütése céljára oszcilloszkópot is tartalmaz.

**Figyelő és távbeszélő készülék**

Szolgálati beszélgetések és a csatornába való befigyelés lehetőségének biztosítására mind a központ, mind pedig a vonal felé a végberendezésben különféle üzemmódra átkapcsolható távbeszélő egységet alkalmazunk, külön bedugaszolható kézibeszélővel.

**Vonali kiegészítő és illesztő készülékek**

A légvezetékes üzem egy csoportját igényli a különféle kiegészítő és illesztő szerelvényeknek, mint pl. vonalillesztő transzformátorok, bevezető kábelek és ezek illesztő és terhelő transzformátorai, túlfeszültség ellen védő és levezető szerelvények, hosszanti folyót tekercsek, vivőfrekvenciás áthallás elnyomó szűrők. Mindezen szerelvényeket a mindenkor adott vonal és állomástervnek megfelelően nyernek alkalmazást.

**A berendezés konstrukciója**

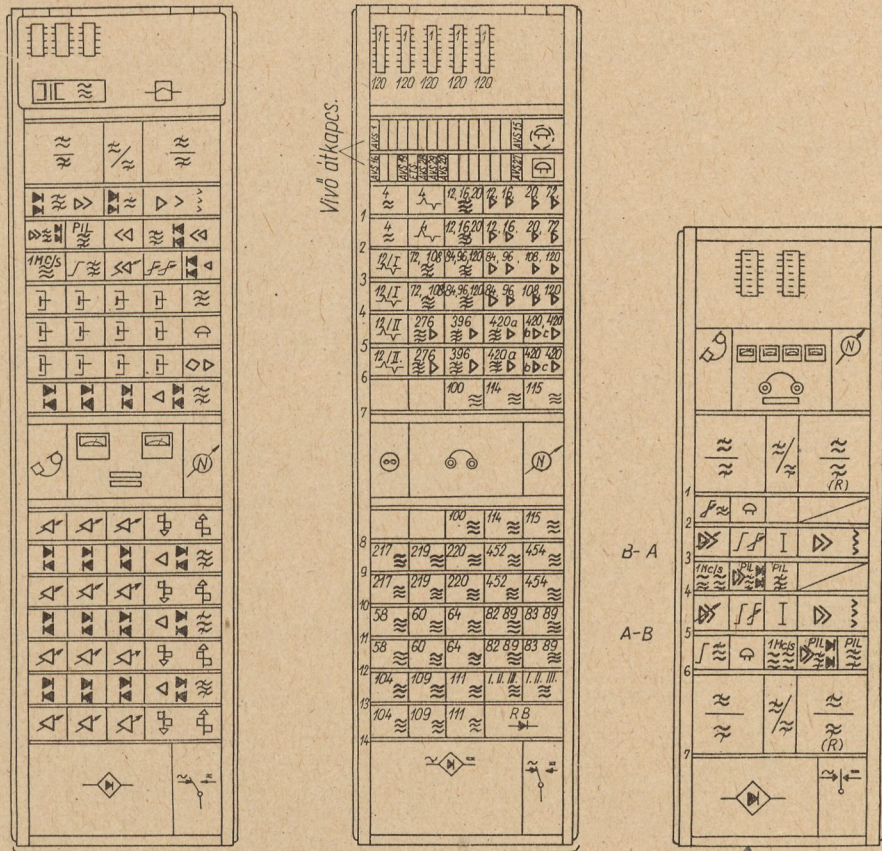
A végberendezés két normál méretű szekrényből (csatorna és vivőellátó szekrényből) áll, az erősítő berendezés pedig törpeszekrény (lásd. a 8. ábrát).

A szekrények szerkezete és belső felépítése, valamint a fiókos egységek konstrukciós rendszere megegyezik a *BHG átviteltechnikai gyártmány-család egységes, dugaszolható rendszerű konstrukciójával*. E konstrukciós rendszer részletes ismertetésével egy másik közleményünk foglalkozik (3).

*Fő műszaki adatok*

Telefoncsatornák száma . . . . .	12
Egy telefoncsatorna átvihet	24 távírócsatornát
A vonalon átvitt legkisebb frekvencia . . . . .	36 kHz
A vonalon átvitt legnagyobb frekvencia . . . . .	143 kHz
Legnagyobb csillapítás egy 143 kHz-es erősítő szakaszon átlagos csapadéknál.	4 N
A csillapítás határa egy erősítő szakaszon 143 kHz-	

nél (erős zúzmaránál) . . . . .	8,5 N
A hangfrekvenciás áramkörök impedanciája . . . . .	600 ohm
Átvitt hangfrekvenciás sáv	300—3400 Hz
Az egyes csatornák teljes frekvencia átvitele két végállomási berendezésből álló összeköttetésben, mindkét átviteli irányban . . . . .	A CCITT ajánlás 2/5-e
A torzítási tényező normál szinten 800 Hz-cel mérve	$k_2$ : 2%-nál kisebb $k_3$ : 1%-nál kisebb
Viszonylagos teljesítmény szint a csatornamodulátor bemeneténél . . . . .	— 2N/600 ohm 0,1 N-es lépésekben változtatható + 0,5 N/600 ohm 0,05 N-es lépésekben változtatható 0 N és + 1 N között
a csatornaerősítő kimeneténél	
az alapszoport modulátor áramkör kimeneténél . . . . .	— 4,2 N/150 ohm



*Végberendezés*

*Erősítő berendezés*

<i>Forrasúcs</i>	<i>Vonalváltó</i>	<i>Szab. er.</i>	<i>Írány.mod.</i>	<i>Frekv.össz.</i>
<i>Jelf.sáv</i>	<i>Írányváltó</i>	<i>24-huz.vég.</i>	<i>Therm.korr.</i>	<i>xkHz oszc.</i>
<i>Vivőelosztó</i>	<i>Csoport mod.</i>	<i>Alapsz.hyb.</i>	<i>Rendsz.von.k.</i>	<i>xkHz harm.g.</i>
<i>Riasztó</i>	<i>Vonalerős.</i>	<i>Csatorna modem</i>	<i>Írány.dem.</i>	<i>xkHz viv.er.</i>
<i>Figyelő egys.</i>	<i>Vevőerősítő</i>	<i>Előcsop. modem</i>	<i>Transzf.</i>	<i>xkHz viv.szű.</i>
<i>Hűvelysáv.</i>	<i>Csoport demod.</i>	<i>Csat. er.</i>	<i>HCL.Pegys.</i>	<i>xkHz szűr.+er.</i>
<i>Szintmérő</i>	<i>Csoport demod.</i>	<i>Jelz.ad.vev.</i>	<i>Vivőlnyom.</i>	<i>xkHz rsz.-ösze.</i>
<i>Tápegys.</i>	<i>1MHz oszcill.</i>	<i>Jelz.ad.vev.</i>	<i>Pilot vevő</i>	<i>Jelz.fr.oszc.</i>
<i>Átkapcsoló</i>			<i>Pil.szűrő</i>	<i>Stab.fesz.for.</i>

H4-6-LS 8

8. ábra

az alapsoport demodulátor áramkör bemeneténél . . . .	— 3,5 N/150 ohm
az átviteli vonalerősítő kimeneténél csatornánként . . . .	+ 2 N/150 ohm
A pilotszint a 0 viszonylagos szintű ponton . . . . .	— 2,3 N
A vívőfrekvencia generátorok stabilitása . . . . .	$5 \times 10^{-6}$ -on belül
Pilotfrekvenciák stabilitása . . . . .	$\pm 2$ Hz
Maximális különbség bármilyen, a csatornabemenetre adott hangfrekvencia és a vételi végződésen vett frekvencia között . . . . .	2 Hz-nél kisebb
Vívőszivárgás a vonalon a viszonylagos csatornaszint alatt egy csatornán a felső frekvenciacsoportban . . . . .	legfeljebb 3 N
az alsó frekvenciacsoportban . . . . .	legfeljebb 2 N
Összes szivárgás szintje az adási szint alatt . . . . .	legfeljebb 1,7 N
A vonalszűrő névleges impedanciája . . . . .	576 ohm
Reflexiók csillapítás a berendezés vonalcsatlakozásánál, a vonalon átvitt felső frekvenciacsoportban . . . . .	$> 3$ N
alsó frekvenciacsoportban . . . . .	$> 2,6$ N
Zajfeszültségek két végállomási berendezésnek 4 N-es (143 kHz-nél) művonalon át történő összeköttetésével pszometrikusan mérve a + 0,5 N szintű ponton:	
a) Alapzajfeszültség . . . . .	max. 1 mV
b) Szomszéd csatornákat beszéddel terhelve . . . . .	max. 1,2 mV
c) Zajfeszültség beszédes csatornáknál a tárcsázási impulzusok átvitelénél . . . . .	max. 2 mV

d) Jel-zaj viszony a szám- láló impulzusok átvitele miatt ugyanazon a csatornán . . . . .	legalább 5 N
Érthető jel- áthallás viszony két csatorna között . . . . .	min. 7,5 N
Jelzési frekvencia az egyes csatornák 0 frekvenciájára vonatkoztatva . . . . .	3.825 kHz
Jelzési szint a hangcsatorna viszonylagos 0 szintjére vonatkoztatva . . . . .	— 0,7 N
A tárcsázási jel torzítása 30/30 ms impulzusaránytal és $\pm 3$ N-es szintváltozással a vevőrészen . . . . .	max. $\pm 3$ msec.
Csővek . . . . .	18 046 és 6760
A csövek átlagos élettartama	kb. 10 000 óra
Aramellátás váltakozó áramú hálózatból . . . . .	110, 125, vagy 220V $\pm 3\%$ 40—60 per. 206 V + 3% anód, 21 V $\pm 3\%$ fűtés és 24 V jelfogó
Állomás telepek . . . . .	
A szekrény méretei:	
Magasság (normál méret) . . . . .	2735 mm (változat- ként: 2600 mm)
Magasság (törpe kivétel) . . . . .	1920 mm
Szélesség . . . . .	660 mm
Mélység . . . . .	250 mm
Megközelítő súly (normál méret) . . . . .	kb. 300 kg.

## Irodalom

- Lajkó S.: Sokcsatornás vívőáramú gyártmánycsalád. Magyar Híradástechnika 9. évf. 2—3 sz.  
Lajkó S.: Háromcsatornás légvezetékes vívőáramú távbeszélő berendezés. Magyar Híradástechnika X. 1959. évf. 1 sz.  
Baján T.: Egységes átviteltechnikai konstrukció. Magyar Híradástechnika 8. évf. 1957. 6 sz.

# GYÁRTMÁNYAINK:



- TV. és URH. vevőantenna  
Antenna szerelvények, szigetelők  
Központi antennák és erősítők  
Adóantennák 1 kW-ig  
Híradástechnikai csatlakozó  
Erősáramú csatlakozó  
Telefontechnikai töltőberendezések  
Fényjelző személyhívó berendezések (kórházi, szállodai stb.)  
Egyszámú számjelző  
Vészlámpák (üzemekhez, raktárakhoz stb.)  
Távírányítású fényújság  
Feszültség szabályozó berendezések  
Tranzisztoros transzverterek  
Szikraforgácsoló tápegységek  
Különleges száraz egyenirányító berendezések

**HIRADÓTECHNIKAI VÁLLALAT BP XI. DARÓCZI ÚT 1/3.**

## Alumínium ezüstözése és ezüstözött alumínium híradástechnikai felhasználhatósága

ORGOVÁNY LÁSZLÓ és GÁTI JÓZSEFNÉ

Mechanikai Laboratórium

Híradástechnikai Kísérleti Vállalat

*Az ezüstözött alumínium és alumíniumötvözetek klímaállóságát erősen befolyásolják a mártó horganyzás körülményei, a védőrétegek minősége és vastagsága. A technológiai körülmények gondos megválasztásával előállítható olyan ezüstbevonat, mely klímaállóság szempontjából a nemzetközi követelményeket is kielégíti. Az ezüsttel bevont alumínium alkalmazásának a híradástechnika és a műszeripar egyes területein műszaki, technológiai és gazdaságossági előnyei vannak.*

### I. Bevezetés

A fejlődő híradástechnika és műszeripar egyre újabb szerkezeti anyagokat és felületvédelmi eljárásokat igényel. Ez a törekvés fejlesztette ki az alumínium ezüstözését is. Így egyesíthető az alumínium könnyűsége, jó hővezetőképessége, előnyös technológiai tulajdonságai az ezüst kiváló elektromos sajátságaival. Az ezüstözött alumínium felhasználása a következő előnyökkel járhat:

1. Csökken az alkatrészek és így a készülékek súlya. Az alumínium fajsúlya  $2,7 \text{ kg/dm}^3$ , a rézé  $8,9 \text{ kg/dm}^3$ . Ugyanolyan térfogatú alumínium munkadarab súlya tehát 3,3-szor kevesebb, mintha az rézből készült volna.

2. Ezüstréteggel való bevonásnál a felület az alumínium egyéb előnyös tulajdonságainak megtartása mellett kiváló elektromos vezető lesz.

3. Az alumínium könnyen forgácsolható, stanzolható, hidegfolyatható, kokilla- és présönthető. Nagy jelentőségű a készüléképítésében, hogy az ezüstözött alumínium könnyen köthető lágy és kemény forrasszal.

4. A híradástechnikában rendkívül fontos a mikrofonias zavarok kiküszöbölése. Irodalmi források szerint ezüstözött alumínium kondenzátorok alkalmazásával a mikrofonias zavarok csökkennek. Az alumínium árnyékolódobozok helyettesítése ezüstözött alumíniummal az árnyékoló hatás növekedését eredményezi. Feltehetően jól ki lehet használni az ezüstözött alumínium kiváló felületi áramvezetőképességét nagyfrekvenciás készülékek sasszínak készítésénél.

5. Ezüstözött réz vagy rézötvözetek helyettesítése ezüstözött alumíniummal komoly gazdasági megtakarítást eredményez. A fajsúlykülönbség miatt a helyettesítésre használt alumínium értéke 3,0–3,5-ször kisebb, mint a megfelelő réz vagy rézötvözeté. Az alumínium hazai anyag, a réz pedig importáljuk.

### II. Elvi alapok

Az alumínium erősen elektronegatív fém, ezért a levegő oxigénjével gyorsan alumínium-oxidá egyesül. Az alumíniumoxid szigetelő

sajátságú, ezért rá galvanikus úton fémréteget leválasztani nem lehet. A jól tapadó galvánbevonat létrehozásához a legtisztább fém-fém kapcsolatra van szükség. A galvánműveletek előtt ezért az oxidréteget tökéletesen el kell távolítani. Ez az előkészítő műveletek feladata. A lehetőségek közül legkönnyebben megvalósítható a kémiai előkészítés — oxideltávolítás — mutatkozott. A kémiai előkészítés utolsó lépése a később ismertetendő mártóhorganyzás, amelynek elve, hogy a fémtiszta felületre ionszere folytán fémhorgany válik ki.

A jó korrózióvédelem érdekében célszerű, ha a bevont fém és a bevonó fém elektropotenciálja egymáshoz közel esik. Ezt figyelembe véve kívánatos, hogy az egymástól távol eső elektropotenciálú alumínium és ezüst közé potenciál szempontjából közbeeső fémet vagy fémeket válasszunk le. Mivel az alumínium erősen elektronegatív, ezért felületére a szintén elektronegatív horganyt közbeeső réteggé leválasztani elméleti szempontból is indokolt.

Ismeretes, hogy az ezüst tapadása rézre kiváló és a réz elektropotenciálja az alumínium és az ezüst közé esik.

#### Elektropotenciálok:

alumínium .....	−1,67 V
horgany .....	−0,762 V
réz .....	+0,344 V
ezüst .....	+0,798 V

Ezért a kémiai leválasztott horganyra galvánosan vörösrezt vittünk fel, amely egyrészt növeli az ezüstréteg tapadóképességét, másrészt javítja a bevonat klímaállóságát.

### III. Elvégzett kísérletek

#### 1. Előkészítés módja

A laboratóriumi kísérletek feladata elsősorban az alumínium és alumíniumötvözetek galvanizálás előtti előkészítésének tanulmányozása volt. Az előkészítéssel *F. Keller, W. G. Zelly, H. W. Dettner* és *G. L. J. Bailey* foglalkoztak. Az irodalomban ismertetett eljárásokból a következő előkészítési technológiát alakítottuk ki:

- durva zsirtalanítás szerves oldószerrel
- oxideltávolítás nátriumhidroxidban
- kénsavas dekapirozás
- salétromsavas rézeltávolítás, vagy hidrogénfluoridos szilícium leoldás
- mártóhorganyzás

Részletes ismertetés a technológiai leírásban szerepel.

## 2. Mártóhorganyzás körülményeinek vizsgálata

E vizsgálatokat az indokolta, hogy a vonatkozó irodalmi adatok eléggé ellentmondóak. A horganyréteg képezi a további bevonatok alapját. A felvitel körülményei feltétlenül hatással lesznek az ezüstözött alumínium ellenállóképességére, klímaállóságára. Ezért a horganyzás körülményeinek elbírálására az IEC. 68. által javasolt klímaállósági igénybevételeket alkalmaztuk. A mártóhorganyzást Keller és Zellely által javasolt tömény cinkátos oldatban végeztük, amely 525 g/l NaOH-t és 100 g/l ZnO-t tartalmazott. Ezt kiegészítettük az ASTM által javasolt technológia szerinti 30 g/l káliumnátriumtartaráttal.

A mártóhorganyzáselve az, hogy az alumínium és ötvözetei, mivel erősen elektronegatívak, számos más fémet kiválasztanak sóiknak oldatából. Ez történik a nátriumcinkát oldatnál is. A cinkátfürdőnek feladata még, hogy az esetleg visszamaradt, vagy a művelet közben képződött alumíniumoxidot feloldja és az alumínium-horgany ioncsere részére fémtiszta felületet biztosítson. Az így képződött vékony, jól tapadó horganyrétegre a szokványos galvanotechnikai műveletekkel lehet a további fémbevonatokat leválasztani. A bevonat minőségét természetesen befolyásolja az ioncsere sebessége. Ha a leválás túl gyors, akkor vastagabb, szivacsosabb horganyréteg képződik, amely további galvanizálásra kevésbé alkalmas. A leválás gyorsaságát — ha a fürdő összetételének állandóságát biztosítjuk — a fürdő hőmérsékletével lehet befolyásolni.

A hőmérséklet befolyását az egységnyi felületre leválott anyagmennyiségre Keller és Zellely által szerkesztett görbék mutatják.

A hőmérsékletnek a tapadóképessegre, klímaállóságra gyakorolt hatását vizsgáltuk. Elméleti és kísérleti alapon bebizonyosodott, hogy azok a körülmények, amelyek a legerősebb tapadást

okozzák, egyben a legjobb korrózióállóságot is biztosítják. Ezért horganyzást végeztünk 22, 27, 29 és 31 C°-on. Ezeket a lemezeket rezeztük, ezüstöztük és vizsgáltuk gyorsított nedves-meleg, nedves-meleg tartam, valamint sósköd kamrában. A vonatkozó eredményeket az 1. táblázatban foglaltuk össze.

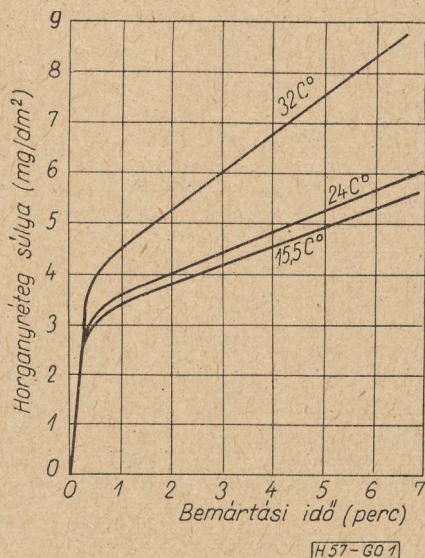
Bullough, Gardam, majd Bailey elektron-difrakciós vizsgálatai azt bizonyítják, hogy a bevonatok „kristályfák”-ból épülnek fel amelyek méretei nem idomulnak az alumínium kristályalakzatához. Természetszerűleg minden kristály kiinduló pontja az alumíniumnak egy kicsiny felülete, ahol az adhézió maximális. Ezek a „kristályfák” — a bemártás idejét növelve — oldalirányban növekednek. Tekintve, hogy az aktív helyek már le vannak foglalva, ezért a bemártási idő növelésével már nem növekszik az alumíniummal érintkező felület és az adhézió mértéke. Lehetőség van azonban arra, hogy a „fák” növekedésük során összekapcsolódjanak, ezáltal olyan feszültségek keletkeznek, amelyek csökkentik az egész réteg adhézióját.

Keller és Zellely kimérték, hogy a leválás legnagyobb részét a bemártás első szakaszában játszódik le. A képződött horganyréteg vastagsága 0,02—0,07  $\mu$  között kell, hogy legyen. Ha eltekintünk a szivacsosságtól és tiszta fémet tételezünk fel, akkor ez 1,6—4,8 mg horgany/dm<sup>2</sup>-nek felel meg.

Mindezekből nyilvánvaló, hogy a mártóhorganyzás idejének optimuma van, amelynél rövidebb idő alatt túl vékony, hosszabb idő alatt rosszul tapadó, szivacsos horganyréteg képződik. Ezért vizsgáltuk a horganyzás idejének hatását a klímaállóságra, tapadóképessegre. Kísérleteket végeztünk 0,5; 1; 1,5; 2; 4 perces horganyzási időkkal. A lemezeket rezeztük, ezüstöztük, majd utána különböző klímaállósági igénybevételeknek vetettük alá. A vonatkozó eredményeket a 2. táblázat szemlélteti.

A vizsgált lemezeket a technológiai eljárásban leírt módon kezeltük, csupán a horganyzás idejét változtattuk. Minden vizsgálatot 5 párhuzamos lemezen végeztünk el. A vizsgálati eredményeket értékelve az 1. táblázatban látható, hogy a 22 C°-on horganyzott mintalemezeknél már 7 nap után felhólyagosodás mutatkozott gyorsított nedves-meleg kamrában; a többi hőmérsékleten horganyzott lemeznél csak 14 nap, vagy azután lépett fel. A sósköd kamrában 2 nap után változás nincs, de 7 nap után már súlyos korróziós elváltozások lépnek fel minden változatnál. Tengeri klímára ezért az így kezelt változatok nem alkalmasak. A tengeri klímára is alkalmas bevonat kialakítását külön kísérlet-sorozattal végeztük. Tartamigénybevételnél 56 nap után csak kismértékű elszíneződést lehetett megállapítani.

A 2. táblázatnál a horganyzási hőmérsékletet 27 C°-on stabilizáltuk, de a horganyzási időt változtattuk. Gyorsított nedves-meleg és



1. ábra



2. táblázat  
Különböző ideig horganyzott, majd ezüstözött mintatemezek klímaállósági vizsgálata  
Horganyzási hőmérséklet 27 C°

Vizsgálati idő napokban	Horganyzási idő 1 perc			Horganyzási idő 1,5 perc			Horganyzási idő 2 perc		
	Tartam	Gyorsított	Sósköd	Tartam	Gyorsított	Sósköd	Tartam	Gyorsított	Sósköd
	nedves — meleg			nedves — meleg			nedves — meleg		
vizsgálatok									
2	Változás nincs	Változás nincs	Változás nincs	Változás nincs	Változás nincs	Változás nincs	Változás nincs	Változás nincs	Változás nincs
7	Enyhe elszíneződés	Felső élen és a lemezek felületén több hólyag	Enyhe elszíneződés	Széleken felhólyagosodás Lemez felületén változás nincs	Enyhe elszíneződés	Enyhe elszíneződés	Enyhe elszíneződés	Felső széleken felhólyagosodás, 3 lemeznél 1—2 hólyag	
14	Lyukaknál és az oldaléleken hólyagosodás	Lyukaknál és az oldaléleken hólyagosodás	Barnás elszíneződés	Barnás elszíneződés	Barnás elszíneződés	Barnás elszíneződés	Barnás elszíneződés	Barnás elszíneződés és kezdődő barna pontok	
27	Változás nincs	Lyukaknál és az oldaléleken hólyagosodás és a lemez felületén barna pontok	Változás nincs	Barnás elszíneződés	Barnás elszíneződés és kezdődő barna pontok	Változás nincs	Változás nincs	Barnás elszíneződés és kezdődő barna pontok	
36		Hólyagosodás nem fokozódott. Erős barna pontszerű elszíneződés	Erős barna pontszerű elszíneződés, lyukaknál hólyagosodás					Erős barna pontszerű elszíneződés	
56	Enyhe elszíneződés		Enyhe elszíneződés				Enyhe elszíneződés		

## Galvanizálási idő változásának hatása a sósködállóságra

3. táblázat

Sósködben tartás ideje napokban	Galvanizálás ideje percekben		
	Rezezés 15 perc Ezüstözés 30 perc	Rezezés 15 perc Ezüstözés 60 perc	Rezezés 40 perc Ezüstözés 60 perc
2	Változás nincs	Változás nincs	Változás nincs
7	Felső élen felhólyagosodás. Részleges rétegleválás. Lemezek felületén is több hólyag	Enyhe mattulás. Az éleken barna és zöld elszíneződés. Az él mentén néhány helyen hólyag	Az éleknél és sarkoknál néhány helyen zöld sókiválás. Felhólyagosodás nincs

4. táblázat.

## Alumínium és alumíniumötvözetek ezüstözésének technológiája

Technológiai lépés megnevezése	Fürdő összetétel	Áramviszonyok	Hőmérséklet C°	Időtartam perc	Megjegyzés
Benzines zsírtalanítás	Foltbenzin		20	—	Kétszeri lemosás
Lúgozás	50 g/l NaOH		65—70	10	
Folyóvízes öblítés	—		—	—	
Réz eltávolítás	25 s. % HNO <sub>3</sub> fs. 1,146		20	2—4	Csak réztartalmú ötvözeteknél
Szilícium eltávolítás	3 tf. 65 %-os HNO <sub>3</sub> 1 tf. 40 %-os HF		18—20	6—10 sec.	Csak 0,5 %-nál magasabb Si tartalmú ötvözeteknél
Folyóvízes öblítés	—		—	—	
Kénsavas dekapirozás	25 s. % H <sub>2</sub> SO <sub>4</sub> fs. 1,1783		80—85	3	
Folyóvízes öblítés	—		—	—	
Salétromsavas áthúzás	25 s. % HNO <sub>3</sub>		20	0,5	
Folyóvízes öblítés	—		—	—	
Horgany leválasztás	100 g/l ZnO 525 g/l NaOH 30 g/l káliumnátrium-tartarát		27—29	2	
Hideg folyóvízes öblítés	—		—	—	
Meleg folyóvízes öblítés	—		90	—	
Vörösrezezés	41 g/l Cu <sub>2</sub> (CN) <sub>2</sub> 49 g/l NaCN 30 g/l Na <sub>2</sub> CO <sub>3</sub> sicc. 60 g/l káliumnátrium-tartarát	2 percig 2,6 A/dm <sup>2</sup> 13 percig 1,3 A/dm <sup>2</sup>	48±2	2+13	Tengeri klímára 2 perc 2,6 A/dm <sup>2</sup> 38 perc 1,3 A/dm <sup>2</sup>
Folyóvízes öblítés	—	—	—	—	
Ezüstözés keményezüst fürdőben	35 g/l KAg(CN) <sub>2</sub> 35 g/l K <sub>2</sub> Cd(CN) <sub>4</sub> 38 g/l KCN 20 g/l KOH	0,8 V	20	30	Tengeri klímára 60 perc
Folyóvízes öblítés	—	—	—	—	
Melegvízes öblítés	—	—	90	—	
Szárítás					

sósködállóság szempontjából a 2 perces horganyzott lemezek adták a legjobb eredményt. A próbalemezek gyorsított nedves-meleg igénybevételnél a legnagyobb nemzetközi követelményt (6 nap) is messze túlhaladták azzal, hogy 14—27 napig lényeges változás nélkül is ellenálltak az az agresszív körülményeknek. A tartamigénybevételnél az 56 napos nemzetközi követelményt az ismertett változatok mindegyike károsodás nélkül kiállotta. Sósköd-kamrában a legnagyobb nemzetközi követelmény 7 nap. Ezt azonban egyetlen változat sem teljesítette, mivel 7 nap után kisebb, vagy nagyobb mértékben korróziós változások léptek fel.

Az itt közölt eredményekből leszűrhető, hogy a mártóhorganyzás optimuma 27—29 °C-nál és 2 perc bemártási időnél adódik. Tengeri klímára az így kezelt lemezek nem alkalmasak.

### 3. Közberső rétegek szerepe

Szisztematikusan vizsgáltuk, hogy milyen közberső réteget kell alkalmazni az alumínium és az ezüst közé a maximális klímaállóság biztosítása érdekében.

*Alumínium közvetlen ezüstözése:* Közvetlenül alumíniumra ezüst bevonatot nem sikerült leválasztani.

*A horganyzott alumínium közvetlen ezüstözése:* az alumínium mártóhorganyzását részletesen vizsgáltuk és annak eredményét az előbbiekben ismertettük. Közvetlen horganyra nem sikerült jól tapadó ezüstreteget leválasztani. E lemezek az ezüstbevonat részben azonnal, de 6 nap után kivétel nélkül felhólyagosodott.

*Alumínium mártóhorganyzása, rezezése és ezüstözése:* ismeretes, hogy az ezüst tapadása rézre, kiváló. Ezért a mártóhorganyzással bevont lemezeket ezüstözés előtt a következő fürdőben rezeztük:

- 120 g/l rézcianid
- 140 g/l nátriumcianid
- 1,5 g/l nátriumszulfát
- 4 g/l nátriumhidroxid
- 2 g/l ammóniumrodanid

Hőmérséklet: 20—25 °C, feszültség: 1 volt, időtartam: 25 perc. Az ezüstözést az ún. kemény-ezüst fürdőben, 30 perces végeztük. Az így kezelt próbalemezek gyorsított nedves-meleg kamrában 4—12 nap után felhólyagosodást mutattak. A lemezek igen nagy százaléka már a réz és ezüsfürdőből hólyagosan került ki. Ennek oka az, amint az a későbbiekben igazolódott, hogy a nagy karbonát- és lúgtartalmú rézfürdő megtámadja és részlegesen leoldja a vékony horganyréteget. Ahol a horganyréteg leoldódott, ott a rézréteg nem tapad.

Amikor a rezezést káliumnátriumtartarátot tartalmazó fürdőben végeztük, a felhólyagosodás teljesen megszűnt. A tartarátos rézfürdő és a rezezés körülményei a technológiai leírásban kerülnek ismertetésre.

### 4. Rétegvastagságok szerepe klímaállóság szempontjából

A következő kísérletek a sósködállóság növelését célozták. A mártóhorganyzás körülményeinek klímaállósági vizsgálatánál megállapítást nyert, hogy a lemezek a 7 napos sósköd-igénybevétel alatt erősen károsodnak. Ha a rezezési időt 40 percre, az ezüstözési időt 60 percre emeltük, akkor a mintalemezek a 7 napos sósköd-igénybevétel alatt lényeges károsodást nem szenvedtek.

A klímaállósági vizsgálat eredményét a 3. táblázatban foglaltuk össze. Az eredményeket a 2. ábra is szemlélteti.

### 5. Az alumíniumlemez összetételének hatása

A lemez ötvöző elemeitől függően az előkezelésnél változtatást kell végrehajtani. Az erre vonatkozó adatok a technológiai leírásban szerepelnek. A különböző előkezelést követő galván fémlévasztások alumínium, rézzel ötvözött alumínium próbalemezekre azonos módon történtek. Klímaigénybevételnél a két anyag-típus nem mutatott eltérést. Hasonlóképpen, ha hegesztett próbalemezekkel dolgoztunk, a hegesztés helye nem mutatott észlelhető különbséget klímaállóság szempontjából.

### 6. Klímaállósági vizsgálatok

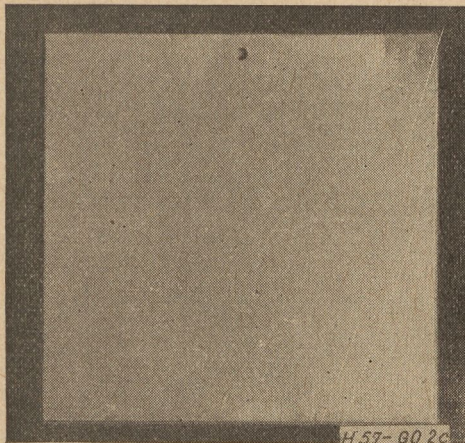
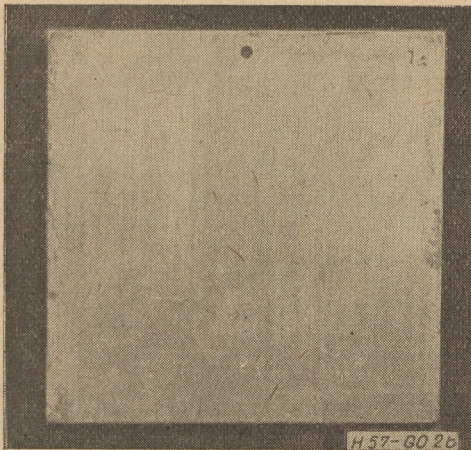
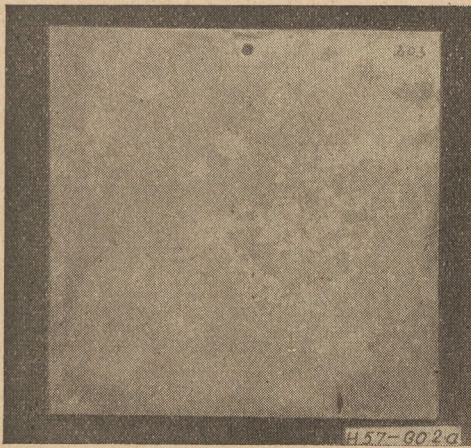
A klímaállósági vizsgálatokat az IEC 68. igénybevételi előírásainak megfelelően hajtottuk végre.

a) Gyorsított nedves-meleg igénybevétel. Az igénybevételi teret laboratóriumi hőmérséklet-ről, a lemezek behelyezése után, 55 °C-ra fűtöttük fel, majd 16 órán keresztül hőmérsékletét  $\pm 1$  °C értékkel ingadoztattuk. Az óránkénti ingadoztatások száma kb. 4,5—5 volt. Ezalatt a vizsgálati relatív légnedvessége 95—98% között változott. Ezt követően a fűtés megszüntetésével a vizsgálati teret ismét laboratóriumi hőmérsékletre hűtöttük vissza, miközben a tér relatív légnedvessége elérte a 100%-ot. A hűtés sebessége olymértvű volt, hogy közben a lemezekon kondenzáció nem keletkezhetett. Egy ciklus időtartama 24 óra. A második ciklus megkezdésekor a vizsgálati felfűtésének sebessége olymértvű, hogy a próbalemezekon közben kondenzáció lépett fel.

b) Tartam, nedves-meleg igénybevétel. Az igénybevételi tér hőmérséklete  $40 \pm 1$  °C, relatív légnedvessége 95—96%. Az igénybevételi tér hőmérséklet és relatív légnedvesség viszonyai a vizsgálat egész időtartama alatt a fent megjelölt határokon túlmenően nem változtak.

c) Sósköd igénybevétel. Az igénybevétel céljára aerosol rendszerű vizsgálati berendezést alkalmaztunk. Az igénybevételi tér hőmérséklete 24—30 °C között ingadozott. Sósköd előállításához a következő összetételű oldatot használtuk:

- 27 g nátriumklorid
- 6 g magnéziumklorid
- 1 g kalciumklorid
- 1 g káliumklorid



2. ábra. ezüstözött Al lemezek 7 napos sóskád vizsgálat után: a) rezezési idő 40 perc, ezüstözési idő 03 perc; b) rezezési idő 15 perc, ezüstözési idő 15 perc; c) rezezési idő 40 perc, ezüstözési idő 60 perc

desztillált vízzel egy literre kiegészítve. A ködporlasztó óránként 15 percre működött, a fennmaradó 45 percben az igénybevételi teret fűtve, annak hőmérsékletét 3 C°-kal emeltük.

#### IV. Technológia

Az ismertetett kísérletek alapján a 4. táblázatban összefoglalt, technológiát alakítottuk ki. Az így összeállított technológia szerint dolgozva, a selejt képződésének mértéke nem haladta meg a más galvanbevonatoknál megengedett mértéket.

#### V. Az ezüstözött alumínium mechanikai tulajdonságai

Ezüstözéssel az alumínium és alumínium-ötvözetek mechanikai tulajdonságai, így a szakítószilárdság, folyási határ nem változik. Terhelésre méretezett alkatrészeknél figyelembe kell venni, hogy a galvanizált darabok kifáradási határa kb. 10%-kal csökken.

Vizsgáltuk váltakozó hőmérsékleti igénybevételnél az ezüst bevonat viselkedését. Változva hirtelen 0 C° és + 80 C°-nak tettük ki a lemezeket. Elváltozást nem észleltünk. Az igénybevételt megismételtük -45 C° és +50 C°-on váltakoztatva. Elváltozást így sem észleltünk. Mindkét váltakoztatást 10 alkalommal ismételtük meg.

Magasabb hőmérsékleti igénybevételre is megvizsgáltuk az alumínium lemezeket. Kétszer 2 órán át 350 C°-on tartottuk. Az ezüst réteg enyhe elszíneződésén kívül elváltozást nem mutattak. Nem alkalmazható az ezüstözött alumínium ott, ahol a tárgy sorozatos deformációnak, vagy folyamatos ütődési igénybevételnek van kitéve.

#### IRODALOM

1. E. Meyer—Räsler: Verchromen von Leichtmetallzylinder Metalloberfläche, 5, S. a 33. (1951).
2. F. Keller—W. G. Zelle: Conditioning Aluminium Alloys for Electroplating J. Electrochem. Soc. 1950. ápr. p.: 143—151.
3. Wallbank A. W.: Production Plating of Aluminium Metal Industry 1952. máj. p.: 442—444.
4. G. L. J. Bailey: Electrodeposition on Aluminium a Study of the Zincote Process. Metal Finishing 49. 1951. dec. p: 66—67.
5. G. L. J. Bailey: Vernickeln von Aluminiumlegierungen Suppl. (1951). Book of A. S. T. M. Stand Teil 2, S. 287. A. S. T. M. B. 254—5 1T.
6. R. F. Hafer: Elektroplating on Aluminium Metal Progress (Cleveland), 1955. máj. 67. k. 5. sz.
7. Charles Etienne: Les applications du chromage sur de l'aluminium et de alliages. Revue de l'Aluminium 1954. ápr. p: 139—43.
8. Paige H. James J. H. Williams F. S.: How tough are nickel and chromium electroplates for aluminium. Product Engineering 1953. dec. p: 162—167.
9. H. W. Dettner: Elektroplattieren von Aluminium. Aluminium, 1957. okt.
10. J. Fischer: Die galvanotechnische Behandlung von Aluminium. Metalloberfläche, 3, S. B. 117, 134, (1949).

## Tranzistoros feszültségstabilizátorok

KEMÉNY ÁDÁM ÉS SAUFERT JÁNOS

Híradástechnika Ipari Kutató Intézet

II. rész

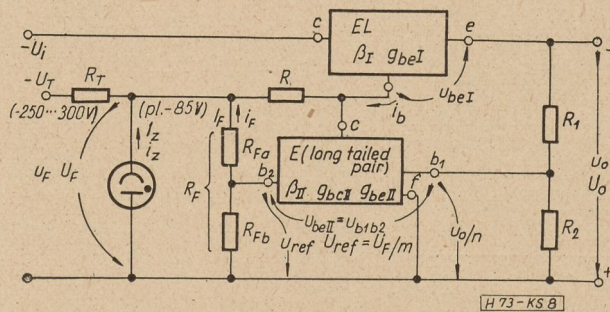
A három részből álló cikksorozat a tranzistoros soros szabályozó feszültségstabilizátorok működési elvével és méretezési szempontjaival foglalkozik. Az első részben a szerzők a használatos áramkörü megoldások működését és áramkörü analizisét tárgyalják. Az elméleti analizisnél a minőségre jellemző két egyformán fontos paraméter, a kimenő ellenállás és a szabályozási jóság kifejezését tűzték ki célul. Az irodalomból eddig csak a kimenő ellenállás kifejezésének módja ismeretes. A szerzőknek sikerült a szabályozási jóság kifejezésének módját is megoldani és ezzel a tranzistoros stabilizátorokra teljes értékű analizist fejlesztettek ki.

A második rész a két szabályozási paraméter műkapcsolásokkal való ideálissá tételét tárgyalja a hozzájuk tartozó analizissel együtt, amelyből a szerzők pontos méretezési formulákat vezetnek le.

A harmadik rész a különböző referenciafeszültségforrások kritikai összehasonlítását, az azokkal realizált kapcsolások vizsgálatát és a tervezési és méretezési problémákat tárgyalja.

### 8. A referenciafeszültség bemenő feszültségtől való függésének hatása a kimenőfeszültségre

Ha a referencia feszültséget a hálózati feszültségből (bemenő tápfeszültségből) állítjuk elő [2, 3, 4, 5, 7, 10] pl. Zener-diódával vagy parázfénylammával, akkor a tápfeszültség (hálózat) ingadozásával a referenciafeszültség is bizonyos mértékig ingadozni fog. Ez az ingadozás maga után vonja a kimenőfeszültség megváltozását is, holott a stabilizátor változatlan referenciafeszültség mellett teljesen ki tudná egyenlíteni a tápfeszültség kisebb ingadozásait. Ha a referenciafeszültséget állandónak tekintjük (1. 5. pontot), úgy az emitterkövető lánc relatíve alacsony  $h'_{22(I)}$  értéke miatt az  $s'$  szabályozási jóság igen nagy,  $10^4$  nagyságrendűnek adódik. A bemenő feszültségtől függő, fent említett referencia-forrásoknál a szabályozási jóságot emiatt első sorban a szabályozási jóságnak a bemenő tápfeszültségtől való függése szabja meg. Ez a probléma telep- vagy kis akkumulátorreferencia esetén, mivel azok a bemenő feszültségtől függetlenek, elesik; de ezek egyéb hibái miatt célszerű a Zener-dióda, ill. parázfény stabilizátor referenciaforrások alkalmazása.



8. ábra. Parázfénycső referencia és referencia osztólánc

Vizsgáljuk meg numerikusan, hogy a referenciafeszültség ingadozása milyen változást idéz elő a kimenőfeszültségnél. E célból a 8. ábrán egy parázfény-stabilizátorcsöves referenciafeszültségforrással ellátott kapcsolási vázlatot tüntettünk fel. A parázfénylammával párhuzamosan az  $R_F$  referencia-osztólánc van kapcsolva. Az osztásviszony változtatásával lehet a stabilizátor kimenőfeszültségét változtatni. Ha a cső égésfeszültsége  $U_F$ , úgy

$$U_0 = \frac{n}{m} \cdot U_F \quad (66)$$

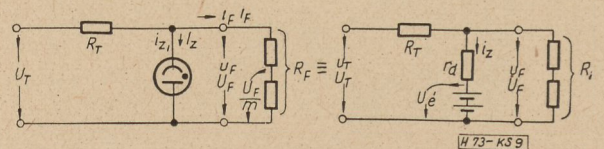
$$\text{ahol } m = R_F/R_{Fb} \quad (67)$$

a referencia-osztó osztásviszonya. A (66) egyenlet természetesen a váltakozó mennyiségekre is igaz:

$$u_0 = \frac{n}{m} \cdot u_F \quad (66a)$$

Az exact analizisnél figyelembe kéne venni magának a stabilizátor kapcsolásnak bemenőfeszültség függését. Előljáróban már említettük, hogy ez ( $s'$ )  $10^4$  nagyságrendű; míg a parázfénycsöves referenciafeszültség szabályozási jósága ennél legalább egy, de inkább két nagyságrenddel rosszabb. Így magának a stabilizátor kapcsolásnak hatásával itt nem foglalkozunk. Az exact analizist elvégeztük, és eredményül egy rendkívül hosszú kifejezést nyertünk, amely az ésszerű elhanyagolásokkal az itteni egyszerűbb analizis végeredményét adja.

A parázfénycső táplálására az  $U_F$  égésfeszültségénél lényegesen magasabb  $U_T$  segéd-tápfeszültség szolgál, a soros  $R_T$  tápellálláson keresztül.



9. ábra. Parázfénycsöves referenciaforrás és helyettesítő kapcsolása

Vizsgáljuk meg először, hogy a referenciafeszültségforrás rendszer önmagában véve milyen szabályozási jóságú. Ehhez felrajzoljuk a parázfénycsöves kapcsolás helyettesítő áramkörét, az 9. ábra szerint.

A parázfénycsövet az  $U_e$  égésfeszültséggel (katódésés) és a vele sorba kötött  $r_d$  differenciális ellenállással helyettesítettük. A differenciális ellenállás definíciója:

$$r_d = \frac{u_F}{i_z} \quad (68)$$

ahol  $u_F$  az égésfeszültség megváltozása az  $i_z$  kisülési áram megváltozásának hatására.

A 9. ábrára felírható hurokegyenletekből a referenciaforrás szabályozási jóságát

$$S^* = \left( \frac{dU_T}{dU_F} \right) = \left( \frac{u_T}{u_F} \right) = \frac{R_T}{r_d} + \frac{R_T}{R_F} + 1 \quad (69)$$

A következő lépésben a szabályozási jóságot a teljes stabilizátor  $U_0$  kimenőfeszültségére kell vonatkoztatnunk.

A változtatásokra felírt (66a) egyenletből  $u_F$ -et kifejezve

$$u_F = \frac{m}{n} u_0$$

A (69)-ből felírhatjuk, hogy

$$u_F = u_T / S^*$$

A két egyenlet jobb oldalát egyenlővé téve:

$$\frac{m}{n} u_0 = \frac{u_T}{S^*}$$

amelyből a keresett

$$\frac{u_T}{u_0} = S^* \cdot \frac{m}{n} \quad (70)$$

További lépést tesz szükségessé az, hogy a teljes rendszer szabályozási jóságát nem az  $U_T$  segéd tápfeszültség, hanem az  $U_i$  bemenő feszültség megváltoztatására kell felírunk.

Mivel úgy az  $U_i$ , mint az  $U_T$  tápfeszültségeket közös forrásról — a hálózatról — állítjuk elő a hálózati transzformátor megfelelő két szekunder feszültségének egyenirányításával, azok relatív változása egyforma. Így felírható, hogy

$$\frac{u_i}{U_i} = \frac{u_T}{U_T}$$

$$\text{ebből } u_T = u_i \frac{U_T}{U_i}$$

Ebben az esetben a (70) kifejezést átírhatjuk:

$$\frac{m}{n} \cdot S^* = \frac{u_T}{\mu_0} = \frac{u_i}{u_0} \cdot \frac{U_T}{U_i}$$

és ebből kaphatjuk végeredményünket a teljes rendszer  $s'$  szabályozási jóságára:

$$\begin{aligned} s' &= \left( \frac{u_i}{u_0} \right) = \frac{U_i}{U_T} \cdot \frac{m}{n} \cdot s^* = \\ &= \frac{U_i}{U_T} \cdot \frac{m}{n} \left( 1 + \frac{R_T}{R_F} + \frac{R_T}{r_d} \right) \end{aligned} \quad (71)$$

amelybe  $m$  és  $n$  (67), ill. (24) szerinti kifejezését beírva

$$s' = \left( \frac{u_i}{u_0} \right) = \frac{U_i}{U_T} \cdot \frac{R_F}{R_{Fb}} \cdot \frac{R_2}{(R_1 + R_2)} \left[ 1 + \frac{R_T}{R_F} + \frac{R_T}{r_d} \right] \quad (71a)$$

Vizsgáljuk meg eredményünket minőségi szempontból. A (69), ill. (71) egyenletekből egyértelműen látszik, hogy nagy szabályozási jóságot az  $R_T/R_F$  és az  $R_T/r_d$  viszonyok növelésével érhetjük el. Az 1 az  $R_T/r_d$  mellett elhanyagolható.

Hogy az  $R_T/R_F$  és  $R_T/r_d$  viszonyok nagyok legyenek, úgy is megfogalmazhatjuk, hogy a parázsfénylámpa „konstans áramú generátorról” nyerjen táplálást.

Ennek érthetőbbé tételére vizsgáljuk meg, hogy a (69) szerinti szabályozási jóság milyen szélsőértéket mutat, ha az  $U_T$ -vel mérték nélkül a végtelenhez közeledünk. Ehhez (69) kifejezést átírjuk a következő alakra:

$$\begin{aligned} R_T &= \frac{U_T - U_F}{I_Z + I_F} \text{ kifejezést behelyettesítve} \\ s^* &= 1 + \frac{U_T - U_F}{I_Z + I_F} \left( \frac{R_F + r_d}{R_F \cdot r_d} \right) = 1 + \\ &+ \frac{U_T - U_F}{I_Z + I_F} \left( \frac{1}{R_F} + \frac{1}{r_d} \right) \end{aligned} \quad (69a)$$

Az előbbieket szerint az  $1/R_F$  érték elhanyagolhatóan kicsinnyé válik  $1/r_d$ -hez képest; így  $1/R_F$ -et elhanyagolva, a kijelölt szorzások elvégzése után

$$S^* = 1 + \frac{U_T}{(I_Z + I_F)r_d} - \frac{U_F}{(I_Z + I_F)r_d}$$

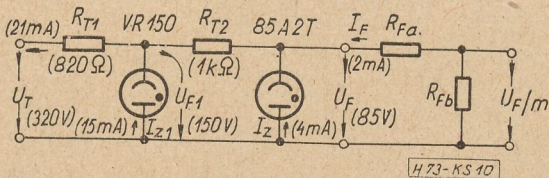
alakra jutunk.

Így a második, végtelen nagyságú tag mellett elhanyagolható lenne az első és harmadik tag. A szabályozási jóság tehát végtelen nagyra adódik. Értelmesebb az  $S$  relatív szabályozási jóság meghatározása ebből:

$$S_{max} = \left( \frac{u_T}{u_F} \cdot \frac{U_F}{U_T} \right) = \left( S^* \cdot \frac{U_F}{U_T} \right) = \frac{U_F}{(I_Z + I_F)r_d} \quad (72)$$

Ez már realizálható szélső érték. Világosan látszik ebből, hogy az  $I_F$  osztóáramot minél kisebbre kell választanunk a parázsfénylancs áramához képest. Az  $U_T/U_F$  lehetőleg nagy legyen.

$10^3$  nagyságrendű szabályozási jóság eléréséhez az  $U_T/U_F$  viszonytal feljebb kell mennünk, egészen 6...10 értékig, amely  $U_F = 85$  V esetében már csak  $U_T = 500...850$  V értékénél valósítható meg. Ilyen nagy feszültség egyenirányítása egyszerűen már csak vákuum egyenirányítóval gazdaságos. Láncha kapcsolt



10. ábra. Kaszkád parázsfénylámás, „előstabilizált” referenciefeszültségforrás

két parázsfény stabilizátorral a 10. ábra szerint, ennél alacsonyabb  $U_T$  tápfeszültségről is nagyobb szabályozási jóságot érhetünk el.

Hasonló a helyzet, ha parázsfénylampa helyett Zener-diódát használunk, hálózati táplálással, és a diórával paralel egy  $R_F$  referencia osztóval. A 8. és 9. ábrák helyesek maradnak, úgyszintén a fejezet összes levezetése, kifejezése is, abban az esetben, ha a parázsfénycső helyett a kapcsolásba záróirányban bekötött Zener-diódát helyettesítünk. Az  $U_F$  feszültség ilyenkor a zenerfeszültséget, az  $I_Z$  a zeneráramot jelenti.

Egyetlen Zener-dióda, mivel zenerfeszültsége 6 V körül van, nagyobb kimenőfeszültségekkel működő stabilizátorhoz nem alkalmas. Ilyenkor több diódát sorba lehet kötni. A zenerdiódák  $r_d$  értéke kb. 10 ohm. Több dióda sorbakapcsolása esetén az  $r_d$  értékek összeadódnak.

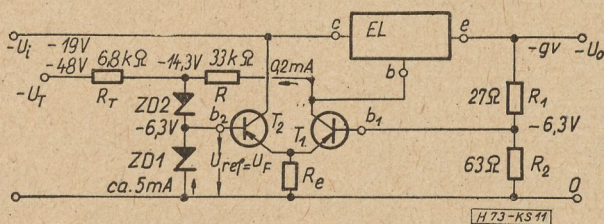
Kedvezőbb a helyzet fix feszültségű stabilizátoroknál, ahol a Zener-dióda mellett nem szükséges az  $R_F$  osztólánc, hanem a „long tailed pair” hibajelerősítő  $b_2$  bázispontja közvetlenül a Zener-diódához kapcsolódik, a 11. ábra szerint.

A „long tailed pair” fogyasztása ( $i_{b2}$  bázisáram) az  $I_Z$  zeneráram mellett elhanyagolható, akárcsak az előző esetekben az  $R_F$  osztó keresztáramához képest. Ilyenkor  $R_F = \infty$  és így a (69) kifejezés redukálódik az

$$S^* = 1 + R_T/r_d \approx R_T/r_d \quad (69b)$$

és a (71) kifejezés az

$$S' = \frac{1}{n} \cdot \frac{U_i}{U_T} \left( 1 + \frac{R_T}{r_d} \right) \approx \frac{U_i}{n \cdot U_T} \cdot \frac{R_T}{r_d} \quad (71b)$$

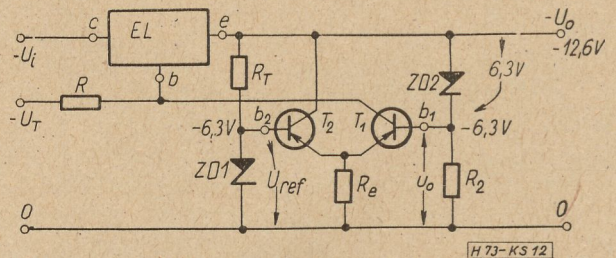


11. ábra. Stabilizátor a bemeneti segédfeszültségről táplált Zenerdiódás referencia-forrással és Zenerdiódás segédfeszültségstabilizálással

alakokra, tehát a referencia forrás szabályozási jósága az  $R_T/r_d$  feszültségosztó osztásviszonyával fog megegyezni. Világos, hogy itt is a „konstans áramú tápforrás” elvét kell megvalósítanunk, tehát  $R_T$ -t és így  $U_T$ -t is minél nagyobbra választani, míg  $r_d$ -t minél kisebbre.

A legkedvezőbb eset, amely különösen fix feszültségű stabilizátoroknál alkalmazható Zener-diódás referenciánál az, mikor a Zener-dióda tápellennállása a stabilizált kimenő feszültségre kapcsolódik. Ennek előnye, hogy a Zener-diódán fellépő áramváltozás és így a referencia feszültség megváltozása is gyakorlatilag zérus, és így elérhető a (36), ill. (37) kifejezések szerinti  $10^4$  nagyságrendű elméleti szabályozási jóság. Ilyen módon az előbbieknél lényegesen kisebb  $R_T$  értékkel is megelégedhetünk, másképpen az  $U_o$  stabilizált kimenőfeszültség (most a Zener-dióda tápfeszültsége is) és az  $U_F = U_{ref}$  közötti viszony kicsiny lehet, — a gyakorlatban  $U_o/U_F \approx 1,3 \dots 2$ . Minél kisebb ez az arány, annál közelebb állhat az  $R_1 - R_2$  kimentő osztó  $n$  osztásviszonya az egységhez, az  $n = U_o/U_{ref}$  kifejezés értelmében.

Célszerű az ilyen megoldást az 5. ábra szerinti kapcsolással kombinálni, ahol  $R_1$  helyében szintén Zener-dióda van, és így, bár a kimeneti osztó az egyenfeszültséget leosztja, a váltóáramú  $n$  osztásviszony egységnyi marad. Ilyen kapcsolást a 12. ábrán láthatunk.



12. ábra. Fix feszültségű stabilizátor a stabilizált kimenetről táplált Zener-diódás referencia-forrással és Zener-diódás kimeneti osztóval

### 9. A kimenőellenállás csökkentésének és zérussá tevésének kapcsolási módszere

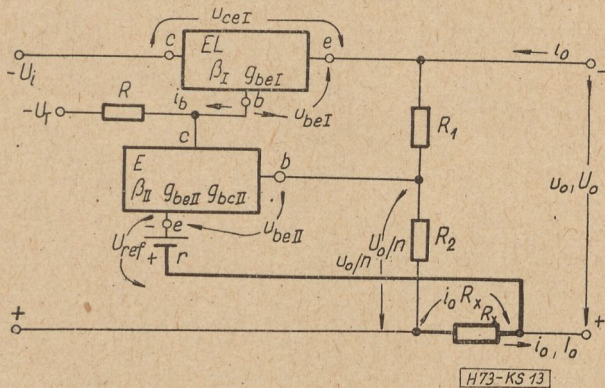
Eddigi eredményeinkből nyilvánvaló, hogy az eddig ismerttetett kapcsolásoknál a szabályozási paraméterek nem tehetők ideálissá, mert ahhoz a kapcsoláson belüli hurokerősítésnek végtelen nagynak kéne lennie. Ez a helyzet abban az esetben, ha a hibajelerősítőt egyedül a szabályozni kívánt mennyiség — tehát az  $U_o$  kimenő feszültség — megváltozása vezérli. A javításnak a „klasszikus” kapcsolásoknál nincsen elméleti határa — az emitterkövető lánc áramerősítési tényezőjének ( $\beta_1$ ), továbbá a hibajelerősítő  $A_u$  feszültség-erősítésének növelésével, esetleg kaszkádba kapcsolt több fokozatú hibajelerősítővel [8].

A határ inkább gyakorlati: a működés hőfokstabilitása, az áramkör mértéktelen bonyolódása és gazdasági kérdések szabják meg az ésszerű határt.

Egy új kapcsolási elv, a két paraméteres hibajelvezérlés lehetőséget ad arra, hogy a szabályozási paramétereket közel vagy teljesen ideálissá tegyük. Röviden, arról van szó, hogy a hibajelerősítőt ne csak  $U_o$  megváltozása vezérelje, hanem egy másik paraméter is, és pedig

- a) a kimenő ellenállás zérussá tévése esetén a kimenőellenállás (5) szerinti definíciójában szereplő másik mennyiség, a kimenő áram  $i_o$  megváltozása is; míg
- b) a szabályozási jóság végtelenné tétele esetén ugyanígy a másik változó mennyiség, az  $U_i$  bemenő feszültség  $u_i$  megváltozása is.

A hibajelerősítő bemenetén például, kellő arányban és nagyságban szuperponálva  $u_o$ -t és a másik változó mennyiséget, tökéletes szabályozást kaphatunk. Ha a másik mennyiség aránya az  $u_o$ -hoz túl nagy, úgy a túlszabályozás esete jön létre (negatív szabályozási paraméterek), míg ha az arány a kellő értéknél kisebb, a rendszer alul szabályozott lesz (pozitív szabályozási paraméterek).



13. ábra. A kimenő ellenállás zérussá tétele

Vegyük először az a) esetet, az  $r_o$  zérussá tévéseinek módszerét. A hibajel  $u_o$ -on kívüli második komponensének  $i_o$ -al arányos feszültségnek kell lennie. Ezt a legegyszerűbben a 13. ábra szerint valósíthatjuk meg, az  $R_x$  ellenállás beiktatásával, a kimenő kapocs alsó (pozitív) és a kimeneti osztó alsó pontja közé. Az  $R_x$  ellenálláson a teljes  $I_o$  terhelőáram

keresztül folyik, így rajta az  $i_o R_x$ , kimenő áramváltozással arányos feszültség esik, amely az  $u_o/n$  vezérlő hibafeszültséggel kapcsolódik sorba, mivel az  $U_{ref}$  referenciafeszültség alsó pontja az  $R_x$  fogyasztó-felőli végéhez csatlakozik.

Így az  $u_{beII}$  vezérlő feszültség, ha az erősítő felőli terheléstől eltekintünk,  $u_o/n - i_o R_x$  értékű lesz. Az  $i_o R_x$  hibajelkomponens olyan irányú, hogy az tovább csökkenteni igyekszik a terhelés változása által okozott kimenőfeszültség megváltozást. Így a kapcsolásba  $R_x$  segítségével egy negatív áramvisszacsatolást építünk be.

Az  $R_x$  megfelelő értéke mellett — amely néhány milliohm nagyságrendbe esik — a kimenő ellenállás zérussá tehető.

Nézzük meg mennyiségileg, hogyan befolyásolja  $R_x$  értéke a stabilizátor kimenőellenállását. Itt nem fogjuk figyelembe venni a  $R_B$  tápforrás belsőellenállás hatását, mivel a (10), (11) és (13), továbbá (38) és (39) kifejezések tanulsága szerint ez elhanyagolható. Ugyancsak elhagyjuk a hurokegyenletek felírásához a (31) egyenlet második tagját, mivel az  $r_o$  kiszámításánál a  $h'_{22(I)} \cdot u_{ceI}$  tag úgy is kiesik, definíció szerűen;

$$R(i_b - g_{bcII} u_{beII}) = u_{beI} + u_o \quad (28)$$

a baloldali kis huroknál, miként eddig is. Az alsó kis huroknál bejön az  $R_x i_o$  tag:

$$R_x i_o + \frac{u_o}{n} - u_{beII} - g_{bcII} \cdot u_{beII} \cdot r = 0 \quad (73)$$

A felső kis huroknál érvényben marad a

$$u_{beI} = \frac{-i_{eI}}{g_{beI}} = \frac{u_o}{nR_2} - i_o \quad (32)$$

kifejezés; míg a „nagy” huroknál (31) egyenletből az  $u_{ceI}$ -el szorzott tagot rögtön kiejtve

$$i_{eI} = i_o - \frac{u_o}{nR_2} = (1 + \beta_I) i_b \quad (74)$$

Fejezzük ki a (74) egyenletből  $i_b$ -t, a (73) egyenletből  $u_{beII}$ -t, és (32) szerint  $u_{beI}$ -et az (28) egyenletbe helyettesítve, rendezés után kapjuk a rendszer kimenő ellenállását:

A kimenő ellenállást egyszerűen úgy tehetjük

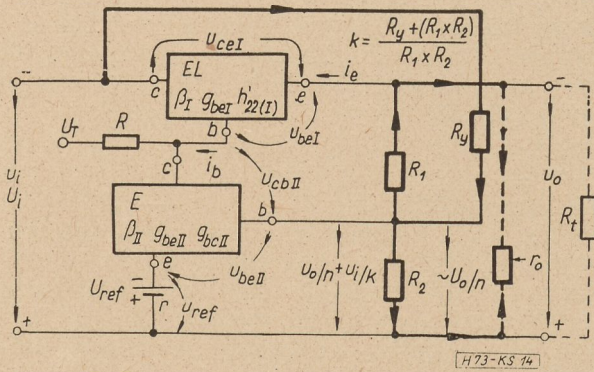
$$r_o = \left( \frac{u_o}{i_o} \right) = \frac{\frac{1}{g_{beI}} + \frac{R}{1 + \beta_I} - \frac{g_{bcII} \cdot R}{1 + g_{bcII} \cdot r} \cdot R_x}{1 + \frac{1}{nR_2} \left[ \frac{1}{g_{beI}} + \frac{R}{1 + \beta_I} \right] + \frac{g_{bcII} \cdot R}{n \cdot (1 + g_{bcII} \cdot r)}} \quad (75)$$

zérussá, ha a számlálót zérussá tesszük. Ilyenkor

$$\begin{aligned} R_{x(o)} &= \frac{1 + g_{bcII} \cdot r}{g_{bcII} \cdot R} \left[ \frac{1}{g_{beI}} + \frac{R}{1 + \beta_I} \right] = \\ &= \frac{1}{A_\mu} \left[ \frac{1}{g_{beI}} + \frac{R}{1 + \beta_I} \right] \quad (76) \end{aligned}$$

Ha ismét élünk az ésszerű elhanyagolásokkal, miként az (5) fejezetben (34) kifejezésnél tettük:

$$r_o = \frac{n}{A_\mu} \left( \frac{1}{g_{beI}} + \frac{R}{\beta_I} - A_u R_x \right) \quad (75a)$$



14. ábra. A szabályozási jóság végtelenné tétele

tehát az  $r_o$  (35) szerinti kifejezése a  $- A_\mu R_x$  taggal bővült.

Mivel a  $g_{beI}$  és  $\beta_I$  a terhelő áramtól erősen függenek az emitterkövető láncnál, ilyen módon csak egy bizonyos terhelőáramnál lehet teljesen zérussá tenni a kimenőellenállást. Változó terhelésű stabilizátoroknál ez az áram célszerűen a közepes terhelő áramra választandó. Ettől kisebb terhelőáramnál a kimenőellenállás negatív, míg nagyobb áramoknál pozitív.

10. A szabályozási jóság növelésének és végtelenné tételének kapcsolási módszere

Az alapelv teljesen hasonló az  $r_o$  zérussá tevésénél követett módszerhez. Az előző fejezet *b*) pontja szerint  $u_o/n$  hibajelkomponensre itt a bemenő feszültség megváltozásával arányos második vezérlő komponenszt kell szuperponálnunk,  $u_i/k$ -t, mint azt meg látjuk. Helyes irányítás esetén a szabályozási jóság nő, elérheti a végtelent, majd magas negatív értékbe csap át, az  $u_i/k$  második vezérlő komponens fokozatos növelésével  $u_o/n$ -hez képest.

$$S' = \left( \frac{u_i}{u_o} \right) = \frac{1 + \frac{1}{nR_2} \left[ \frac{1}{g_{beI}} + \frac{R}{1 + \beta_I} \right] + \frac{A_\mu}{n} + \frac{R \cdot h'_{22(I)}}{1 + \beta_I}}{\frac{R \cdot h'_{22(I)}}{1 + \beta_I} - \frac{A_\mu}{k}} \quad (79)$$

A 4. ábra egyszerű kapcsolására vonatkozó (36) kifejezés nevezője tehát a  $- A_\mu/k$  taggal bővült. — Az előbbieket szerinti jó közelítéssel:

$$s' = \left( \frac{u_i}{u_o} \right) = \frac{k \beta_I A_\mu}{n (k \cdot R \cdot h'_{22(I)} - \beta_I A_\mu)} \quad (80)$$

Az  $s'$  szabályozási (simítási) viszony úgy lesz végtelen, ha a nevezőt zérussá tesszük akár (79), akár (80) kifejezésnél.

A legegyszerűbb kapcsolási megoldást a 14. ábra mutatja. Ez a 4. ábra alapkapsolásátó csak egyetlen  $R_y$  ellenállás alkalmazásában különbözik, amelyen keresztül a stabilizátor  $U_i$  tápfeszültség bemenő pontját a hibajel-erősítő bemenetére (a kimeneti osztó közepére) kötöttük. Így a bemenő feszültség  $u_i$  megváltozása részére egy osztót képeztünk, melynek felső tagja  $R_y$ , míg alsó tagja az  $R_1$  és  $R_2$  ellenállások paralel kötéséből eredő ellenállás. A kimeneti osztó ellenállásai azért kapcsolhatók paralel az  $u_i$  szempontjából, mivel a stabilizátor  $r_o$  kimenő ellenállása söntöli az osztó két végpontját (az ábrán szaggatottan jelölve), és ennek értéke milliohm nagyságrendű, tehát  $R_1 \times R_2$ -vel sorban rövidzárnak tekinthető. Így a feszültségosztó osztásviszonya:

$$k = \frac{R_y + (R_1 \times R_2)}{R_1 \times R_2} \quad (77)$$

( $A \times$  — replusz — jel itt az ellenállások paralel eredőjét szimbolizálja.)

Az analízist ismét a hurokegyenletek felírásával kezdjük. A 4. ábrára vonatkozó, 5. fejezet szerinti egyenletek: a (28), (30), (31), ill. (31a), végül a (32) kifejezések változatlanul érvényesek;\* egyedül (29) bővül egy taggal:

$$u_{beII} = \frac{u_o}{n} - g_{beII} \cdot u_{beII} \cdot r + \frac{u_i}{k} \quad (78)$$

A (78) és a fent említett 5. fejezet alap-egyenleteinek megoldásából, ha az  $u_i$ -t tesszük zérussá, a kimenőellenállás adódik, amely meg-egyezik a 4. ábrára vonatkozó (34) egyenlettel. A simítási viszonyt megkapjuk, ha a rendszer működési egyenletében az  $i_o$ -t tesszük zérussá:

$$k_{(\infty)} = \frac{\beta_I \cdot A_\mu}{R \cdot h_{22(I)}} \quad (81)$$

Az így kiszámított  $k$  értékből meghatározható az  $s' = \infty$ -hez tartozó  $R_y$  érték:

$$R_{y(\infty)} = (k_{(\infty)} - 1) \cdot \frac{R_1 \cdot R_2}{R_1 + R_2} \quad (82)$$

Itt is, tekintve, hogy a tranzisztorok paramétereit erősen terhelésfüggőek, csak egy bizonyos terhelő áramnál lehet a szabályozási jóságot végtelenné tenni. Célszerűen  $R_y$  értékét is közepes terhelő áramnál és a névleges bemenő (hálózati) feszültségénél kell kísérletileg beállítanunk. Ugyanúgy, mint  $R_x$  alkalmazásánál, itt sem ajánlatos egy kis hurokerősítési

\* Az  $R_y$ -on folyó áramot  $R_1$  és  $R_2$ -n keresztül folyó áramhoz képest elhanyagolhatjuk, mivel  $R_y$  kb. 2 nagyságrenddel nagyobb, mint  $R_1 + R_2$ .

(rossz paraméterekkel bíró) rendszert így „feljavítani”, mivel akkor az egy pontban végtelenné tett szabályozási jóság, a terhelést megváltoztatva, nagyon rohamosan fog romlani; míg eleve jó szabályozási paraméterekkel bíró alapszabályozásnál a szabályozási jóság szélső értékei a terhelés szélső értékeire vonatkoztatva sokkal szűkebb határokon belül változnak. Ugyanez vonatkozik a kimenő ellenállásra is.

$$S' = \left( \frac{u_i}{u_o} \right) = \frac{1 + \frac{A_u}{n} + \frac{1}{nR_2} \left[ \frac{1}{g_{beI}} + \frac{R}{1 + \beta_I} \right] + \frac{R \cdot h'_{22(I)}}{1 + \beta_I}}{\frac{R \cdot h'_{22(I)}}{1 + \beta_I} - \frac{A_u}{k} + \frac{U_T}{U_i} \cdot \frac{A_u}{m \cdot S^*}} \quad (83)$$

A kifejezés formailag azonos (79)-cel, de a nevező egy új taggal bővült, amely nem más, mint a (71) kifejezés reciproka,  $A_u$ -val szorozva. Az  $S^*$  a (69)-nek megfelelő. Az ésszerű egyszerűsítéseket itt is elvégezve:

$$S' = \left( \frac{u_i}{u_o} \right) = \frac{1}{n \left[ \frac{R \cdot h'_{22(I)}}{A_u \cdot \beta_I} + \frac{U_T}{U_i} \cdot \frac{1}{m} \cdot \frac{1}{S^*} - \frac{1}{k} \right]} \quad (83a)$$

Az  $S' = \infty$ -hez tartozó helyzet akkor áll elő, ha a nevezőt zérussá tesszük, tehát, ha  $S^*$ -nél az egyszerűsített (69b) kifejezést használva:

$$S' \rightarrow \infty, \text{ ha } \frac{R \cdot h'_{22(I)}}{A_u \cdot \beta_I} + \frac{U_T}{U_i} \cdot \frac{1}{m} \cdot \frac{r_d}{R_T} \cong \frac{1}{k(\infty)} \quad (84)$$

A (84.) képlet baloldalán az első tagot elhanyagolhatjuk és az így adódó  $k(\infty)$ -hez meghatározható az  $R_{y(\infty)}$ , amely jó közelítéssel ( $n \cong 1$  feltétellel)

$$R_{y(\infty)} \cong R_1 \cdot \frac{R_F}{R_{Fb}} \cdot \frac{R_T}{r_d} \cdot \frac{U_i}{U_T} \quad (85)$$

A (85) kifejezésből egy érdekes következtetést lehet még levonni. Változtatható kimenő feszültségű, nagy átfogású stabilizátoroknál az  $U_i$ -t fokozatosan át kell kapcsolni, és emiatt  $U_i/U_T$  arány sávonként változik, tekintettel arra, hogy az  $U_T$  segéd feszültség — pl. a parázsfény stabilizátor cső részére — állandó kell, hogy legyen. Ezért a végtelen szabályozási jóság kritériumát ilyen esetben csak egyetlen sávnál lehet biztosítani. Ebben az esetben a 8. ábra szerinti kapcsolás kivitelezése nem célszerű, hanem a referenciaforrásnál a 10. ábra szerinti kaskád parázsfénylámpa (vagy Zener-dióda) kapcsolás szerinti előstabilizálást alkalmazhatjuk. — Másrészt, mivel az  $S' = \infty$  helyzet  $m$ -től is függ, változtatható feszültségű kapcsolásoknál a referenciafeszültség nagyfokú előstabilizálása mindenképpen szükséges.

A fenti levezetés arra az esetre érvényes, ha a referenciafeszültség független a (hálózati) tápfeszültségtől. A 8. fejezetben tárgyalt referenciaforrások esetén — a 12. ábra szerinti kapcsolást kivéve — a helyzet sokkal bonyolultabb, és lényegesen kisebb  $R_y$  érték kell az  $S'$  végtelenné tételéhez, mint az előbb tárgyalt esetben. A pontos analízis elvégzése hosszadalmas. Ezért az általunk levezetett végeredmény közlésére szorítkozunk:

### 11. A kimenőfeszültség tartomány kiterjesztése a zérus felé [2]

Tranzisztoros feszültség stabilizátoroknál szükségünk lehet egészen alacsony — közel zérus — stabilizált feszültségre is. Így tehát a kimenőfeszültség-tartomány alsó határát ki kell terjesztenünk a zérus felé. Vizsgáljuk meg ennek lehetőségét. E végből vegyük szemügyre a 15. ábrán levő kapcsolási vázlatot. Az ábráról leolvasható az alábbi egyenfeszültségek közötti összefüggés

$$U_o/n = U_F/m + U_{b_1b_2} \quad (86)$$

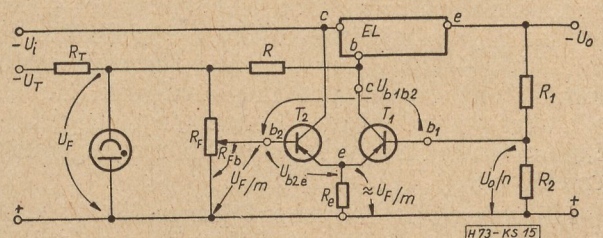
A kimenőfeszültség változtatásához itt az  $m$  osztásviszony értékét változtatjuk, amely szélsőértékben lehet végtelen is (a  $b_2$  pont potenciálja zérus) és így írható, hogy

$$U_o/n = U_{b_1b_2}$$

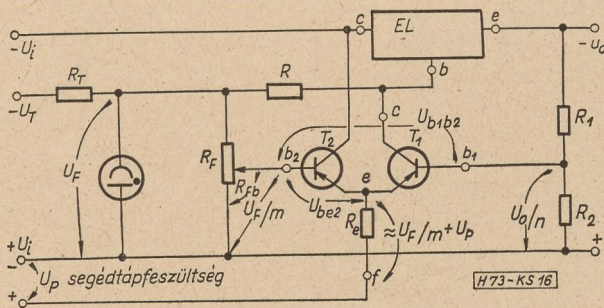
azaz:

$$U_o = nU_{b_1b_2} \quad (87)$$

Tekintve, hogy az  $U_{b_1b_2}$  értéke nagyon kicsiny, mert a „long-tailed pair” két tranzisztorának bázis-emitter feszültségei egymással szembe vannak egyenfeszültség szempontjából kapcsolva és az  $n$  értéke is az egység körül van, az  $U_o$  értéke is kicsi lesz. Sajnos ez így nem igaz, mert ha a  $b_2$  pont közel zérus potenciálra kerül, akkor a „long-tailed pair” tranzisztorai „leülnek” és így a készülék a hibajelerősítés hiányában nem fog működni. Ezen úgy segítünk, ha az  $e$  pont potenciálját a zérusnál valamivel pozitívebbre vesszük. Ez a módosított kapcsolás a 16. ábrán látható. Itt jegyezzük meg, hogy ahhoz, hogy a „long-



15. ábra. A legkisebb kimenőfeszültség létrejövése



16. ábra. A kimenő feszültség zérusig való leszábozása

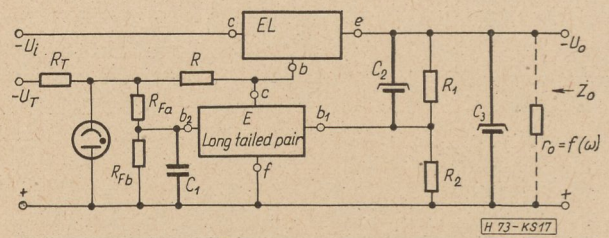
tailed pair”, mint emitter-követő, működés képes legyen, az  $R_E$  értéke nem lehet tetszőlegesen kis értékű. A jó működéshez fenn kell állnia az  $R_E \gg 1/g_{be12}$  egyenlőtlenségnek. Tehát, hogy az  $e$  pont megfelelő pozitív potenciálra kerüljön, ahhoz az  $R_E$  ellenállást elég nagy pozitív segéd feszültségre kell kötni az  $R_E$ -n való feszültségés miatt.

A 16. ábra kapcsolásával és a pozitív segéd feszültség helyes megválasztásával a  $b_2$  pont a zérus potenciálra ( $m$  értéke végtelen) kerülhet anélkül, hogy a „long-tailed pair” tranzisztorai leülnének és így érvényben marad a (87) képlet. Ha a két tranzisztor nagyon jó közelítéssel egyforma és a munkaponti beállításuk is jó közelítéssel azonos, akkor az  $U_{b1b2}$  nagyon kis értékű. Így a pozitív segéd feszültség alkalmazásával a kimenő feszültség értéke néhány század V-ig is lecsökkenthető.

12. A zúgó feszültség és a nagyfrekvenciás viselkedés kérdései

Tekintettel arra, hogy a zúgó feszültség frekvenciája (50—100 Hz) jóval a soros teljesítmény-tranzisztor  $f_\beta$  levágási frekvenciája alatt van, így a stabilizátor bemenetére jutó zúgó feszültség szempontjából is érvényesek mindazok a változásokra felírt eredmények, melyeket a stabilizátor jellemzésére eddig levezettünk, tehát a tápegyenirányító kimenetén megjelenő hullámosságot a stabilizátor  $S^2$ -szeresen csökkenti le. Mégis, hogy a kimenő feszültség hullámosságát egész alacsony szinten tudjuk tartani, ahhoz a tápfeszültséget is szűrni kell. A tápfeszültség szűrése szükséges még azért is, mert ha ezt nem tesszük, akkor a zúgó feszültség amplitudója a stabilizátor bemenetén olyan nagy lehet, hogy alacsonyabb hálózati feszültség és teljes terhelés esetén a zúgó feszültség egyik félperiódusában a stabilizátor kiesik a szabályozásból — holt még a terhelés változásra a stabilizátor jól működne — és a zúgó feszültség a stabilizátor kimenetén ugrásszerűen megnövekszik. Emiatt a tápegyenirányító kimenetén megjelenő hullámosságnak egy legnagyobb megengedhető értéke van (I. III. rész).

Ha referencia forrásként Zener-diódát vagy parázsfénycsövet (tehát hálózati ingadozástól függő referencia forrást) alkalmazunk, akkor a



17. ábra. A zúgó feszültség csökkentése és a nagyfrekvenciás kimenő ellenállás csökkentése

zúgó feszültség a kimeneten az  $u_o = u_F \cdot n/m$  (66a) szerint jelenik meg. Ezt elkerülhetjük a referencia feszültség alapos szűrésevel. A 17. ábra szerint nagyon hasznos a referencia feszültség szűrése közvetlenül a hibajelerősítő bemenete előtt is.

A  $C_2$ -es kondenzátor zúgó feszültség szempontjából az  $R_1$  osztóellenállást rövidrezárja és így a kimeneten megjelent teljes zúgó feszültség rákerül a hibajelerősítőre. A szabályozási jóság tehát a zúgó feszültségre nézve  $n$ -szer jobb, mint a lassú váltakozásokra ( $n$  a kimenő osztó osztályviszonya). Mivel az  $n = 1,2 \dots 1,3$  körüli érték, így 20—30%-os zúgó feszültség csökkenést érhetünk el a  $C_2$  kondenzátor alkalmazásával.

A  $C_3$  nagyértékű (1—2000  $\mu F$ ) elektrolit kondenzátor reaktanciája 1—2 ohm körüli a zúgó feszültség frekvenciáján és a stabilizátor kimenő ellenállása néhány mohm, így a  $C_3$  a zúgó feszültséget gyakorlatilag nem szűri. A  $C_3$  szerepe a gyors terhelésváltozások esetén fontos — a változás gyorsaságát  $f_\beta$  felett már soros teljesítmény-tranzisztor nem tudja követni. Amíg a stabilizátort olyan lüktető egyenárammal terheljük, amelynek a frekvenciája messze a soros teljesítmény-tranzisztor  $f_\beta$  levágási frekvenciája alatt van, addig a változásokra levezetett képletek érvényesek. A levágási frekvencia fölött, ahol a soros tranzisztor  $\beta$ -ja és meredeksége rohamosan csökken, ott a stabilizátor paraméterei nagymértékben romlanak. A kimenő ellenállás értéke a frekvencia növekedésével gyorsan nő; a simítási viszony — illetve a szabályozási jóság — pedig rohamosan csökken. Éppen ezt a hibát javítjuk ki a  $C_3$  kondenzátorral. Ha pl. a soros tranzisztor levágási frekvenciája 10 kHz, akkor ezen a frekvencián a  $C_3$  által képviselt reaktancia

$$X_{c3} = \frac{1}{2\pi \cdot 10^4 \cdot 10^{-3}} = 16 \text{ mohm és ez az}$$

érték sőtöli a stabilizátor megnövekedett kimenő ellenállását.

Így a 17. ábrán bemutatott elv alapján készített stabilizátor jól működik az  $f_\beta$  fölötti terhelésváltozásokra is.

(Az irodalomjegyzéket lásd a cikknek a f. évi 3. számában megjelent I. részénél.)

(Folytatjuk)

## Mozgó pontok jelátviteli problémájáról

CSURGAY ÁRPÁD  
Távközlési Kutató Intézet

A dolgozat a mozgó pontok jelátviteli problémáját a speciális relativitás elmélet keretein belül általánosan vizsgálja, nem téve megkötést a jelátviteli csatornával összekötendő pontok relatív sebességének nagyságára. Meghatározza a mozgó antennák amplitudó és frekvencia iránykarakterisztikáit és az átvitt információt (időfüggvényt). A befejező részben néhány speciális esetben példákon mutatja meg a nagysebességű jelátvitelnél felmerülő problémákat.

### 1. Bevezetés

Mivel a relativitás elmélet szerint az anyagi testek számára elérhető maximális sebesség a fény terjedési sebessége ( $3,10^8$  m/sec), a mozgó pontok jelátviteli problémájának általános vizsgálatában az összekötendő pontok relatív sebessége 0 és a fénysebesség között bármilyen értéket felvehet.

A probléma vizsgálatánál eddig hallgatólagosan mindig feltették, hogy az összekötendő két pont relatíve nyugalomban van, vagy legalábbis relatív sebességük az elektromágneses hullámok terjedési sebessége mellett elhanyagolható, tehát a viszonyok a klasszikus Doppler-elv alkalmazásával vizsgálhatók. (Pl.: Rádiólokáció: mozgó céltárgyak felderítése.) Ez a feltevés természetes, mert az összekötendő pontok teljesítik ezt a feltételt. Még a második kozmikus sebességgel induló rakéta sebessége is csak 0,04 ezreléke a fénysebességnek.

Ennek ellenére a mozgó pontok jelátviteli problémájának általános vizsgálata érdekes, mert egyrészt megmutatja a klasszikus közelítések érvényességének határát, másrészt pedig rámutat a közel fénysebességgel haladó relativisztikus rakéták — amelyek megvalósítása a közlemények egybehangzó véleménye szerint a távoli jövő reális lehetősége — jelátviteli problémáira.

A következőkben a relatív sebesség nagyságára nem téve megkötést, megvizsgáljuk, hogy  $v$  relatív sebességű jelátviteli pontok esetén az adóba adott  $f_A(t')$  időfüggvényt milyen  $f_B(t)$  időfüggvényként észleli a vevő. Annak, hogy erre a kérdésre választ adjunk, előfeltétele a nagy sebességű antennák elektromágneses terének ismerete. Ezért először ezt a kérdést vizsgáljuk meg és csak azután térünk rá az átvitt időfüggvény meghatározására.

### 2. Nagysebességű antennák elektromágneses tere

2.1. A válaszra váró kérdés: Milyenek észleli egy  $B$  vevőantenna a hozzá képest  $v$  relatív sebességgel mozgó  $A$  adóantenna terét?

Tegyük fel, hogy az  $A$  adóantenna egy  $K'$  koordinátarendszer origójában nyugszik és elek-

tromágneses hullámokat sugároz. A  $K'$  koordinátarendszerben az antenna létrehozta elektromágneses teret írjuk le az  $\mathbf{E}'(\mathbf{r}', t')$  és  $\mathbf{B}'(\mathbf{r}', t')$  vektorfüggvényekkel.

A  $K'$  koordinátarendszer mozogjon a  $K$  koordinátarendszerben, melynek  $x$  tengelye az  $x'$  tengely irányába mutasson, a mozgás iránya az  $x$  irány legyen. A  $B$  vevőantenna a  $K$  koordinátarendszerben legyen nyugalomban és helyzetét  $\mathbf{r}_0$  helyzetvektor jellemezze (1. ábra).

Tegyük fel továbbá azt is, hogy a  $t = t' = 0$  időpillanatban a  $K$  és  $K'$  koordinátarendszer origói egybeesnek.

Kérdés: Milyenek észleli az elektromágneses teret a  $B$  megfigyelő? Mivel egyenlők az  $\mathbf{E}(\mathbf{r}_0, t)$  és  $\mathbf{B}(\mathbf{r}_0, t)$  függvények? Ismeretes, hogy a  $K$  és  $K'$  koordinátarendszerek közötti kapcsolatot a Lorentz transzformáció írja le. Ha egy térben pontszerű, időben pillanatszerű eseményt a  $K$  koordinátarendszerben  $x, y, z, t$  jellemeznek, akkor ugyanazt az eseményt a  $K'$  koordinátarendszerbeli megfigyelő  $x', y', z', t'$  „helyen” észleli.

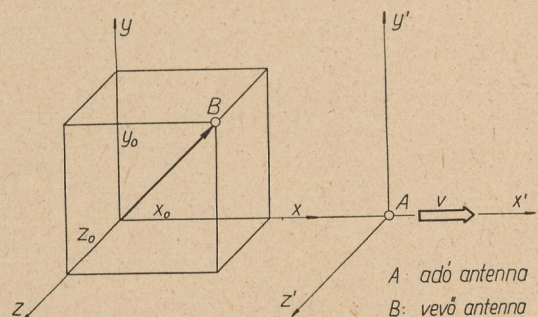
Az  $x, y, z, t$  és az  $x', y', z', t'$  értéknégyesek közötti kapcsolat:

$$\begin{aligned} x' &= \kappa(x - vt) \\ y' &= y \\ z' &= z \end{aligned} \quad (2)$$

$$t' = \kappa\left(-\frac{v}{c^2}x + t\right)$$

ahol:

$$\kappa = \frac{1}{\sqrt{1 - \left(\frac{v}{c}\right)^2}} \quad (3)$$



1. ábra

Ismeretes továbbá, hogy ha az elektromágneses teret a  $K'$ -ban  $\mathbf{E}'$  és  $\mathbf{B}'$  írja le, akkor a  $K$  rendszerbeli megfigyelő:

$$\mathbf{E} = f(\mathbf{E}', \mathbf{B}') = \begin{pmatrix} E_x \\ E_y \\ E_z \end{pmatrix} = \begin{pmatrix} E'_x \\ \kappa(E'_y + vB'_z) \\ \kappa(E'_z - vB'_y) \end{pmatrix} \quad (4)$$

$$\mathbf{B} = f(\mathbf{E}', \mathbf{B}') = \begin{pmatrix} B_x \\ B_y \\ B_z \end{pmatrix} = \begin{pmatrix} B'_x \\ \kappa \left( B'_y - \frac{v}{c^2} E'_z \right) \\ \kappa \left( B'_z + \frac{v}{c^2} E'_y \right) \end{pmatrix} \quad (5j)$$

teret észlel.

Az antenna terét a vele együttmozgó koordinátarendszerben ismerjük,  $\mathbf{E}'$  és  $\mathbf{B}'$  tehát ismeretek. A  $K$ -ban észlelt tér (amit a vevőantenna észlel) (4) és (5) egyenletekből meghatározható.

2.2. *Elemi dipólus elektromágneses tere  $K$ -ban és  $K'$ -ban*

Jelölje  $\mathbf{p}$  az  $l'$  irányú és  $l'$  hosszú elemi dipólus nyomatékát.

A problémához tartozó Hertz vektor:

$$\mathbf{H}' = \frac{\mathbf{l}'}{4\pi\epsilon_0} \int \frac{I \left( t' - \frac{r'}{c} \right)}{r'^2} ds' \quad (6)$$

Ebből:

$$\mathbf{E}' = -\epsilon\mu \frac{\partial^2 \mathbf{H}'}{\partial t'^2} + \text{grad div } \mathbf{H}' \quad (7)$$

$$\mathbf{B}' = \epsilon\pi \frac{\partial}{\partial t'} \text{rot } \mathbf{H}' \quad (8)$$

A továbbiakban csak az antenna távoli terének vizsgálatára szorítkozunk. (Az  $\frac{l}{r}$  szerint változó tagok mellett az  $\frac{l}{r^2}$  és  $\frac{l}{r^3}$  szerint változó tagokat elhanyagoljuk.) Így kapjuk:

$$\mathbf{E}' = \frac{\mu_0}{4\pi r'} (\ddot{\mathbf{p}} \times \mathbf{r}^{o'})_{(t-\frac{r'}{c})} \times \mathbf{r}^{o'} \quad (9)$$

$$\mathbf{B}' = \frac{\mu_0}{4\pi cr'} (\ddot{\mathbf{p}} \times \mathbf{r}^{o'})_{(t-\frac{r'}{c})} \quad (10)$$

ahol

$$\mathbf{r}^{o'} = \frac{\mathbf{r}'}{r'} \quad (11)$$

2.2.1. A dipólus nyomatéka  $y'$  irányú.  $\mathbf{i}'$  az  $x'$ ,  $\mathbf{j}'$  az  $y'$  és  $\mathbf{k}'$  a  $z'$  irányba mutató egységvektort jelent.

$$\mathbf{p} = p_0 \mathbf{j}' e^{j\omega' t} \quad (12)$$

Ha (12)-t (9)-be és (10)-be behelyettesítjük, kapjuk:

$$\mathbf{E}' = \frac{\mu_0 \omega'^2 p_0}{4\pi r'} \left( \mathbf{j}' \times \frac{\mathbf{r}'}{r'} \right) \times \frac{\mathbf{r}'}{r'} e^{j\omega' \left( t - \frac{r'}{c} \right)} \quad (13)$$

$$\mathbf{B}' = \frac{\mu_0 \omega'^2 p_0}{4\pi cr'} \left( \mathbf{j}' \times \frac{\mathbf{r}'}{r'} \right) e^{j\omega' \left( t - \frac{r'}{c} \right)} \quad (14)$$

Jelöljük a  $\frac{\mu_0 \omega'^2 p_0}{4\pi} t$   $A$ -val és helyettesítsük be az

$$\mathbf{r}' = x' \mathbf{i}' + y' \mathbf{j}' \quad (15)$$

(a térerősségeket az általánosság megrövidítése nélkül csak a  $z' = 0$  síkban vizsgáljuk).

$$\mathbf{E}' = \frac{A}{r'^3} (x' y' \mathbf{i}' - x'^2 \mathbf{j}') e^{j\omega' \left( t - \frac{r'}{c} \right)} \quad (16)$$

$$\mathbf{B}' = -\frac{A}{r' c r'} x' \mathbf{k}' e^{j\omega' \left( t - \frac{r'}{c} \right)} \quad (17)$$

Ha bevezetjük  $x', y'$  helyett az  $r', \varphi'$  koordinátákat, ahol  $\varphi'$  jelenti az  $(x', y')$  pontnak a mozgás irányával bezárt szögét, és  $\mathbf{E}', \mathbf{B}'$  vektorokat derékszögű komponensekre bontjuk, akkor kapjuk:

$$\mathbf{E}' = \begin{pmatrix} E'_x \\ E'_y \\ E'_z \end{pmatrix} = \begin{pmatrix} \frac{A}{r'} \cos \varphi' \cdot \sin \varphi' \cdot e^{j\omega' \left( t - \frac{r'}{c} \right)} \\ -\frac{A}{r'} \cos \varphi' \cdot \cos \varphi' \cdot e^{j\omega' \left( t - \frac{r'}{c} \right)} \\ 0 \end{pmatrix} \quad (18)$$

$$\mathbf{B}' = \begin{pmatrix} B'_x \\ B'_y \\ B'_z \end{pmatrix} = \begin{pmatrix} 0 \\ 0 \\ -\frac{A}{cr'} \cos \varphi' \cdot e^{j\omega' \left( t - \frac{r'}{c} \right)} \end{pmatrix} \quad (19)$$

Ha (18) és (19)-et behelyettesítjük (4) és (5) egyenletekbe, akkor kapjuk a  $K$ -ban észlelt  $\mathbf{E}$  és  $\mathbf{B}$  vektorokat:

$$\mathbf{E} = \begin{pmatrix} E_x \\ E_y \\ E_z \end{pmatrix} = \begin{pmatrix} \frac{A}{r'} \cos \varphi' \cdot \sin \varphi' \cdot e^{j\omega' \left( t - \frac{r'}{c} \right)} \\ -\frac{A}{r'} \cos \varphi' \cdot \kappa \left( \cos \varphi' + \frac{v}{c} \right) \cdot e^{j\omega' \left( t - \frac{r'}{c} \right)} \\ 0 \end{pmatrix} \quad (20)$$

$$\mathbf{B} = \begin{pmatrix} B_x \\ B_y \\ B_z \end{pmatrix} = \begin{pmatrix} 0 \\ 0 \\ -\frac{A}{cr'} \cdot \cos \varphi' \cdot \kappa \left( 1 + \frac{v}{c} \cos \varphi' \right) \cdot e^{j\omega' \left( t - \frac{r'}{c} \right)} \end{pmatrix} \quad (21)$$

Az  $r'$ ,  $\varphi'$  helyen levő megfigyelő

$$E = \sqrt{E_x^2 + E_y^2 + E_z^2} = \frac{A}{r'} \cos \varphi' \cdot \kappa \left( 1 + \frac{v}{c} \cos \varphi' \right) \quad (22)$$

$$B = \sqrt{B_x^2 + B_y^2 + B_z^2} = \frac{A}{r'c} \cos \varphi' \cdot \kappa \left( 1 + \frac{v}{c} \cos \varphi' \right) \quad (23)$$

amplitudójú teret észlel.

(20) és (21)-ből az is látható, hogy  $\mathbf{E}$  merőleges  $\mathbf{B}$ -re, a terjedés iránya pedig (a Poynting vektor irányába mutató egységvektor):

$$\mathbf{n} = \frac{\left( \mathbf{E} \times \frac{\mathbf{B}}{\mu_0} \right)}{\left| \mathbf{E} \times \frac{\mathbf{B}}{\mu_0} \right|} = n_x \mathbf{i} + n_y \mathbf{j} \quad (24)$$

Behelyettesítve (20) és (21)-et kapjuk:

$$\mathbf{n} = \begin{pmatrix} n_x \\ n_y \end{pmatrix} = \begin{pmatrix} \frac{v}{c} + \frac{\cos \varphi'}{\kappa^2 \left( 1 + \frac{v}{c} \cos \varphi' \right)} \\ \frac{\sin \varphi'}{\kappa^2 \left( 1 + \frac{v}{c} \cos \varphi' \right)} \end{pmatrix} \quad (25)$$

(20) és (21) egyenletekben látható, hogy a vett jel  $\Phi$  fázisa egyenlő az adott  $\Phi'$  fázisával. Ez a tény vezet a síkhullámoknál ismert Doppler-hatás jelenségéhez. Azt eredményezi, hogy a  $\varphi'$  iránytól függ az észlelt frekvencia. Ha  $\omega'$  az adott és  $\omega$  a vett frekvencia, akkor:

$$\omega = \omega' \kappa \left( 1 + \frac{v}{c} \cos \varphi' \right) \quad (26)$$

A fenti egyenletekben szereplő  $r'$ ,  $\varphi'$ ,  $t'$  jelentik a  $K$  rendszerbeli megfigyelő  $B(x_0, y_0, t)$  helyét a  $K'$  rendszerben.

$$r' = \sqrt{\kappa^2 (x_0 - vt)^2 + y_0^2 + z_0^2} \quad (27)$$

$$\varphi' = \arccos \frac{x'}{r'} = \arccos \frac{\kappa(x_0 - vt)}{\sqrt{\kappa^2 (x_0 - vt)^2 + y_0^2 + z_0^2}} \quad (28)$$

Ha a (27) és (28) egyenleteket behelyettesítjük (22), (25) és (26)-ba, akkor láthatjuk, hogy a  $K$  rendszerben nyugvó  $B(x_0, y_0)$  vevőantenna időben változó amplitudójú (22), irányú (25) és frekvenciájú (26) jelet észlel.

2.2.2. Az elemi dipólus  $\mathbf{p}$  nyomatóka nem az  $y'$ , hanem az  $x'$  tengely irányába mutat, tehát:

$$\mathbf{p} = p_0 \mathbf{i}' e^{i\omega' t'} \quad (29)$$

akkor a számítást hasonló módon elvégezve azt kapjuk, hogy a vett jel amplitudója:

$$E = \frac{A}{r'} \sin \varphi' \kappa \left( 1 + \frac{v}{c} \cos \varphi' \right) \quad (30)$$

$$\text{iránya:} \quad \mathbf{n} = \begin{pmatrix} n_x \\ n_y \end{pmatrix} \quad (31)$$

$$\text{frekvenciája pedig:} \quad \omega = \omega' \kappa \left( 1 + \frac{v}{c} \cos \varphi' \right) \quad (32)$$

### 2.2.3. Izotróp sugárzó tere

Izotróp sugárzóra (a tér minden irányában egyenletesen sugárzó antenna) elvégezve a fenti számítást, kapjuk:

$$E = \frac{A}{r'} \kappa \left( 1 + \frac{v}{c} \cos \varphi' \right) \quad (33)$$

$$\begin{aligned} \mathbf{n}_i &= \mathbf{n}_{dipol} \\ \omega_i &= \omega_{dipol} \end{aligned} \quad (34)$$

2.2.4. Általában, ha egy antenna iránykarakterisztikája a  $K'$  rendszerben  $A(\varphi', \vartheta')$ , akkor az  $r'$ ,  $\varphi'$  helyen levő  $K$ -beli megfigyelő:

$$E = \frac{A(\varphi', \vartheta')}{r'} \left( 1 + \frac{v}{c} \cos \varphi' \right) \quad (35)$$

amplitudójú és

$$\omega = \omega' \kappa \left( 1 + \frac{v}{c} \cos \varphi' \right) \quad (36)$$

frekvenciájú jelet észlel.

### 2.3. Antennák iránykarakterisztikái

Ha az átvételi csatornával összekötendő pontok relatíve nyugalomban vannak, iránykarakterisztika alatt az  $E = [f(\varphi, \vartheta)]_r = \text{konstans}$  függvényt értjük.

A (22) és (26) egyenletekből két dolog látható:

1. Az amplitudó iránykarakterisztika a sebességtől is függ.
2. A tér különböző irányában levő  $K$  rendszerbeli megfigyelők különböző frekvenciájú jelet észlelnek.

Ezért mozgó antennák esetében a térbeli viszonyok jellemzésére két iránykarakterisztikát kell bevezetnünk.

1. Az amplitudó iránykarakterisztika:

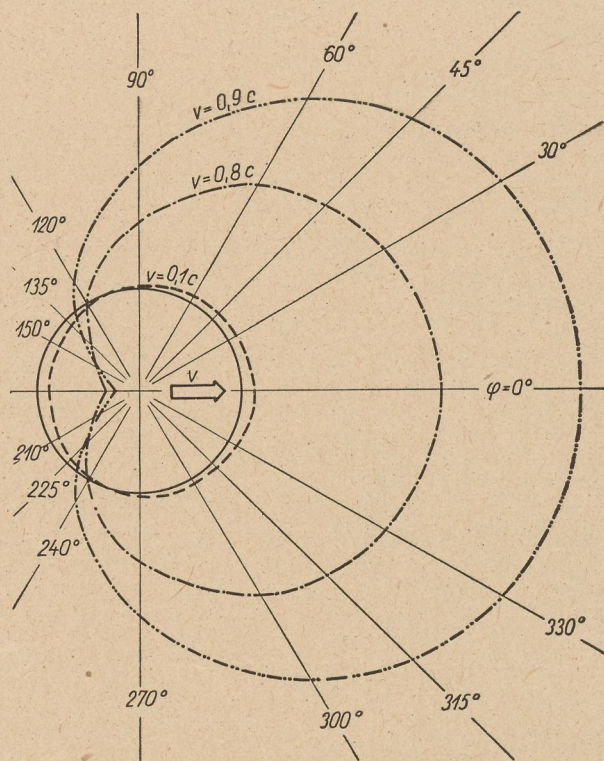
$$E = [f(\varphi', \vartheta', v)]_r = \text{konstans} \quad (37)$$

2. Frekvencia iránykarakterisztika:

$$\omega = [\psi(\varphi', \vartheta', v)]_r = \text{konstans} \quad (38)$$

Ha az adó- és vevőantenna nyugalomban van, frekvencia iránykarakterisztikáról nincs értelme beszélni, hiszen minden irányból azonos frekvenciát észlelnek a megfigyelők. Ezt a tényt úgy is fogalmazhatjuk, hogy ha  $\mathbf{v} = 0$ , akkor az antennák izotróp frekvenciasugárzók.

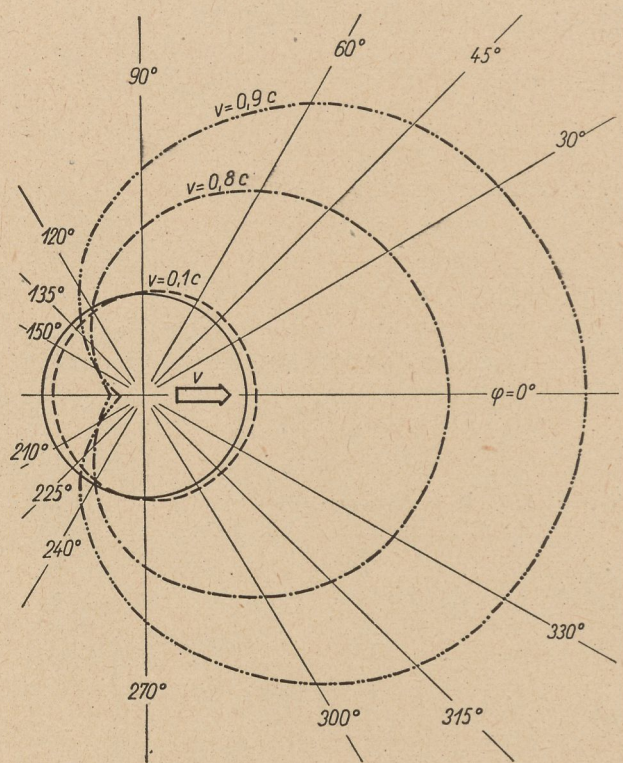
Az iránykarakterisztikát mérésrel úgy vehetjük fel, hogy a tér minden irányában az adóantennától egyenlő távolságra vevőantennákat helyezünk el és mérjük az észlelt amplitudót



$$\omega(\varphi') = \omega_0 \frac{1 + \frac{v}{c} \cos \varphi'}{\sqrt{1 - (\frac{v}{c})^2}}$$

H 81-CA 2

2. ábra



$$A(\varphi') = A_0 \frac{1 + \frac{v}{c} \cos \varphi'}{\sqrt{1 - (\frac{v}{c})^2}}$$

H 81-CA 3

3. ábra

és frekvenciát, majd polárkoordinátákban ábrázoljuk az így kapott függvényeket. Azt mondtuk, hogy a vevőantennákat az adótól egyenlő távolságban helyezük el. Ez a meghatározás azonban nem egyértelmű, ugyanis mást jelent a  $K$  és mást a  $K'$  koordinátarendszerben. Így más karakterisztikát kapunk, ha a  $K'$ -ban egyenlő  $r'$  távolságra helyezük el az antennákat, vagy ha  $K$ -ban egy gömb felületén helyezük el őket és abban a pillanatban mérünk, amikor az adóantennát a gömb közepében tudjuk.

Az iránykarakterisztikákat az előző 2.2 részben már meghatároztuk. Mivel minden nyugvó antenna izotróp frekvenciasugárzó, ezért az egyes antennák frekvencia iránykarakterisztikája azonos. Frekvencia iránykarakterisztika:

$$\omega = \omega' \kappa \left( 1 + \frac{v}{c} \cos \varphi' \right) \quad (39)$$

Ezt a függvényt különböző  $\frac{v}{c}$  értékeknél a 2. ábrán rajzoltuk meg.

Az izotróp sugárzó amplitúdó iránykarakterisztikáját a (33) egyenlet adja meg:

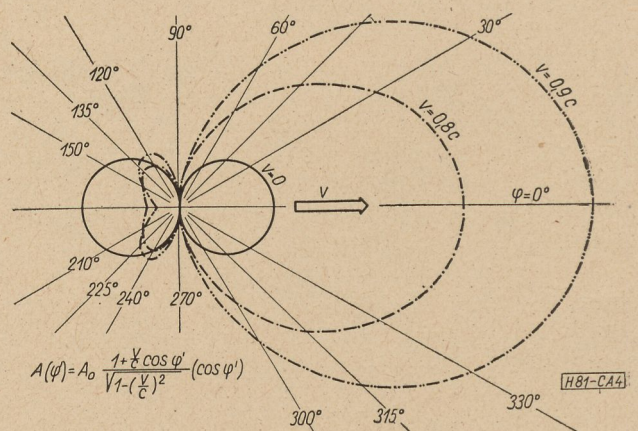
$$E = \frac{A}{r'} \kappa \left( 1 + \frac{v}{c} \cos \varphi' \right) \quad (41)$$

A függvény különböző  $\frac{v}{c}$  értékeknél a 3. ábrán látható.

Az  $y'$  tengely irányában álló dipólus amplitúdóiránykarakterisztikáját a (22) egyenlet adja meg:

$$E = \frac{A}{r'} \cos \varphi' \cdot \kappa \left( 1 + \frac{v}{c} \cos \varphi' \right) \quad (42)$$

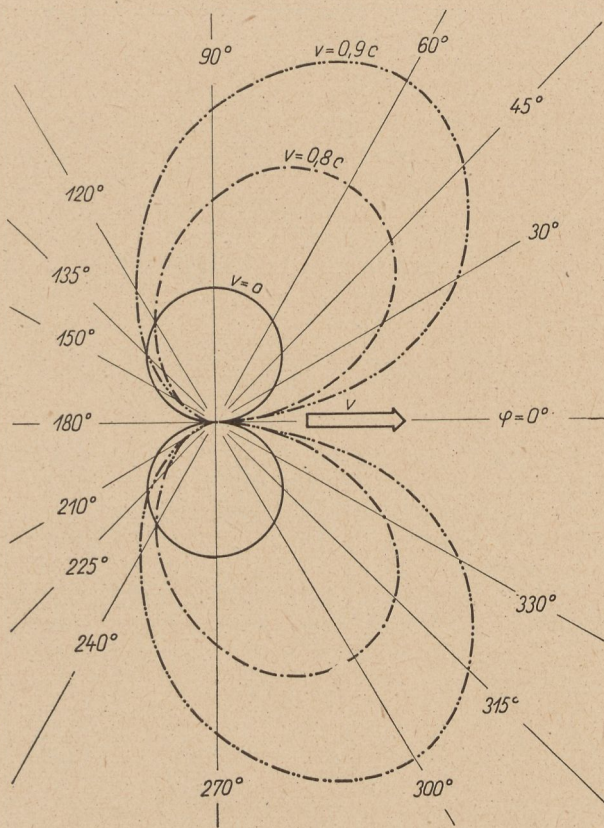
A függvény a 4. ábrán látható.



$$A(\varphi) = A_0 \frac{1 + \frac{v}{c} \cos \varphi'}{\sqrt{1 - (\frac{v}{c})^2}} (\cos \varphi')$$

H 81-CA 4

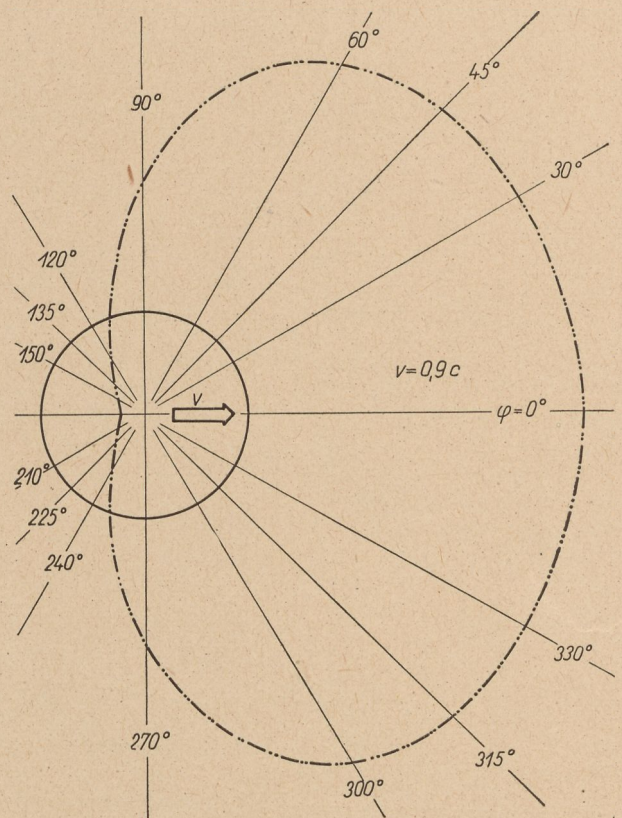
4. ábra



$$A(\varphi') = A_0 \frac{1 + \frac{v}{c} \cos \varphi'}{\sqrt{1 - (\frac{v}{c})^2}} (\sin \varphi')$$

H81-CA5

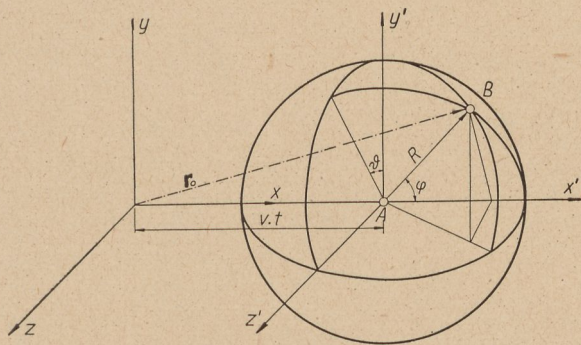
5. ábra



$$\omega = \omega_0 x \left[ 1 + \frac{v}{c} \frac{x \cdot \cos \varphi}{\sqrt{x^2 \cos^2 \varphi + \sin^2 \varphi}} \right]$$

H81-CA7

7. ábra



H81-CA6

6. ábra

Az 5. ábra az  $x'$  tengely irányában álló dipólus amplitudó iránykarakterisztikáját mutatja a (30) egyenlet szerint.

Ha az iránykarakterisztikát úgy vesszük fel, hogy a  $K$  koordinátarendszerben egy gömb felületén helyezük el a vevőantennákat az adóantennától egyenlő  $R$  távolságra.

$$\mathbf{r}_0 = \begin{pmatrix} x_0 \\ y_0 \\ z_0 \end{pmatrix} = \begin{pmatrix} vt + R \cos \varphi \\ R \sin \varphi \cdot \cos \delta \\ R \sin \varphi \cdot \sin \delta \end{pmatrix} \quad (42)$$

$$r' = R \sqrt{\kappa^2 \cdot \cos^2 \varphi + \sin^2 \varphi} \quad (43)$$

$$\cos \varphi' = \frac{x'}{r'} = \frac{\kappa \cdot \cos \varphi}{\sqrt{\kappa^2 \cos^2 \varphi + \sin^2 \varphi}} \quad (44)$$

Ha (43) és (44)-et behelyettesítjük az izotróp sugárzó iránykarakterisztikájának egyenleteibe (39)-be és (40)-be, akkor kapjuk a  $K$ -beli egyenlő távolsághoz tartozó iránykarakterisztikákat:

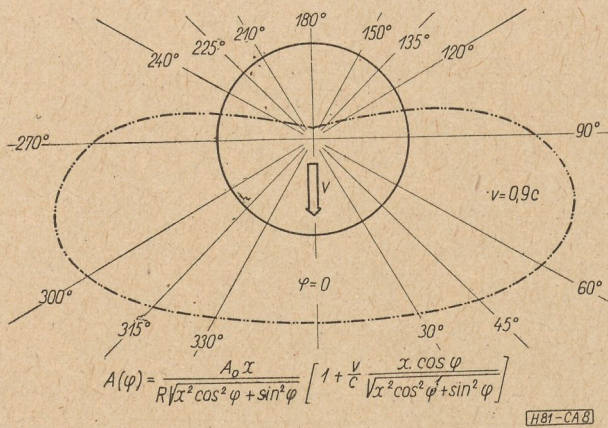
Frekvencia iránykarakterisztika:

$$\omega = \omega' \cdot \kappa \left( 1 + \frac{v}{c} \cdot \frac{\kappa \cdot \cos \varphi}{\sqrt{\kappa^2 \cos^2 \varphi + \sin^2 \varphi}} \right) \quad (45)$$

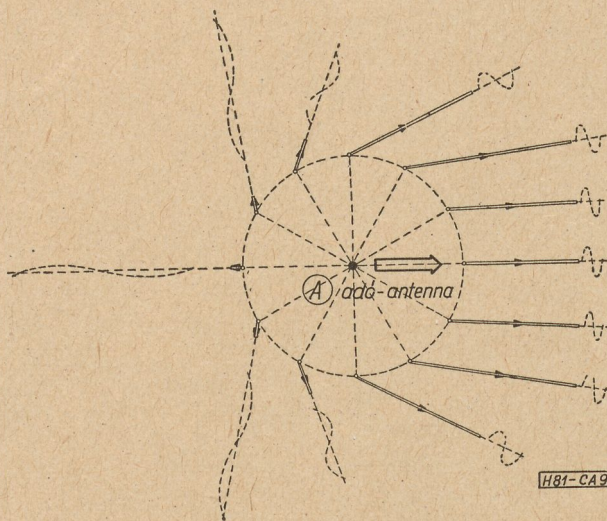
A 7. ábrán  $\frac{v}{c} = 0,9$  esetében látható ez a függvény.

Amplitudó iránykarakterisztika:

$$A(\varphi) = \frac{A_0 \cdot \kappa}{R \sqrt{\kappa^2 \cos^2 \varphi + \sin^2 \varphi}} \left( 1 + \frac{v}{c} \frac{\kappa \cos \varphi}{\sqrt{\kappa^2 \cos^2 \varphi + \sin^2 \varphi}} \right) \quad (46)$$



8. ábra



9. ábra

Ezt a függvényt mutatja  $\frac{v}{c} = 0,9$  esetén a 8. ábra.

$$f_B(t) = \frac{A(\varphi', \vartheta')}{r_0'} \times \left( 1 + \frac{v}{c} \cos \varphi' \right) \sum_{i=1}^{\infty} C_i e^{j\omega' i x' \left( 1 + \frac{v}{c} \cos \varphi' \right)} \left( t - \frac{nr_0}{c} \right) \quad (49)$$

$$r_0' = \sqrt{x^2 (x_0 - vt)^2 + y_0^2 + z_0^2} \quad (50)$$

$$\operatorname{tg} \vartheta' = \frac{z_0'}{y_0} = \frac{z_0}{y_0} \quad (53)$$

$$\mathbf{n} = \begin{pmatrix} n_x \\ n_y \\ n_z \end{pmatrix} = \begin{pmatrix} \frac{v}{c} + \frac{\cos \varphi'}{x^2 \left( 1 + \cos \varphi' \frac{v}{c} \right)} \\ \frac{\sin \varphi' \cdot \cos \varphi'}{x \left( 1 + \frac{v}{c} \cos \varphi' \right)} \\ \frac{\sin \varphi' \cdot \sin \vartheta'}{x \left( 1 + \frac{v}{c} \cos \varphi' \right)} \end{pmatrix} \quad (51)$$

$$\cos \varphi' = \frac{x_0'}{r_0'} = \frac{x(x_0 - vt)}{r_0'} \quad (52)$$

A térbeli viszonyok szemléltetésére a 9. ábrán felrajzoltuk, hogy egy a  $K$ -koordináta rendszerbeli  $R$  sugarú gömb felületén levő vevőantennák milyen irányú, frekvenciájú és amplitudójú jelet észlelnek abban a pillanatban, amikor az adóantenna a gömb középpontjában tartózkodik.

Az ábrán a nyilak iránya jelzi a vett elektromágneses hullám irányát; a nyilak hossza arányos a vett amplitudóval; a felrajzolt szinuszgörbék pedig képet adnak a vett jel frekvenciájáról.

### 3. Jelátvitel nagy relatív sebességgel mozgó pontok között

3.1. Az elektromágneses tér ismeretében választ adhatunk az 1. pontban feltett kérdésre: ha az  $A$  adóantenna  $f_A(t')$  időfüggvényt sugároz, akkor milyen  $f_B(t)$  időfüggvényt észlel a  $B$  vevőantenna?

A kisugárzott  $f_A(t')$  időfüggvény mindig megadható Fourier-sorba (vagy Fourier-integrál) fejtve, harmonikus komponenseinek összegéként.

$$f_A(t') = \sum_{i=1}^{\infty} C_i e^{j\omega' i t'} \quad (47)$$

A  $K'$  koordináta rendszerbeli  $r'$  pontban, ha az  $A$  antenna iránykarakterisztikája  $A(\varphi', \vartheta')$ , az észlelt térerősség:

$$E' = \frac{A(\varphi', \vartheta')}{r'} \sum_{i=1}^{\infty} C_i e^{j\omega' i \left( t - \frac{\mathbf{r}' \cdot \mathbf{r}_0'}{c} \right)} \quad (48)$$

Ez  $\frac{\mathbf{r}'}{r'}$  irányban terjedő síkhullám.

Ha (48)-ra alkalmazzuk a 2. pontbeli transzformációs formulákat, továbbá behelyettesítjük a  $B$  vevőantenna  $K'$ -beli időben változó helyét,  $\mathbf{r}_0'$ -t, akkor megkapjuk a vevőantenna által észlelt időfüggvényt: ahol

Mindezek behelyettesítve (49)-be, mivel  $v, x, \omega', c, x_0, y_0, z_0$  konstans számok, látható, hogy a (49) egyenlet egy időfüggvény. A (49)-es egyenlet számításunk végeredménye. Tartalmazza a feltett kérdésekre adható válaszokat. A következőkben néhány speciális  $\mathbf{r}_0$  helyzetben megvizsgáljuk az  $f_B(t)$  időfüggvényt, hogy képet kapjunk a jeltorzulásokról.

Mielőtt azonban ehhez hozzákezdենék, a (49) egyenletből vonjunk le néhány közvetlenül adódó tanulságot:

1. A vett síkhullám amplitudója, frekvenciája és iránya más függvénye  $t$ -nek, mint az adott jel

$t'$ -nek. Ez azt jelenti, hogy a szabad tér, mint átviteli rendszer, általános esetben (amikor relatíve mozgó pontokat köt össze) az átvitt jel modulációs torzítását okozza.

Tehát az egyes komponensek amplitudója is, frekvenciája is változik az idő függvényében.

2. A (48) és (49) Fourier-sorokat összehasonlítva láthatjuk, hogy az egyes komponensek amplitúdóinak és frekvenciáinak aránya minden időpillanatban állandó és egyenlő a megfelelő komponensek eredeti értékeinek arányával.

Ugyanis :

$$\begin{aligned}\omega_i &= \omega'_i \kappa \left( 1 + \frac{v}{c} \cos \varphi' \right) \\ \omega_k &= \omega'_k \kappa \left( 1 + \frac{v}{c} \cos \varphi' \right)\end{aligned}\quad (54)$$

$$\begin{aligned}A_i &= \frac{A_0}{r'} \kappa \left( 1 + \frac{v}{c} \cos \varphi' \right) \cdot C_i \\ A_k &= \frac{A_0}{r'} \kappa \left( 1 + \frac{v}{c} \cos \varphi' \right) \cdot C_k\end{aligned}\quad (55)$$

tehát :

$$\frac{\omega_i}{\omega_K} = \frac{\omega'_i}{\omega'_K} \quad \text{és} \quad \frac{A_i}{A_K} = \frac{C_i}{C_K} \quad (56)$$

Ez azt jelenti, hogy a vett jel relatív sáv szélessége minden időpillanatban egyforma és egyenlő az adott relatív sáv szélességgel. Azaz az abszolút sáv szélesség és a vivőfrekvencia arányosan változnak az időben.

3.2. Ha az adóantenna izotróp sugárzó  $A(v', \varphi') = A_0$ ; továbbá ha bevezetjük

$$\kappa \left( 1 + \frac{v}{c} \cos \varphi' \right) = g_1(t) \quad \text{és} \quad (57)$$

a

$$\frac{g_1(t)}{r'_0(t)} = g_2(t) \quad (58)$$

$$f_B(t) = A_0 g_2(t) \frac{\tau'}{\pi} \int_0^\infty \frac{\sin \frac{\omega' \tau'}{2}}{\frac{\omega' \tau'}{2}} \cos \left[ g_1(t) \omega' \left( t - \frac{nr_0}{c} \right) \right] d\omega' \quad (63)$$

Helyettesítsük be  $g_1(t) \cdot \omega'$  helyébe  $\omega-t$ , akkor kapjuk :

$$f_B(t) = A_0 g_2 \frac{\tau'}{\pi} \int_0^\infty \frac{\sin \frac{\omega \tau'}{2}}{\frac{\omega \tau'}{2}} \cos \omega \left( t - \frac{nr_0}{c} \right) d\omega \quad (64)$$

rövidítő jelöléseket, akkor a vett időfüggvényt :

$$f_B(t) = A_0 g_2(t) \sum_{i=1}^{\infty} C_i \cdot e^{j\omega'_i g_1(t) \left( t - \frac{nr_0}{c} \right)} \quad (59)$$

A  $g_1(t)$  időfüggvény azt mutatja meg, hogy hogyan változik a frekvencia az idő függvényében,  $g_2(t)$  pedig az amplitudó változását mutatja. (Ez minden komponensre igaz.)

3.3. Izotróp sugárzó adóantenna amplitúdó-modulált jelet sugároz

Ebben az esetben az adott jel :

$$f_A(t') = e^{j\omega' t'} + \frac{m}{2} e^{j(\omega' + \nu) t'} + \frac{m}{2} e^{j(\omega' - \nu) t'} \quad (60)$$

a vett időfüggvény :

$$\begin{aligned}f_B(t) &= A_0 g_2(t) \left[ e^{j\omega' g_1(t) \left( t - \frac{nr_0}{c} \right)} + \right. \\ &\quad \left. + e^{j(\omega' + \nu) g_1(t) \left( t - \frac{nr_0}{c} \right)} + \right. \\ &\quad \left. + \frac{m}{2} e^{j(\omega' - \nu) g_1(t) \left( t - \frac{nr_0}{c} \right)} \right]\end{aligned}\quad (61)$$

A vett időfüggvény is amplitúdómodulált jel, melynél a vivőhullám frekvenciája  $\omega = g_1(t) \omega'$  szerint változik az idő függvényében, a moduláló  $\nu$  pedig :  $\nu = g_1(t) \cdot \nu'$  szerint. Itt is látható, hogy a relatív sáv szélesség :

$$\frac{\nu'}{\omega'} = \frac{\nu}{\omega} = \text{állandó}$$

3.4. Az adó  $\tau'$  időtartamú impulzust sugároz

Az adott függvény :

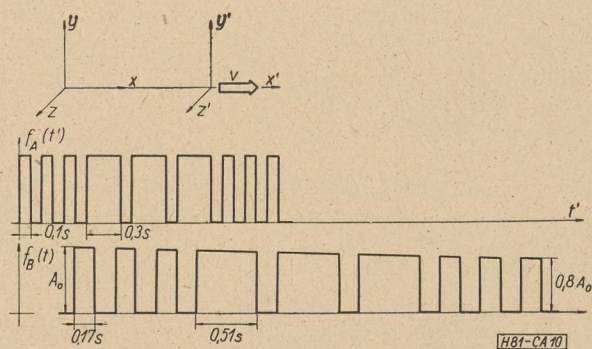
$$f_A(t') = \frac{\tau'}{\pi} \int_0^\infty \frac{\sin \frac{\omega' \tau'}{2}}{\frac{\omega' \tau'}{2}} \cos \omega' t' \cdot d\omega' \quad (62)$$

A vett jel :

A vett jel is impulzus, melynek hossza :  $\tau = \frac{\tau'}{g_1}$

3.5. Példák: A következő részben a legegyszerűbb esetekben bemutatjuk, hogy az adó és vevő közötti relatív sebesség hogyan változtatja meg az átvinni kívánt jeleket.

3.5.1. A földtől  $v$  sebességgel távolodó rakéta SOS jelet sugároz. A rakéta sebessége :  $v = 0,5c$ .



10. ábra

A jelet a földtől (az álló koordinátarendszerben mérve)  $x_0 = 1\,740\,000$  km távolságban kezdi sugározni. Milyen jelet észlel a földi vevőállomás? A vett impulzusok hossza :

$$\tau = \frac{\tau'}{g_1} = \frac{\tau'}{\sqrt{\frac{1 - \frac{v}{c}}{1 + \frac{v}{c}}}} = 1,73 \tau'$$

Az amplitudó burkológörbe pedig :  $\frac{1 - \frac{v}{c}}{v \cdot t}$  szerint az idő növekedésével hiperbolikusan csökken.

A 10. ábra mutatja az adott  $[f_A(t')]$  és vett  $[f_B(t)]$  időfüggvényeket.

3.5.2. A távolodó rakétán hallgatják egy földi zenekari hangverseny közvetítését. Beethoven IX. szimfóniájának főtémáját milyenek észlelik a  $v = 0,385 \cdot c$  és  $v = 0,6 c$  sebességgel távolodó rakétán?  
 $v = 0,385 \cdot c$  esetén :

$$g_1 = \sqrt{\frac{1 - 0,385}{1 + 0,385}} = \frac{2}{3}$$

A vett jelek frekvenciája :

$$\omega = \frac{2}{3} \omega'$$

időtartama :

$$\tau = \frac{2}{3} \tau'$$

Látható, hogy az egész darabot egy kvinttel mélyebbnek és minden hangot 1,5-ször hosszabbnak hallunk.

$$\frac{v}{c} = 0,6 \text{ esetén } g_1 = \frac{1}{2};$$

A vett jel frekvenciája :

$$\omega = \frac{1}{2} \omega'$$

időtartama :

$$\tau = 2 \tau'$$

Tehát a darabot egy egész oktávval mélyebbnek és minden hangot kétszer hosszabbnak hallunk.

A 11. ábra első sora mutatja a főtémát úgy, ahogy azt a hangversenyteremben ülő közönség hallja, második és harmadik sora pedig úgy mutatja, ahogy a rakéta utasai hallják  $\frac{v}{c} = 0,385$ , illetve  $\frac{v}{c} = 0,6$  sebesség esetén.

### 3.5.3. Közeledő rakéta

A vevő helye K-ban :

$$\mathbf{r}_0 = \begin{pmatrix} x_0 \\ 0 \\ 0 \end{pmatrix}$$

$$g_1 = \frac{1 + \frac{v}{c}}{\sqrt{1 - \left(\frac{v}{c}\right)^2}} = \sqrt{\frac{1 + \frac{v}{c}}{1 - \frac{v}{c}}} \quad g_2 = \frac{1 + \frac{v}{c}}{x_0 - v t}$$

A jel amplitudója :

$$A = \frac{A_0 \left(1 + \frac{v}{c}\right)}{x_0 - v t}$$

frekvenciája :

$$\omega = g_1 \omega' = \sqrt{\frac{1 + \frac{v}{c}}{1 - \frac{v}{c}}} \omega'$$

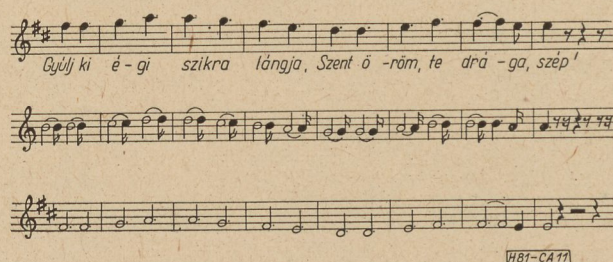
az impulzushossz pedig :

$$\tau = \frac{\tau'}{g_1} = \sqrt{\frac{1 - \frac{v}{c}}{1 + \frac{v}{c}}} \tau'$$

szerint változik.

Láttuk, hogy a távolodó rakéta impulzusának hossza

$$\sqrt{\frac{1 + \frac{v}{c}}{1 - \frac{v}{c}}}$$



11. ábra

arányban megnő. Ez azt jelenti, hogy a rakéta utasának egy órai életéről jövő tudósítást a földi vevőben

$$\sqrt{\frac{1 + \frac{v}{c}}{1 - \frac{v}{c}}}$$

óra hosszat hallják.

Ezt az információt „dilatációt” két tényező okozza:

1. A távolodás következtében a később adott jeleknek hosszabb utat kell megtenniük, ezt fejezi ki az  $1 + \frac{v}{c}$  tényező (Doppler-hatás).

2. Relativisztikus idődilatáció:

$$\frac{1}{\sqrt{1 - \left(\frac{v}{c}\right)^2}}$$

A kettő szorzata:

$$\sqrt{\frac{1 + \frac{v}{c}}{1 - \frac{v}{c}}}$$

Közeledő rakéta esetén a fentemlített két tényező (Doppler-hatás) és relativisztikus idődilatáció hatása ellentétes. A Doppler-hatás ugyanis csökkenti  $\left(1 - \frac{v}{c}\right)$ , a relativisztikus idődilatáció viszont most is növeli az időtartam hosszát. Végeredményben

$$\frac{\tau}{\tau'} = \frac{1 - \frac{v}{c}}{\sqrt{1 - \left(\frac{v}{c}\right)^2}} = \sqrt{\frac{1 - \frac{v}{c}}{1 + \frac{v}{c}}}$$

az időtartam hossza csökken.

3.5.4. Utazzunk el a 9 fényévre levő Siriusra. Rakétánk sebessége  $v = 0,6 \cdot c$ . Életünk eseményeiről menet is jövet is folyamatosan beszámolunk.

Az oda-utat  $t_1 = 15$  év alatt teszi meg a rakéta — így látják ezt a Föld-koordinátarendszerbeli megfigyelők. Ezalatt mi csak

$$t_1 \sqrt{1 - \left(\frac{v}{c}\right)^2} = 12$$

évet öregedtünk.

A 12 év történetéről rádiókon keresztül beszámolunk. A földi vevő a 12 év történetét

$$12 \sqrt{\frac{1 + \frac{v}{c}}{1 - \frac{v}{c}}} = 24$$

évig hallja. Megérkezésünk után azonnal visszaindulunk és újra mindenről beszámolunk. Az út megtételére most is 12 évre van szükségünk. A 12 év történetét a földi vevő most azonban

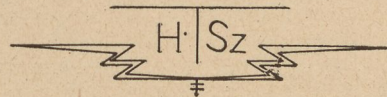
$$12 \sqrt{\frac{1 - \frac{v}{c}}{1 + \frac{v}{c}}} = 6$$

évig hallja.

Miközben mi 24 év alatt megjártuk a Sziroszt, a Földön 30 év tel el. Ez alatt az idő alatt állandóan hallottak hírt rólunk. A 30 év nagyobbik első felében, 24 évig hallották a Földről a Sziroszra vezető út történetét, míg az utolsó 6 év alatt hallották azokat az eseményeket, amelyek hazafelé történtek velünk.

#### IRODALOM:

1. *Simonyi Károly*: Elméleti villamosságban. (Tankönyvkiadó, 1958.)
2. *Novobáczky Károly*: A relativitás elmélete. (Tankönyvkiadó, 1951.)
3. *Franz Ollendorf*: Die Welt der Vektoren. (Springer Verlag, 1950.)
4. *Fodor György*: Relativisztikus elektrodinamika. (Jegyzetellátó Vállalat, 1955.)
5. *Albert Einstein*: Zur Elektrodynamik bewegter Körper. (Annalen der Physik, 17, 891, 1905.)



## HÍRADÁSTECHNIKA KTSZ.

VII., PÉTERFFY S. UTCA 51.

TEL.: 225-216

Televíziós

és egyéb elektronikus

mérőműszerek

## Zusammenfassungen in deutscher Sprache

**G. Frischmann:** Die Erdungs-, und Sicherheitsproblemen der fernmeldetechnischen Anlagen für Leitungen

Der Artikel gibt einen wertvollen Überblick über die wichtigsten Erdungs-, und Sicherheitsprobleme der fernmeldetechnischen Leitungseinrichtungen und Anlagen — hauptsächlich des Verstärkeramtes. Es werden die Rolle der Erdungen und die zulässigen Werte des Ausbreitungswiderstandes vom Standpunkt der Fernmeldetechnik und Sicherheit bekanntgegeben. Der Verfasser beschreibt die Dimensionierungsprinzipien, die einzelnen Standpunkte der Verbindung von Betriebs-, Sicherheits-, Blitzableiter-, etc-Erdungen, die Möglichkeiten der Verbindung der Kabel mit dem Erdnetz, die Fragen der Störungen und die Anwendbarkeit der Nullung. Er weist auf die Vorzüge der Ausbildung der einheitlichen Gründungs- und Sicherheitssysteme hin. Er zeigt die Gestaltung des bisher mit Niederfrequenz gemessenen Erdwiderstandes im Trägerfrequenzbereich. Der Verfasser konstatiert im letzten Teil, dass im Gebiete der Fernmeldetechnik die Starkstromsicherheits- und Erdungsnormen nur im Sinne der speziellen Standpunkte und Forderungen, modifiziert und ergänzt, anwendbar sind.

**S. Lajkó:** 12-Kanal Trägerfrequenz-Fernsprecheinrichtung für Freileitungen — Typ BO—12

Nach Bekanntgebung der charakteristischen Daten und Anwendungsmöglichkeiten des neuen 12-Kanal-Systems, die unter anderen Mehrkanaleinrichtungen im BHG-Werk hergestellt wird, wird im Artikel auf Grund des Blockschalbildes die Funktion der Zwischenstelle und Endstelle beschrieben. Der Verfasser beschäftigt sich eingehend mit der Pilot-Regelung, der Trägerstromversorgung, dem Frequenzumsetzer und verschiedenen Ergänzungseinrichtungen. Ferner wird die Konstruktion der Einrichtung bekanntgegeben.

**L. Orgovány—Frau J. Gáti:** Die Silberung des Aluminiums und die fernmeldetechnische Anwendung des versilberten Aluminiums

Die Klimabeständigkeit des versilberten Aluminiums und der Aluminiumlegierung wird von dem Umständen der Verzinkung durch Tauchverfahren, der Qualität und der Dicke der Schutzschichten sehr beeinflusst. Mit sorgfältiger Auswahl der technologischen Verhältnisse kann solch ein Silberüberzug hergestellt werden, der auch die internationalen Bedingungen der Klimabeständigkeit befriedigt. Die Anwendung des versilberten Aluminiums hat in einzelnen Gebieten der Fernmeldetechnik und der Instrumentindustrie technische, technologische und ökonomische Vorteile.

**J. Kemény und J. Saufert:** Transistor-Spannungsstabilisatoren

Die aus drei Teilen bestehende Artikelserie beschäftigt sich mit dem Arbeitsprinzip und den Gesichtspunkten der Bemessung von Spannungsstabilisatoren mit in Serie geschaltetem Regeltransistor. Im ersten Teil befassen sich die Autoren mit der Funktion der angewandten Schaltungen und ihrer Analyse. Bei der theoretischen Analyse haben sich die Autoren den Ausdruck der zwei auf gleiche Weise wichtigen Regelparameter — den Ausgangswiderstand und die Regelungsgüte — zum Ziele gesetzt. Aus der Literatur ist bisher nur die Ausdrucksmethode des Ausgangswiderstandes bekannt. Den Autoren ist es gelungen die Ausdrucksart der Regelungsgüte zu lösen und damit haben sie eine vollgültige Analyse der Transistorstabilisatoren entwickelt.

Im II. Teil wird beschrieben, wie die zwei Regelparameter mit schaltungstechnischen Methoden und den zugehörigen Analysen ideal gemacht werden können, wonach die Autoren exakte Bemessungsmethoden ableiten.

Der III. Teil beschäftigt sich mit dem kritischen Vergleich der verschiedenen Referenzspannungsquellen, mit den Prüfungen der damit realisierten Schaltungen und mit den Planungs- und Bemessungsproblemen.

**Á. Csurgay:** Über das Signalübertragungsproblem der Bewegungsstellen

Der Artikel prüft im allgemeinen das Signalübertragungsproblem der Bewegungsstellen im Rahmen der speziellen Relativitätstheorie ohne eine Bindung machend über die Grösse der relativen Geschwindigkeit der mit dem Kanal verbindenden Punkte. Er stellt fest, die Amplituden- und Frequenzcharakteristiken der Bewegungsantennen und die übertragene Information (Zeitfunktion). Im Schlussteil zeigt er an Hand von einigen speziellen Beispielen die aufkommenden Probleme welche sich bei der grossgeschwindigen Signalübertragung ergeben.

## Summaries in English

**G. Frischmann:** The Grounding and Safety Problems of the Wire Telecommunication Technical Establishments

The paper gives a survey of the principal grounding and safety problems of the wire telecommunication technical equipments and establishments, particularly of relay stations. It gives an account of the role of the groundings, of the permissible values of the spreading resistance respectively telecommunication technique and safety, and further describes the dimensioning principles. It discusses the view points of the communication of operating-, protection-, lighting arrester-, etc-groundings, the possibility of connecting the cables to the ground network, the questions of disturbances and the adaptability of neutral grounding. The paper points out the advantages of development of the unanimous grounding and safety systems. Further it presents the development of grounding resistance in the carrier frequency range, measured with low-frequency until now. Finally the author states, that the power current, safety and the grounding standards can be applied on the field of telecommunication technique only after modifying and amending them on the basis of the special view points and requirements. Therefore such new relevant telecommunication technical standards are necessary.

**S. Lajkó:** BO—12 Twelve-Channel Open Wire Carrier Current Telephone Equipment.

The paper after giving account of the main characterising data and adaptability of the twelve-channel open wire equipment belonging to the multi-channel products of the BHG, describes on the hand of the block-schematic the operation of the terminal and repeater equipment. It discusses in details the pilot control, the carrier supply, the frequency frogging repeater and the different supplementary equipments. Finally the author describes the construction of the equipment.

**L. Orgovány—Mrs. J. Gáti:** The Silvering of Aluminium and the Use of Silvered Aluminium in Telecommunication

The climatic durability of silvered aluminium and aluminium alloys is greatly influenced by the circumstances of the dipping zincing and by the quality and density of the protecting sheets. With the careful selection of the technological circumstances a silver plating can be produced, which satisfies the international requirements concerning climatic durability. The use of the silver plated aluminium has in certain fields of telecommunication and instrument industry technical, technological and economical advantages.

## MAGYAR HIRADÁSTECHNIKA

Felelős szerkesztő: Balogh Pál — Kiadja a Műszaki Könyvkiadó, Budapest, V., Bajcsy-Zsilinszky út 22. — Telefon: 113-450

Felelős kiadó: Solt Sándor — Megjelent 1300 példányban

Terjeszti a Magyar Posta. Előfizethető a Posta Központi Hirlapiródnál (Budapest V., József nádor tér 1. Telefon: 170-850) vagy bármely postahivatalnál  
Előfizetési díj félévre 15 Ft, egész évre 30 Ft. Egyes szám ára: 5 Ft. Megjelenik kéthavonta — Csekszámlaszám: egyéni: 61,254, közületi 61,066  
vagy átutalás az MNB 47. sz. folyószámlájára)

**A. Kemény and J. Saujert: Transistor Voltage Stabilizers**

The series of papers which consists of three parts, deals with the principle of operation and aspect of dimensioning of the transistor series regulating voltage stabilizer. In the first part the authors discuss the operation of the applied circuit arrangements and their network analysis. In the theoretical analysis they aim to express the two parameters, that is output resistance and regulation ratio, both being of the same importance characterising quality. In literature only the manner of the expression of the output resistance has been known up to now. The authors succeeded in solving the way of expressing regulation ratio too, and in this way they developed an analysis of total value regarding transistor stabilizers.

The second part describes how to realize conditions close to ideal in respect of the two parameters with advanced circuitry and with their analysis from which the authors derive practical dimensioning formulae.

The third part discusses the critical comparison of the different reference voltages, the test of circuits realized with those mentioned above the problems of the design and dimensioning of practical circuits.

**A. Csurgai: Signaltransmission Problems of Moving Stations**

The paper examines in general the signal transmission problem of the moving station from the aspect of special theory of relativity without any restriction on the greatness of the relative velocity of the points which are to be connected to the channel. It determines the amplitude- and frequency radiation patterns of the moving aerial, and the transmitted information (time function). In the final part it shows by means of examples in some special cases the problems at the high speed signal transmission.

**Les résumés en français**

**F. Frischmann: Les problèmes de la mise à la terre et de la sécurité des établissements télétechnique par fil**

L'article donne un aperçu des problèmes principaux de la mise à la terre et de la sécurité des installations et de l'établissements télétechniques par fil, particulièrement concernant des répéteurs. Il fait connaître le rôle des mises à la terre, ensuite les valeurs permises de la résistance de l'élargissement concernant la télécommunication et la sécurité, enfin les principes de dimensionnement. Il présente les aspects de la connexion commune des mises à la terre de l'opération, de la sécurité, du parafoudre, etc., puis les moyens de connexion des câbles au réseaux de mise à la terre. Il discute les questions de la perturbation et l'applicabilité du conducteur neutre. Il désigne les avantages de la formation du système unanime de la mise à la terre et de la sécurité. Il présente la formation de la résistance de la mise à la terre dans la bande de fréquence porteuse, mesurée jusqu'à présent par basse-fréquence. Enfin l'auteur constate que les normes de sécurité et de la mise à la terre de courants forts peuvent être appliquées dans le domaine télétechnique mais seulement d'une manière modifiée et complétée sur la base des considérations et des exigences spéciales. De cette façon c'est nécessaires d'adapter y concernant de nouvelles normes télétechniques.

**S. Lajkó: BO—12 courant porteur téléphonique de douze-canaux à ligne aeriennne.**

L'article fait connaître les données plus caractéristiques et l'applicabilité de l'installation téléphonique de douze-canaux à ligne aeriennne appartenant dans la série de production de canal multiple de BHG. A base de block schème il décrit la fonction des installations des amplificateurs et des amplificateurs finals. Il s'occupe en détail réglage de pilot, de l'alimentation de courant porteur, de la poste de changeur de fréquence et des installations supplémentaires.

**L. Orgovány—Mme J. Gáti: L'argenture de l'aluminium et l'application télétechnique de l'aluminium argenté**

La durabilité climatique des aluminiums argentés et des alliages d'aluminium est fortement influencée par les circonstances du zingage immergé et de la qualité et épaisseur de la couche protectrice. Avec le choix soigneux des circonstances technologiques on peut produire un tel revêtement d'argent qui réponde aussi aux exigences internationales en considérant la durabilité climatique. L'application de l'aluminium argenté a des avantages techniques, technologiques et économiques dans certains domaines de la télécommunication et de l'industrie des instruments de précision.

**A. Kemény et J. Saujert: Le stabilisateur de tension à transistor**

La série de l'article qui se compose de 3 parties s'occupe de principe de fonctionnement et de l'aspect de construction des stabilisateurs de tension à transistor connectés en série. Dans la première partie les auteurs donnent un aperçu sur le fonctionnement et l'analyse de l'arrangement des circuits appliqués. Dans l'analyse théorique leurs but est d'exprimer les deux paramètres également importants, qui sont la résistance de sortie et le degré d'efficacité. C'est seulement la façon de l'expression de la résistance de sortie qui est connue jusqu'à présent dans la littérature. Les auteurs ont réussi de résoudre aussi la mode de l'expression du degré d'efficacité et ainsi ils ont développé une analyse totale sur des stabilisateurs à transistor.

Dans la deuxième partie ils décrivent comment on peut réaliser des conditions presque idéales à l'aide des circuits artificiels avec leur analyse y appartenant, dont les auteurs peuvent déduire des formules de calculation.

Dans la troisième partie les auteurs présentent la comparaison critique des différentes sources de tension de référence, les essais des circuits réalisés avec eux et donne un aperçu sur les problèmes de construction et du mesurage.

**A. Csurgai: Le problème de la transmission des signaux de postes mobiles**

L'article examine en général le problème de la transmission des signaux de postes mobiles dans le domaine de la théorie de la réativité spéciale, ne faisant aucune restriction quant à la grandeur de la vitesse relative des points à raccorder par un canal. Il détermine pour les antennes mobiles le diagramme de rayonnement de l'amplitude et de la fréquence, ainsi que l'information transmise (fonction de temps). Enfin il donne des exemples pour montrer dans quelques cas spéciaux des problèmes qui se présentent dans la signalisation à grande vitesse.

# T Ű Z V É D E L E M

**biztosítása érdekében bevezettük a tűzoltókészülékek azonnali cseréjét:**

Várakozás nélkül, azonnal cseréljük a forgalomban levő összes szabványos tűzoltókészülékeket, így a szükséges töltés és javítási munkálatok miatt eddig fennállt kiesés megszűnt.

*A tűzoltókészülékeket az alábbi címen cserélik azonnal:*

**Fémlemezipari Művek, Háztartási- és Kézi Tűzoltókészülékek Gyáregység**

I. sz. telepe.

**Budapest, XIII. Angyalföldi út 32. Telefon: 202-647**

Példányonként eladási ára : 5,— Ft.

